

Химический журнал армении

CHEMICAL JOURNAL OF ARMENIA

Основан в 1947 г. Выходит 12 раз в год

* U P U 4 P U 4 U U 4 A L b 4 P U

Ս. Բ. Բաբայան (գլի. խմբագիր), Շ. Հ. Բաղանյան (գլի. խմբագրի տեղակալ), Գ. Հ. Գրիգորյան, Վ. Մ. Թառայան, Մ. Հ. Իննիկյան (գլի. խմբագրի տեղակալ), Ա. Հ. Մանթաշյան, Մ. Գ. Մանվելյան, Գ. Թ. Մարաիրոսյան, Ս. Կ. Գիրենյան, Ս. Հ. Վարդանյան, Ս. Ա. Տեր-Դանիելյան (պատ. բարաուղար)

РЕДАКЦИОННАЯ КОЛЛЕГИЯ

А. Т. Бабаян (глав. редактор), Ш. О. Баданян (зам. глав. редактора), С. А. Вартанян, Г. О. Григорян, М. Г. Инджикян (зам. глав. редактора), М. Г. Манвелян, А. А. Манташян, Г. Т. Мартиросян, С. К. Пиренян, В. М. Тараян, С. А. Тер-Даниелян (ответ. секретарь)

Карыяры. Рушь чиндь врашь-18, Рырьциян. Рушь, 244, чал. 56-08-31 Адрес редакции: Ереван-19, Барекамутян, 24г. тел. 56-08-31

	62
<u>Ընգհանու</u> բ և ֆիզիկական քիմիա	
Մելիքսեթյան Ռ. Պ., Բեյլերյան Ն. Մ. — Ջրային լուծույթում $S_3O_8^{2-}+$	
+ R NCH2CH3OR1 համակարգերով հարուցված ակրիլամիդի ալոլի-	
մերման կինետիկա SIO ₂ -ի տրիղիմիտային և կրիստորալի- Գրիգորյան Գ. Գ., Մուշեղյան Ա. Վ. — SIO ₂ -ի տրիղիմիտային և կրիստորալի- տային սարսշկտուրաների մակերեսային ձիղրօբսիլ խմրերի կոնֆորմացիոն	803
հատկությունների հաշվարկը	311
Ան օ ւգանական և անալիսիկ քիմիա Ջավադյան Վ. Գ., Կոստանյան Կ. Ա. — <i>Ոչ հիմնային թորոդհրմանատային տպա</i> -	
<i>կիների կմաիջի ռեֆրակցիան և կառույցը</i>	818
թետրկ սիլիկանողի իոնափոխանակման ունակությունը ըստ Na, K իոնների	822
Օրգանական քիմիա	
ընգոյան Ա. Փ., Լուկյանենկո Ն. Լ., Խաժակյան Լ. Վ., Մինասյան Ս. Ա., Նա-	17.
գարյան Վ. Մ., Մարգարյան Է. Ա. — Դիաստերեսիզոմեր 3-մեքիլ-4N-դիալ-	
կիլաժինո-2-թուտանոլների հարաբերական կոնֆիդուրացիայի ուսուժնա-	
ախրությունը	828
Քոչարյան Ս. Տ., Գրիգորյան Վ. Վ., Բաբայան Ա. Թ.— Հետապոտություններ ամին-	
ների և ամոնիումային միացությունների բնադավառում։ CXL. Տեղակալ-	
ված կարրալկօբսիմինիլ խումը պարունակող ամոնիումային ադերի վարջը	
սանվենայան վերաակորմաման և β-արդեմամա ռեակցիաներում	833
Խուդոյան Գ. Գ., Ոսկանյան Մ. Գ., Բաղանյան Շ. Հ. — Ձնագեցած միացություն-	
ծերի ռեակցիաներ։ LII, Վինիլարոպարգիլային ժիացությունների տեղա-	
կալման ռեակցիաների որոշ առանձնահատկությունների մասին	840
Մարգարյան Է. Ա., Մինասյան Ս. Ա., Նազարյան Վ. Մ., Ոսկանյան Ս. Վ. — <i>3-Մե-</i>	
Phi-4-դիմե Phi- և 3-db Phi-4N-դի t Phi w dhan-2-րու տանոլների նոր աին-	
թեղը և նրանց բաժանումը դիաստերեսիդոմերների	847
Դովլաթյան Վ. Վ., Գևորգյան Ռ. Ա. — Պեսաիցիդների սինթեզ։ Հալոգեննիարիլ-	
ների ռեակցիան սիմ-արիադինիլգիտիոկարրադինատների հետ	851
Շանխաթունի Հ. Կ., Շիրոյան Ֆ. Ռ., Պարթև Դ. Ձ. — Ինդոլի ածանցյալներ, LXI.	001
3-1146-11-dbPoguh-12c-dbPh-1,2,3,4,6,7,8,12c-ohmushqpnhunnin(3,2-a)-	
ֆիլու իս իրարե	857
Աղաջանյան B. Ե., Հարությունյան Ա. Դ., Մովսեսյան Ռ. Ա., Չաչոյան Ա. Ա., Մու-	001
րադյան Ռ. Ե. — Աժինաթթուներ և պեպտիդներ։ XIV. 2 Մոլեկուլ ապ-	
իսլիդին պարունակող պեպարդների և նրանց անալոգների սինքեզը և	862
հակառուսուցջային ակտիվությունը	902
Կաւն հաղագումներ	
Մորլյան Ն. Մ., Խաչատրյան Դ. Ս., Բադանյան Շ. Հ. — Մալոետթթվական, ացե-	
առջացախանթվական էսթեբների և ացետիլացետոնի ցիկլոալկիլումը մե-	
զիաիլ օջսիզի նետ՝ աժիաթթվական կալիումի ներկայությամբ	874
Մալխասյան Ա. 8., Ջանջուլյան Ժ. Լ., Մարտիրոսյան Գ. 🕨 — Աբոժատիկ աժիև-	
րրեի անիինուդն շչամրնագ դիտնություրարեսվ	870
Նամակներ խմբագրությանը	ī.
Մորլյան Ն. Մ., Խաչատրյան Գ. Ս., Բադանյան Շ. Հ. — a,β-24-ագեցած β'-ալկ-e-	
սիկետոնների ցիկլոալկիլումը տցետոթացախանԹվական էսթերի հետ	866
Բաբայան Ա. Բ., Քոչարյան Ս. Տ., Օճանջանյան Ս. Մ. — Վինիլաիրազոլինի առա-	
Հացումը հիդրադինհիդրատի և տրիալկիլպրոպարդի ու 3-վինիլպրոպար-	
գիլաժոնիուժ ազերի փոխազդեցությունից	876
Բադանյան Շ. Հ., Քինոյան Ֆ. Ս., Մխիթարյան Գ. Ռ., Խրիմյան Ա. Պ. — Ամբիֆունի-	
ցիոնալ ալիլպրոպարգիլճալոգեներկանության անիենների ճետ	878
wro6h y m	
U. p. p. w. 6 m of j. m. b. U. U.	880
	-

880

СОДЕРЖАНИЕ

	Стр.
Общая и физическая химия	
<i>Меликсетян Р. П., Бейлерян Н. М.</i> — Кинетика полимеризации акриламида	
в воде, инициированной системами S ₂ O ₈ + R NC ₂ H ₄ OR ₁	803
Григорян Г. Г., Мушегян А. В. — Расчет конформационных свойств поверх- ностных ОН-групп в кристобалитной и тридимитной структурах SIO ₂	811
Неорганическая и аналитическая химия	
Джавадян В. Г., Костанян К. А. — Рефракция каркаса и структура бес-	
щелочных борогерманатных стекол	816 822
	7-6
Органическая химия	
Енгоян А. П., Лукьяненко Н. Л., Хажакян Л. В., Минасян С. А., На- зарян В. М., Маркарян Э. А.— Изучение относительной конфигура- ции диастереоизомерных 3-метил-4N-диалкиламино-2-бутанолов	828
Кочарян С. Т., Григорян В. В., Бабаян А. Т. — Исследования в области аминов и аммониевых соединений. СХL. Поведение аммониевых солей, содержащих замещенную карбалкоксиметильную группу, в реакциях	
стивенсовской перегруппировки и β-отщепления	833
Худоян Г. Г., Восканян М. Г., Баданян Ш. О. — Реакции непредельных соединений. LII. Некоторые особенности реакции замещения винил-	
пропартильных соединений	840
Маркарян Э. А., Минасян С. А., Назарян В. М., Восканян С. В. — Новый синтез 3-метня-4N-диметил- и 3-метил-4N-диэтиламино-2-бутанолов и	
их разделение на диастереоизомеры	847
рилов с симм-трназинилдитиокарбазинатами	851
<i>Шахатуни Р. К., Широян Ф. Р., Партев Д. З.</i> — Производные индола. LXI. 3-Алкня-11 - метокси - 12с-метия-1,2,3,4,6,7,8,12с-октагидроиндоло-	001
(3,2-а)хинолизины	857
Агаджанян Ц. Е., Арутюнян А. Д., Мовсесян Р. А., Чачоян А. А., Му-	4
радян Р. Е. — Аминокислоты и пептиды. XIV. Синтез и противоопухо-	
левая активность трипептидов и их аналогов, содержащих две моле-	000
кулы сарколизина	862
Краткие сообщения	
Морлян II. М., Хачатрян Д. С., Баданян Ш. О. — Цикловлкилирование	
малонового и ацетоуксусного эфиров и ацетилацетона с окисью мези-	066
тила в присутствии углекислого калия	866
ние ароматических аминов непредельными соединениями	870
Письма в редакцию	
Морлян Н. М., Хачатрин Д. С., Баданян Ш. О. — Циклоалкилирование	
а, в-непредельных в'-алкоксиэтилкетонов с ацетоуксусным эфиром.	874
Бабаян А. Т., Кочарян С. Т., Оганджанян С. М. — Образование производ- ных пиразолина при взаиходействии гидразина с солями триалкил-	
пропаргил- и 3-винилпропаргиламмония	876
Баданян Ш. О., Киноян Ф. С., Мхитарян Г. Р., Хримян А. П. — Амби-	
функциональные аллилпропаргильные галогениды в реакции с аминами	878
Хроника	
Абрамян А. А.	880

CONTENTS

General and Physical Chemistry
Mellbsetian R. P., Beylerian N. M Acrylamide Polymerization Kinetics in
Aqueous Solutions Initiated by Red-ox Systems
Grigorica G. G., Musheghlan A. V Calculation of the Conformational
Properties of Surface OH-groups in the Crystobalite and Tridymite Structures of Silicon Dioxide
Inorganic and Analytical Chemistry
Javadian V. G., Kostanian K. A. — The Refraction and Structure of Non-alkaline Borogermanate Glass Framework
Abajian K. S., Khachkavanktsian Sh. S., Vassillan N. R., Shamamian A. Ye.—
Ion Exchange Capacity of Synthetic Silica Gel According to Sodium
and Potassium Ions
Organic Chemistry
Yengoyan A. P., Loukianenko N. L., Khazhakian L. V., Minassian S. A., Na-
zarlan V. M., Markarlan E. A Investigation of the Relative Conti-
gurations of 3-Methyl-4N-dialkylamino-2-butanois
Kocharlan S. T., Grigorian V. V., Babayan A. T Investigations in the
Field of Amines and Ammonium Compounds. CXL. Behaviour of Ammonium Salts Containing Substituted Carbalkoxymethyl Groups in the
Stevens Rearrangement and \(\beta\)-Elimination Reactions
Khudoyan G. G., Voskanlan M. G., Badanlan Sh. H Reactions of Unsa-
turated Compounds. LII. About the Specificities of Substitution
Reactions in Vinylpropargylic Compounds
Markarian E. A., Minassian S. A., Nazarian V. M., Voskanian S. V.— A New Synthesis of 3-Methyl-4-N-dimethylamino-2-butanol, 3-Methyl-
4-N-diethylamino-2-butanol and their Separation into Diastereoisomers
Doulation V. V., Guevorkian R. A. — Synthesis of Pesticides. Reactions of
Halonitriles with Esters of s-Triazinyldithiocarbazic Acid
Shahatuny H. K., Shiroyan F. R., Partev D. Z Indole Derivatives. LXI.
3-Aikyi-11-methoxy - 12c-methyl - 1,2,3,4,6,7,8,12c-octahydroindolo(3,2-a)-
quinolizines
Muradian R. Ye. — Amino Acids and Peptides. XIV. Synthesis and
Antitumour Activity of Tripeptides and Their Analogues Having Two
Sarcolysine Molecules
Short Communications
Morlian N. M., Khachatrian D. S., Badanian Sh. H Cycloalkylation of
α,β-Unsaturared β'-alkoxyketones with Acetoacetate
Malkhassian A. Ts., Janjulian Zh. L., Martirossian G. T Alkylation of
Aromatic Amines with Unsaturated Compounds
Letters to the Editor
Morlian N. M., Khachatrian D. S., Badanian Sh. H Cycloalkylation of
Maionates, Acetoacetates, and Acetylacetone with Mesityl Oxide in the
Presence of Potassium Carbonate
Babayan A. T., Kochartan S. T., Ohanjantan S. M. — Formation of Pyrazoline Derivatives by the Interaction of Hydrazinehydrate with trialkylprop-
argyl and 3-Vinylpropargyl Ammonlum Salts
Badanian Sh. H., Kinoyan F. S., Mkhitarian G. R., Khrimian A. P.—Reactions
of Ambifunctional Allylpropargyl Halides with Amines
Cronicle

在中国960°产品

2 U 3 U U U U U P P U P U U U U U U U U P P P АРМЯНСКИЯ ХИМИЧЕСКИЯ ЖУРНАЛ

XXXI, Nº 11, 1978

ОБЩАЯ И ФИЗИЧЕСКАЯ ХИМИЯ

УДК 542.952.6+574.361+547.292

КИНЕТИКА ПОЛИМЕРИЗАЦИИ АКРИЛАМИДА В ВОДЕ, ИНИЦИИРОВАННОЙ СИСТЕМАМИ S₂O₃²+R NC₂H₄OR₂

Р. П. МЕЛИКСЕТЯН и Н. М. БЕЙЛЕРЯН Ереванский государственный университет Поступило 31 I 1977

Изучена кинетика полимеризации акриламида в воде в интервале 20—35°, инициированной системами персульфат—R NC₃H₄OR₁, где $R \equiv CH_3$ или О и $R_1 \equiv H$ или CH_3 . Определены константы иниципрования, эффективные скорости и коэффициенты передачи цепи.

Рис. 2, табл. 5, библ. ссылок 13.

В литературе мало данных о применении аминов совместно с персульфатом калия в качестве эффективных инициаторов полимеризации акриламида (АА) в водных растворах [1—3]. В патенте [4] указано о применении системы гидроксиламин—персульфат калия (Р) для инициирования полимеризации АА в воде при 20°. Однако указанные работы не носят количественного характера. Лишь в работах [5,6], где в качестве инициаторов применялись H_2O_2 , $K_2S_2O_8$ и $(NH_4)_2S_2O_8$ с добавками этилендиамина, содержатся кинетические данные. Однако, по нашему мнению, анализ данных в них проведен неполноценно и выводы авторов относительно механизма инициирования нельзя считать убедительными.

Цель настоящей работы изучить кинетику полимеризации AA в воде, иницинрованной системами $S_2O_8^{2-}+R$ $NC_2H_4OR_1$, где $R\equiv CH_2$ или O_1 а $R_1=H$ или CH_3 .

Экспериментальная часть

Акриламид марки «ч.» очищался перекристаллизащией из хлороформа. Неоднократно промывался бензолом, сушился в вакууме в течение 12—15 час. при комнатной температуре, после чего хранился в тем-

ноте над CaCl₂ в отсутствие ккслорода. Аминосоединения, хроматографически чистые, были предоставлены Ереванским заводом химических реактивов. Персульфат калия очищался 5-кратной перекристаллизацией из бидистиллята. Скорость полимеризации определялась дилатоме-

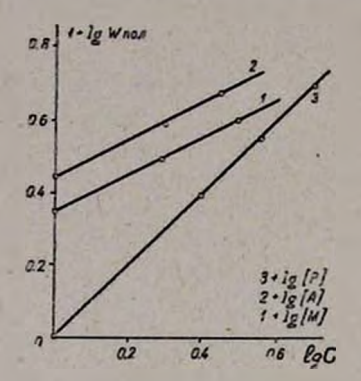


Рис. 1. Зависимость суммарной скорости полимеризации акриламида от исходных концентраций амина (1), персульфата (2) и мономера (3).

трически. Дилатометр заполнялся при давлении 10⁻⁴ тор. Расчеты проводились с учетом того, что 0,05 моля AA дают сокращение на 0,785 ил при 100°/о конверсии. Средняя числовая молекулярная масса определялась по формуле

$$[\eta] = 6.8 \cdot 10^{-4} \overline{M}_{\rm n}^{0.66}$$
 [7]

Для иллюстрации будут изложены только кинетические кривые, полученные в присутствии инициирующей си-

стемы
$$S_2O_8^{2-} + \sqrt{NCH_2CH_2OH}$$
.
Из рис. 1 следует, что

$$W_{\text{nos}} = k_{\text{sob}} [P]_0^{1/s} [A]_0^{1/s} [M]_0$$
 (1)

Температурная зависимость скорости полимеризации приведена в табл. 1.

Таблица 1 Скорость полимеризации Wnon-103 моль; л Аминосоединение 20° 25° 30° 35° Епол сн,сн,он 7.2 19,6 12,6 17,4 10,7 CH, CH, OCH, 6,2 8.7 11,8 16,4 11,7 CH, CH, OH 9,9 13,5 22,5 33.0 13.7 ŅCH, CH, OCH, 11,4 14.4 18,3 11,6

Инициирующая способность изучаемых систем определялась методом ингибирования, ингибитор—2,2,6,6-тетраметил-4-оксипиперидин-1-оксил (RNO). Из рис. 2 следует, что RNO является эффективным ингибитором для полимеризации AA. Из зависимости $W_{\rm nn}$ от $[P]_0$, $[A]_0$ и $[M]_0$ установлено, что

$$W_{\text{HH}} = k_{\text{HH}} [P]_0 [A]_0$$
 (2)

Полученные данные приведены в табл. 2.

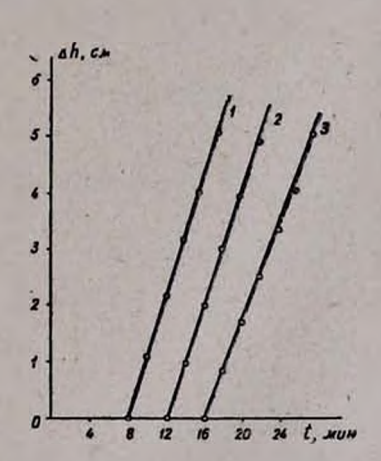
Таблица 2

Амины	k _{HH}	-102,	M ⁻¹ -4	шн—1	ж _p /k ₀ при разн температурах			ных		
Амины	20°	2 5°	30°	35°	Енн.	Ep-	20°	25°	30°	35°
NC³H⁴OH				8,2				1.9		
NC2H4OCH3	1,3	1,7	2,3	2,9	9,1	7,05	23,0	28,0	33,0	40,0
NC2H4OH	5,0	7,1	10,0	16,5	14,6	6,4	19,0	21,4	26,9	32,4
NC2H4OCH3	4,1	6,0	8,0	12,0	12,8	5,2	17,8	20,0	21,9	24,6

Отношение $k_{\rm p}/k_0^{1/2}$ рассчитывалось из соотношения

$$\frac{k_{\rm p}}{\sqrt{k_{\rm o}}} = \frac{\sqrt{2}}{[M]_{\rm o}} \frac{W_{\rm nos}}{\sqrt{W_{\rm RH}}} \tag{3}$$

Рис. 2. Кинетические кривые полимеризации акриламида в присутствии различных концентраций ингибитора (RNO*) (Δh снижение мениска в капилляре дилатометра). 1— $R=1\cdot10^{-5}$, $2-R=1\cdot5\cdot10^{-5}$. $3-R=2\cdot10^{-3}$.



Подробно изучалось влияние [Р]0, [А]0, [М]0 и температуры на среднюю степень полимеризации.

При расчетах применялось уравнение

$$\frac{1}{\overline{P}_{n}} = 2 \frac{k_{0}^{\prime l_{a}}}{k_{p}} \cdot \frac{k_{nm}^{\prime l_{a}}}{[M]_{0}} [A]_{0}^{\prime l_{a}} [P]_{0}^{\prime l_{a}} + C_{M} + C_{A} \frac{[A]_{0}}{[M]_{0}}$$
(4)

^{*} Согласно [8], при полимеризации АА цепь обрывается пренмущественно путем диспропорционирования.

^{**} Согласно нашим данным, можно пренебречь передачей цепи через нон S₂O₈-.

Подставляя
$$C_M + C_A \frac{[A]_0}{[M]_0} = \frac{1}{\overline{P}_0}$$
, получаем

$$\frac{1}{\overline{P}_{0}} = \frac{1}{\overline{P}_{0}} + B[P]_{0}^{V_{0}}, \tag{5}$$

где

$$B = 2 \frac{\sqrt{k_{\text{MH}} \cdot k_0}}{k_p} \cdot \frac{[A]_0^{\eta_1}}{[M]_0} \tag{6}$$

Коэффициент передачи цепи через амин определялся из тангенса угла наклона прямых, полученных откладыванием отношения $[A]_0/[M]_0$ против $\left\{\overline{p}_n^{-1} - 2 \frac{\sqrt{k_{mr} \cdot k_0}}{k_0 \cdot [M]_0} [A]_0^{1/a} [P]_0^{1/a} \right\}$

В табл. 3 приведена температурная закисимость $C_{\rm A}$.

Таблица 3 Коэффициент передачи цепи $C_{\rm A} \cdot 10^2$ Аминосоединение ΔE_{π}^{*} 25° 30° 35° усн,сн,он 5009 3.1 3.4 4.0 NCH, CH, OCH, 1.3 1.8 2.5 9500 усн,сн,он 5,6 7,5 9600 усн,сн,осн, 3,6 4.2 11400

•• $\Delta E_{\pi} = E_{\pi} - E_{p}$.

Из зависимости \overline{P}_n^{-1} от $[P]_0^{1/n}$ [(5) и (6)] рассчитывались значения константы инициирования. В табл. 4 для сравнения приведены значения $k_{\rm HR}$ при 25°, определенные методом ингибирования и из зависимости \overline{P}_n^{-1} от $[P]_0^{1/n}$.

Из табл. 4 следует, что с увеличением [М]₀ средние молекулярные массы ПАА должны линейно расти, что подтверждается данными табл. 5.

Таблица 4

	kun 102, M-1 - Mun-1			
Аминосоединения	из W _{ян} /[А _•] [Р]•	из (5) и (6)		
усн,сн,он	3,1	3,4		
усн, сн, осн,	1,7	1,4		
NCH2CH2OH	7,1	8,9		
NCH3CH3OCH3	6,0	6,8		

Таблица 5

- 1000	Молекулярные веса при 30°C				
Аминосоединения	$(M)_0 = 0,125 \text{ MOA6/A}$	(M) ₀ =0,375 моль/л	$(M)_0=0,5$ MOAS/A		
NCH₂CH₂ОН	8900	30860	40200		
NCH,CH,OCH3	12500	45440	58200		
усн,сн,он	6340	28500	42000		
NCH, CH, OCH,	12300	27200	58300		

Обсуждение результатов

Из применимости уравнения (1) ясно, что кинетика полимеризации AA в присутствии примененных нами инициирующих систем «идеальная». Однако зависимость $k_{\rm p}/V \, k_{\rm oбp}$ от природы аминосоединения указывает на отклонение процесса от идеального механизма. Приведенные в табл. 6 некоторые данные также указывают на зависимость отношения $k_{\rm p}/V \, k_{\rm oбp}$ от природы инициатора.

Таблица б

	uomana o		
Иницинрующая система	k _p /√k _e , М ^{-1/s} мин ^{-1/s} при 25°	Лит. ссылок	
Иннциирование фотонами	41,0	[9]	
Радиационное	31,0	[10]	
H2O2 + Na2S2O2	28,6	4	
$K_2S_2O_8 + Na_2S_2O_3$	29,0	[11]	

Из отмеченного факта следует, что отношение $k_p/\sqrt{k_0}$, будучи функцией от $[A]_0$, с изменением последней должно меняться. В таком случае нельзя ожидать линейной зависимости между $\log W_{\text{пол}}$ и $\log [A]_0$ (рис. 1). Однако, как было показано в [12], зависимость $k_p/\sqrt{k_0}$ от $[A]_0$, возможно, обусловлена комплексообразованием между растущим радикалом и аминоспиртом. Учет такого акта приводит к выражению

$$W_{a} = (k_{p}/k_{0}^{1/a}) \sqrt{W_{int}} [M]_{0};$$
 (7)

$$\left(\frac{k_{\rm p}}{\sqrt{k_{\rm o}}}\right)_{\rm sc} = \frac{1 + K'\left[A\right]}{1 + K''\left[A\right]} \cdot \frac{k_{\rm p}}{\sqrt{k_{\rm o}}} \tag{8}$$

при условии, что AA не участвует в акте инициирования. Из (8) вытекает, что $k_{\rm p}/\sqrt{k_{\rm 0}}=f({\rm A}_{\rm 0})$ не чувствительна к изменению [A] $_{\rm 0}$.

Из (1) следует также, что цепь иницинруется в результате бимолекулярной реакции P+A. Сравнение значений $k_{\rm ин}$ показывает, что аминоспирт с большей скоростью вызывает гомолиз S_2O_8 , чем соответствующий аминоэфир. По-видимому, это обусловлено стабилизацией аминоспиртового радикала в результате образования внутрирадикальной H-

кислорода на скорость реакции S₂O₈ с взятыми аминосоединениями [13] также объяснялись на основании этого предположения. Аналогичные результаты получены для передачи цепи

$$\begin{array}{ccc}
H & H \\
\sim C - CH + NC_2H_4OR & \longrightarrow P_n + NCCH_2OR \\
C = O & & \\
NH_2 & & \\
\end{array}$$

По всей вероятности, передача цепи через амин протекает с образованием комплекса макрорадикал—амин. В пользу этого предположения говорят «высокие» отношения энергии передачи цепи (E_n) . Известно, что из зависимости $\log C_A$ от 1/T определяется ΔE_n , представляющая собой разность энергий передачи и роста цепи. Если считать, что E_n в среднем равна 6 $\kappa \kappa a n/monb$, то, согласно данным табл. 3, для E_n получается 16-17 $\kappa \kappa a n/monb$. Безусловно, в это значение входит и ΔH комплексообразования. Поэтому истинное значение E_n должно быть меньше 16 $\kappa \kappa a n/monb$. Тем не менее такие «высокие» значения E_n могут привести к выводу, что вообще передача цепи через амины «энергетически очень невыгодный процесс», что противоречит нашим экспериментальным данным. Однако в данном случае надо учесть принципиальную возможность увеличения предэкспоненциального множителя наряду с увеличением экспоненциального члена в уравнении Аррениуса (компен-

сационный эффект), в результате образования комплекса между реагирующими частицами.

Надо отметить, что изученные нами аминосоединения передают цепь без замедления общей скорости полимеризации, что обусловлено возможностью регенерации цепи по акту

$$\begin{array}{c} H \\ R_2NCCH_2R_1 + S_2O_8^{2-} \longrightarrow SO_4^{-} + HSO_4^{-} + (R_2NC-CR_1) \\ \\ a \longrightarrow R_2NC=CR_1 \longrightarrow R_2NH + R_1CH_2CHO \end{array}$$

Таким образом, изученные нами аминосоединения не только увеличивают скорость гомолиза $S_2O_8^{2-}$, но влияют на значения $k_{\rm p}/\sqrt{k_{\rm ofp}}$ и передают цепь.

ՋՐԱՅԻՆ ԼՈՒԾՈՒՅԹՈՒՄ
$$S_2O_8^2+R$$
 NCH $_1$ CH $_2$ OR $_1$ ՀԱՄԱԿԱՐԳԵՐՈՎ ՀԱՐՈՒՑՎԱԾ ԱԿՐԻԼԱՄԻԴԻ ՊՈԼԻՄԵՐՄԱՆ ԿԻՆԵՏԻԿԱ

n. a. upipenpesul i t. u. pesipesul

Ջրային լուծույթում 20 -35° ջերմաստիճանային միջակայքում ուսում- նասիրված է ակրիլամիդի պոլիմերման կինետիկան։ Որպես Հարուցիչ օգտա- գործված են $S_2O_8^2+R$ $NCH_2CH_2OR_1$ համակարգերը, որտեղ $R\equiv CH_2$ L O, իսկ $R_1\equiv H$ և CH_3 ։ Հիշյալ ամինամիացությունների ներկայությամբ որոշված են պրոցեսի գումարային արագությունները, հարուցման ակտի տեսակարար արագությունները և շղթայի փոխանցման գործակիցները։

ACRYLAMIDE POLYMERIZATION KINETICS IN AQUEOUS SOLUTIONS INITIATED BY RED-OX SYSTEMS

R. P. MELIKSETIAN and N. M. BEYLERIAN

The kinetics of acrylamide polymerization has been studied in an aqueous solution, in the temperature range $20-35^{\circ}$ C. $S_2O_8^{2-}+$ +R NCH₂CH₂OR₁ systems were used as initiators, where R=CH₂ and O, while R₁=H and CH₃. The over-all rates of polymerization, the specific rates of the initiation step, and the chain transfer constants have been determined in the presence of the mentioned amino compounds.

ЛИТЕРАТУРА

- 1. М. Н. Савицкая, ЖПХ 32, 1797 (1959); А. А. Филипов, С. Г. Файнгольд, Л. Г. Айзенберг, Кокс н химия, 1960, 7.
- 2. Н. М. Бейлерян, Б. А. Одабашян, О. А. Чалтыкян, Арм. хим. ж., 26, 805 (1973).
- 3. Р. М. Акопян, Н. М. Бейлерян, А. З. Бояджян, Арм. хим. ж., 28, 522 (1975).
- 4. Пат. США, 3002960, 3/Х-1961; РЖХ 19П, 676 (1962).
- 5. I. Geerzy, H. I. Nasr, Kolor Ert (Hungr.), 12, 138 (1970).
- 6. I. Geerzy, H. I. Nasr, Acta chim. Hungr., 70, 319 (1971).
- 7. Р. М. Акопян, Н. М. Бейлерян, И. М. Оганян, Арм. хим. ж., 28, 263 (1975).
- 8. E. A. Cavell, Makromol. Chem., 54, 70 (1962); C. Mukhardhay, R. Ch. Mitra, J. R. Pallt, Makromol. Chem., 141, 55 (1971).
- 9. F. S. Dainton, R. S. Eaton, J. Polym. Sci., 39, 313 (1959).
- 10. В. Ф. Громов, П. М. Хомиковский. А. Д. Абкин, ВМС, Б-12, 767 (1970).
- 11. I. Riggs, F. Rodriguez, Polymer. rev., 3, 351-(1967).
- 12. Н. М. Бейлерян, С. Л. Мхитарян, О. А. Чалтыкян, Арм. хим. ж., 25, 568 (1972).
- 13. Н. М. Бейлерян, Р. П. Меликсетян, О. А. Чалтыкян, ДАН Арм. ССР, 49 (1972).

XXXI, № 11, 1978

УДК 539.211

РАСЧЕТ КОНФОРМАЦИОННЫХ СВОЙСТВ ПОВЕРХНОСТНЫХ ОН-ГРУПП В КРИСТОБАЛИТНОЙ И ТРИДИМИТНОЙ СТРУКТУРАХ SiO₂

Г. Г. ГРИГОРЯН и А. В. МУШЕГЯН

Ереванский государственный университет

Поступило 27 III 1978

Методом атом—атом потенциалов рассчитаны потенциальные карты внутреннего вращения поверхностных гидроксильных групп тридимитной и кристобалитной структур SiO₂. Показано, что внутреннее вращение поверхностных гидроксильных групп кристобалитной структуры заторможено. Для устойчивой конформации тридимитной структуры рассчитаны валентные углы SiOH, равные 112,9°, которые находятся в хорошем согласии с экспериментальными данными.

Рис. 2, библ. ссылок 12.

В последние годы наблюдается большой интерес к исследованию поверхностных гидроксильных групп SiO₂, Al₂O₃, цеолитов и других сорбентов, которые широко применяются как носители катализаторов и как катализаторы крекинга, гидратации, гидрогенизации. Разностороннее исследование поверхностных гидроксильных групп во многом будет способствовать также исследованию структуры и каталитических свойств иммобилизированных ферментов, в которых вышеуказанные сорбенты применяются как подложки катализаторов. Интерес к исследованию структуры поверхностных гидроксильных групп возрастает, потому что каталитическая активность SiO₂, Al₂O₃ и т. д. в основном зависит от характера распределения протонных и апротонных кислотных центров.

Исследованию поверхностных и объемных гидроксильных групп посвящены многочисленные теоретические и экспериментальные работы [1—12]. Теоретические работы Лыгина охватывают область изучения электронных ячеек (кластеров) силикатных систем и систем силикат—лиганд [1—4]. В работах Михейкина и Абронина применен квантовохимический метод расчета CNDO/BW, основанный на компенсации валентности граничных атомов при введении в систему одновалентных псевдоатомов. Были вычислены характер и Н-Д замещение поверхностных гидроксильных групп силикагеля [5, 6].

Для исследования конформации поверхностных ОН-групп SiO₂ Перри [7,8] впервые получил колебательно-вращательные спектры. На основе Р и R ветвей образовавшейся вращательной структуры рассчитаны спектральные характеристики и найдены значения угла SiOH, равного

113°; такое значение получено и для SiOD. Как указывается в работе, появление ветвей можно рассматривать в качестве указания на заторможенное квантовое вращение или крутильные колебания свободных гидроксильных групп поверхности.

Несмотря на ценность указанных работ все квантовохимические расчеты внутреннего вращения поверхностных ОН-групп в основном проведены на кластерной модели ввиду ограниченности квантовохимических расчетных методов. Задача во многом усложняется при расчете системы адсорбат—лиганд.

В настоящей статье нами делается полытка с использованием простого метода атом—атом потенциала вычислить характер внутреннего вращения, а также параметры SiOH-группы в кристобалитной и тридимитной структурах SiO₂ с целью дальнейшего распространения метода на адсорбированные молекулы и нахождения теоретического подхода к вопросам упаковки больших молекул на поверхности носителей.

Экспериментальная часть и обсуждение результатов

В основе конформационного анализа в методе атом—атом потенциалов лежит расчет энергии напряжения, которая представляется как сумма энергий взаимодействий валентно не связанных атомов.

$$U_{ij} = f(r_{ij}), \qquad U_{\text{nes}} = \sum_{j} \sum_{\langle j \rangle} U_{ij}$$

Энергия напряжения складывается из следующих составляющих:

$$U_{\text{напр}} = U_{\text{нев}} + U_{\text{уга}}$$

где $U_{\text{нев}}$ — энергия невалентного взаимодействия, $U_{\text{угл}}$ — энергия деформации угла.

Для расчета $U_{\text{нев}}$ была выбрана функция 6-ехр.

$$U_{\text{HeB}} = a/r^{\circ} - b \exp(-cr)$$

Взаимодействие между атомами Н и О было определено по потенциалу Морзе

$$U_{\text{H...o}} = \varepsilon \left[1 - \exp\left[-\alpha \left(r - r_0\right)\right]^2\right] - \varepsilon$$

со следующими параметрами:

$$\varepsilon = 5 \kappa \kappa \alpha n / \kappa o n b$$
, $\alpha = 5 A^{-1}$, $r_0 = 1.75 A$

Для расчета углового потенциала ($U_{
m yra}$) использована формула

$$U_{\rm yrs}=0.5k\,(\alpha-\alpha_0)^2$$

где k — деформационная угловая силовая постоянная.

Кристаллическая структура кремнезема состоит из элементарных единиц SiO₄-, образующих кристобалитную и тридимитную решетки,

размеры которых достигают несколько сотен Å [9]. Всю поверхность кремнеземов можно рассматривать как ссвокупность кристобалитных и тридимитных структур, на которых свободные валентности атомов Si компенсируются гидроксильными группами, обусловливающими активность кремнеземов.

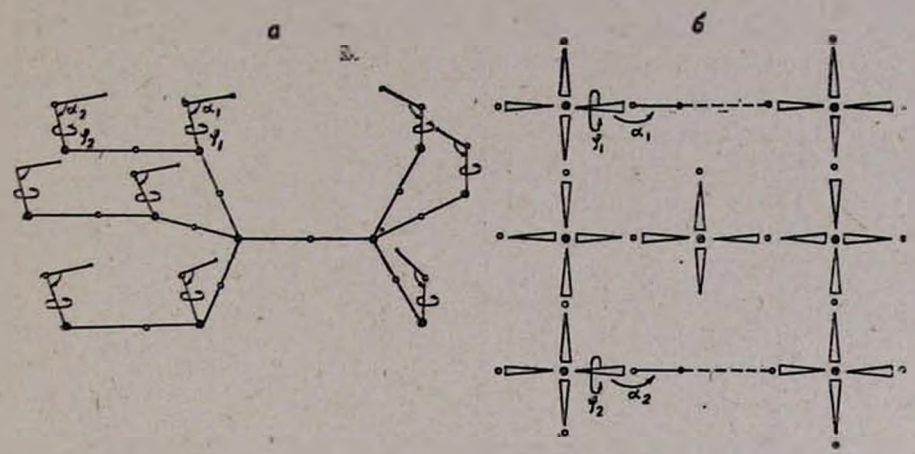


Рис. 1. Расчетные модули а-тридимит, д-кристобалит: • — Si, O — O, · — H.

Для расчета конформации поверхностных гидроксильных групп взяты кластерные модели (рис. 1 а, б). Выбор данных кластерных моделей характеризуется тем, что в кластер «входят» гидроксильные группы (расстояние между ними меньше 5 Å) и участок поверхности, включающий ближайшее окружение рассматриваемых ОН-групп. Значения валентных углов и длин связей для кристобалита и тридимита взяты из работ [4, 5, 9]:

$$r_{SI-O} = 1,62 \text{ Å}, \quad \Rightarrow SiOSi = 180^{\circ}, \quad \Rightarrow OSiO = 109,47^{\circ}.$$

Параметры a, b, c для взаимодействия атомов Si···Si вычислялись по универсальному уравнению Китайгородского [10] с использованием значения $r_{\text{Si···Si}}^0 = 2$,1 Å [11]. Для остальных взаимодействий a, b, c параметры вычислялись по комбинационным правилам [10]. Силовая постоянная для деформации угла SiOH принята k=65 ккал/ $lzpa\partial^2 \cdot моль$, а $a_0 = 105^\circ$.

Для решения поставленной задачи проводилась следующая процедура: торсионные углы (φ_1 и φ_2), начало которых соответствует "транс" положению связи H—О по отношению к связи Si—О, вращались шагом в 30° от 0° до 360° . При каждом фиксированном значении φ_1 и φ_2 минимизировались валентные углы α_1 и α_2 (рис. 1 a, a). Полученные потенциальные карты приведены на рис. 2 a, a.

Как показывают расчетные данные, потенциальная энергия внутреннего вращения поверхностных гидроксильных групп тридимита характеризуется неглубоким минимумом E=1,28 ккал/моль при $\phi_1=180^\circ$ и $\phi_2=60^\circ$. В точке минимума минимизируемые валентные углы SiOH

принимают значения $\mathbf{z}_1 = \mathbf{z}_2 = 112.98^\circ$. Барьер внутреннего вращения $\Delta E = 0.38~\kappa\kappa a$ л/моль и значения для углов SiOH находятся в хорошем согласни с экспериментальными данными Перри [8], полученными по колебательно-вращательным спектрам, а также с данными [12], полученными по методу изучения диэлектрических потерь. Частичная заторможенность вращения поверхностных гидроксильных групп свидетельствует о существовании взаимодействия между водородом гидроксиль-

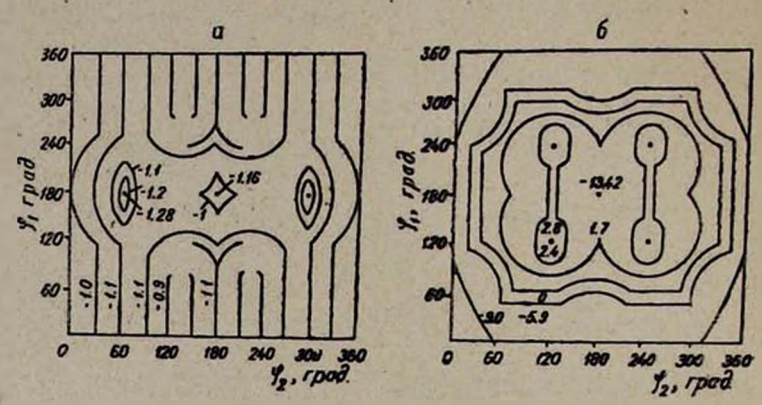


Рис. 2. Потенциальная карта внутреннего вращения поверхностных групп а-тридимит, 6-кристобалит.

ной группы и кислородом SiO₄-группы. Расчет объемных гидроксильных групп кристобалита привел к получению более глубокого минимума (рис. $2 \, \delta$) $E = -13,42 \, \kappa \kappa \alpha A/MoA \delta$ при $\phi_1 = \phi_2 = 180^\circ$. В точке минимума значение угла SiOH равно 116,3°. Барьер внутреннего вращения равен $\Delta E = 16,02 \, \kappa \kappa \alpha A/MoA \delta$. Полученное высокое значение барьера внутреннего вращения свидетельствует о том, что при объемных гидроксильных группах оно заторможено. Последнее находится в хорошем согласии с данными [8, 12].

SiO₂-Ի ՏՐԻԴԻՄԻՏԱՑԻՆ ԵՎ ԿՐԻՍՏՈԲԱԼԻՏԱՅԻՆ ՍՏՐՈՒԿՏՈՒՐԱՆԵՐԻ ՄԱԿԵՐԵՍԱՅԻՆ ՀԻԴՐՕՔՍԻԼ ԽՄԲԵՐԻ ԿՈՆՖՈՐՄԱՑԻՈՆ ՀԱՏԿՈՒ**Բ**ՑՈՒՆՆԵՐԻ ՀԱՇՎԱՐԿԸ

Դ. Գ. ԳՐԻԳՈՐՅԱՆ և Ա. Վ. ՄՈՒՇԵՂՅԱՆ

Ատոմ-ատոմ պոտենցիալների մեթոդով հաշվված է SiO₂-ի տրիդիմիտային և կրիստորալիտային ստրուկտուրաների մակերեսային հիդրօքսիլ խմբերի
ներքին պտույտների պոտենցիալ քարտեզները, Ցույց է տրված, որ կրիստոբալիտային ստրուկտուրաների մակերեսային հիդրօքսիլ խմբերի ներքին
պտույտը արգելված է։ Տրիդիմիտային ստրուկտուրայի կայուն կոնֆորմացիայի համար հաշվված են SiOH վալենտական անկյունները, որոնք հավասար են 112,9°։

CALCULATION OF THE CONFORMATIONAL PROPERTIES OF SURFACE OH-GROUPS IN THE CRYSTOBALITE AND TRIDYMITE STRUCTURES OF SILICON DIOXIDE

G. G. GRIGORIAN and A. V. MUSHEGHIAN

Potential maps of the internal rotation of surface OH-groups in tridymite and crystobalite structures of silicon dioxide have been calculated by the atom-atom potential method. It has been shown that the internal rotation of surface OH-groups in crystobalite structures is hindered. The SiON valence angles for the stable conformation of tridymite have been evaluated.

ЛИТЕРАТУРА

- 1. А. В. Киселев, В. И. Лыгин, Р. В. Стародубцена, В. М. Хасамова, ЖФХ, 49, 401 (1975).
- 2. А. В. Киселев, В. И. Лыгин, Е. А. Рябенко, Т. И. Титова, Б. З. Шалумова, В. С. Шимичев, Т. С. Ющенко, Колл. ж., 38, 347 (1976).
- 3. А. В. Киселев, В. И. Лыгин, В. П. Смоликов, ЖФХ, 49, 1026 (1975).
- 4. В. И. Лыгин, В. В. Смоликов, А. Г. Чернов, ЖФХ, 50 498 (1976).
- 5. I. D. Mikhelkin, I. A. Abronin, J. Mol. Catalis, 1, 326 (1978).
- 6. Н. Д. Михейкин, И. А. Абронин, Г. М. Жидомиров, В. Б. Казанский, Кин. н кат., 18, 1580 (1977).
- 7. B. Pery, J. Phys. Chem., 70, 2937 (1966).
- 8. B. Pery, J. Phys. Chem., 79, 1271 (1975).
- 9. В. П. Прянишников, Система кремнезема, Изд. лит. по строит., Л., 1971.
- 10. В. Г. Дашевский, Конформации орг. молекул, Изд. «Химия», М., 1974.
- 11. A. Bondi, J. Rhys. Chem., 68, 441 (1964).
- 12. S. Kondo, m. Mukoya, Bull. Chem. Soc. J., 42, 1165 (1969).

XXXI, № 11, 1978

НЕОРГАНИЧЕСКАЯ И АНАЛИТИЧЕСКАЯ ХИМИЯ

УДК 666.112.93:541.1!

РЕФРАКЦИЯ КАРКАСА И СТРУКТУРА БЕСЩЕЛОЧНЫХ БОРОГЕРМАНАТНЫХ СТЕКОЛ

В. Г. ДЖАВАДЯН и К. А. КОСТАНЯН Поступило 10 III 1978

Проведен анализ зависимости рефракции каркаса от состава борогерманатных стекол с шелочноземельными окислами, на основе которого сделан вывод о структурных превращениях, происходящих в этих стеклах.

Рис. 3, табл. 2, библ. ссылок 9.

Изучение стекол системы $RO ext{--}B_2O_3 ext{--}GeO_2$ (где RO = CaO, SrO, BaO) дало возможность обнаружить своеобразный ход изменения плотности, коэффициента линейного термического расширения, показателя преломления, электропроводности в зависимости от состава, который выражался в виде экстремумов на кривых свойство—состав при содержании RO = 25 - 30 мол. %. Такой ход кривых нами был объяснен с позиции изменения строения полиэдров стеклообразного каркаса, в частности, изменения координационного числа атомов бора и германия в зависимости от содержания RO = 1 - 3.

В настоящей работе с целью анализа структурных превращений в борогерманатных системах, включающих такие ионогенные окислы как CaO, SrO, BaO, нами был использован метод расчета рефракции каркаса стекла [4]. Выбор данного метода расчета мотивировался тем, что в отличие от других известных вариантов разделения рефракции на составляющие для целей структурной интерпретации [5—7] он не ограничен большой погрешностью.

Используя экспериментальный материал работ [1, 2], выполнен расчет средней атомной рефракции (R_*) стекол системы $RO - B_2O_3 - GeO_2$ (где RO = CaO, SrO, BaO) для D -линии Na (табл. 1 и 2).

Атомная рефракция была представлена в виде суммы двух аддитивных составляющих—рефракций атомов каркаса и катионов с близкой к ионному типу связью с кислородом. Рефракция каркаса (R_{κ}) в данном случае представляла собой рефракцию атомов кислорода всех видов и атомов бора и германия. Расчет рефракции стекла (R_{κ}) производился по следующему выражению:

$$R_{x} = (R_{x} - R_{j}x_{j}) \cdot \frac{1}{1 - x_{j}}$$

где R_a — атомная рефракция, рассчитанная по Лоренц-Лорентцу $\left(R_a = \frac{n^2-1}{n^2+2} \cdot \frac{M_a}{d}\right)$; R_f — табличная рефракция модификатора для $Ca^{++} = 1,39$, $Sr^{++} = 2,56$, $Ba^{++} = 4,67$ [8], x_f — атомная доля катиона.

Таблица 1
Рефракция стекол системы RO—B₂O₃—GeO₂
(RO=BaO, SrO)

Состав	(по синтезу	'), мол. ⁰/₀	Атомная	Рефракция			
*GeO,	*GeO, B,O,		eO ₂ B ₂ O ₃ BaO		рефракция стекла R _a , см ³ /моль	каркаса R _к	
70 60 50 40 30 20	30 30 30 30 30 30	10 20 30 40 50	2,835 2,824 2,861 2,988 3,121 3,356	2,835 2,769 2,748 2,820 2,918 3,104			
50 50 50 50 50	27,5 25 20 15	22,5 25 30 35 41	2,922 3,006 3,118 3,340 3,548	2,796 2,867 2,951 3,161 3,361			
10 20 30 35	70 60 50 40 35	30 30 30 30 30	2,476 2,546 2,664 2,797 2,861	2,302 2,370 2,487 2,622 2,687			
GeO,	B ₂ O ₃	SrO	R _a , см ³ /моль	R _к , см ³ /моль			
50 45 40 35 30 25 20	30 30 30 30 30 30 30 30	20 25 30 35 40 45 50	·2,709 2,734 2,758 2,754 2,784 2,839 2,891	2,718 2,748 2,778 2,778 2,815 2,885 2,955			

^{*} Стекла, изученные в [1].

Известно, что главная роль в преобразовании строения полиэдров стеклообразного каркаса при изменении состава принадлежит кислороду ионогенного окисла [9]. Поэтому нами рассчитана доля введенного с ионогенными окислами кислорода (у) от общего числа атомов каркаса и построена зависимость ($R_{\rm k}$) от этой доли. Эта доля рассчитывалась по составу стекла следующим образом:

$$y = \frac{x_j}{1 - x_j}$$

Армянский химический журнал, ХХХІ, 11-2



^{**} Стекла, изученные в [2].

Таблица 2 Рефракция стекол системы CaO—B₂O₃—GeO₂, изученных в [2]

		1 46	Accurac	2 (5)
Состав	(по синтезу	·), мол. */。	Атомная рефракция	Рефракция
CaO	B ₂ O ₃	GeO,	стекла R _a , см ³ /моль	каркаса R см³/моль
20 30 40 45	20 20 20 20 20 20	80 60 50 40 35	2,981 2,827 2,769 2,722 2,724	2,981 2,923 2,917 2,927 2,965
20 25 30 35 40 45	30 30 30 30 30 30 30	50 45 40 35 30 - 25	2,666 2,620 2,623 2,592 2,561 2,568	2,745 2,720 2,745 2,738 2,727 2,764
20 30 35 40 45	40 40 40 40 40 40 40	60 40 30 25 20 15	2,787 2,564 2,435 2,406 2,388 2,379	2,787 2,633 2,533 2,521 2,521 2,532
20 30 40 45	50 50 50 50 50	50 30 20 10 5	2,709 2,468 2,325 2,261 2,255	2,709 2,528 2,407 2,371 2,381
30 30 30	70 60 35	10 35	2,177 2,244 2,523	2,238 2,315 2,633

На рис. 1 представлены зависимости (R_k) от (y) для стекол системы RO--B₂O₃—GeO₃, в которых GeO₂ заменялся на RO при постоянном содержании B₂O₃ = 30 мол. $\frac{0}{0}$ (кр. 1-3), а B₂O₃ — на ВаО

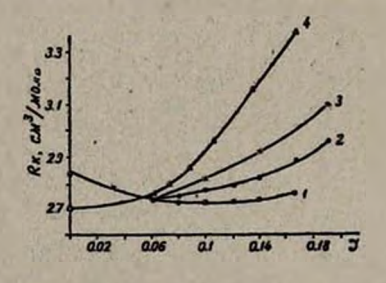


Рис. 1. Зависимость R_{κ} от у в тройных борогерманатных системах:

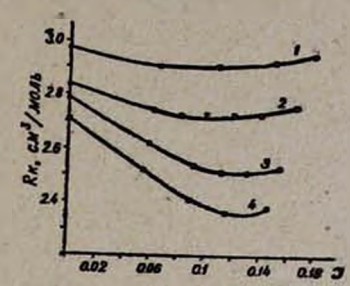
 $1 - xCaO \cdot 30B_2O_3 \cdot (70 - x) GeO_2;$ $2 - xSrO \cdot 30B_2O_3 \cdot (70 - x) GeO_2;$ $3 - xBaO \cdot 30B_1O_3 \cdot (70 - x) GeO_2;$ $4 - xBaO \cdot 50GeO_2 \cdot (50 - x) B_2O_3.$

при ${\rm GeO_2}=50$ мол. $^0/_0$ (кр. 4). Как видно из рисунка, эти зависимости имеют линейный характер. Для кр. 1-3 наблюдается уменьшение R_{κ} до $y\leqslant 0.08$, что соответствует $M_{\kappa}\leqslant 25$ мол, $^0/_0$ (M_{κ} — мольная доля ионогенных окислов) и рост R_{κ} при y>0.08. Кривая 4 отличается более резким наклоном участка роста R_{κ} при y>0.08.

Такая зависимость R_* от у указывает на протекание во всей области составов в основном двух процессов. Уменьшение R_* до $y \leqslant 0.08$ (кр. 1, 2, 3) и слабое ее изменение (кр. 4) исключают процесс разрыва мостиков B-O-B и Ge-O-Ge, поскольку рефракция мостикового кислорода (R_0) меньше рефракции немостикового кислорода (R_0) . Тем самым можно заключить, что в этой области составов идет накопление тетраэдров бора $[BO_{4s}]^{-1}$ и октаэдров германия $[GeO_{4s}]^{-2}$, т. е. появляются дополнительные мостики B-O-B и Ge-O-Ge. Увеличение R_* при y>0.08 можно связать с процессом разрыва мостиков и образованием немостикового кислорода.

Рис. 2. Зависимость R_{κ} от у в кальциевоборогерманатных системах следующих составов:

- $1 xCaO \cdot 20B_2O_3 \cdot (80 x) GeO_2;$
- $2 xCaO \cdot 30B_2O_3 \cdot (70 x) GeO_2;$
- $3 xCaO \cdot 40B_2O_3 \cdot (60 x) GeO_2;$ $4 - xCaO \cdot 50B_2O_3 \cdot (50 - x) GeO_2.$



Отсутствие сложной зависимости R_{κ} от у во всей области составов наводит на мысль, что в данном случае исключается распад тетраэдров бора, а возможно, и октаэдров германия соответственно в ионизированные треугольники $\mathrm{BO}_{1/8}(\mathrm{O}_{1/8})^{-1}$ и дважды ионизированные тетраэдры $\mathrm{GeO}_{2/8}(\mathrm{O}^-)_2$. Уменьшение крутизны кривых R_{κ} от у в бариевых, стронциевых и кальциевых системах связано с увеличением отклонения степени ионности связи $\mathrm{Me}^{++}\cdots\mathrm{O}^{--}$ от $\mathrm{100^0/_0}$, растущим в ряду $\mathrm{Ba} \to \mathrm{Sr} \to \mathrm{Ca}$. Относительно большая крутизна кр. 4 по сравнению с кр. 1 связана с тем, что в первом случае каркас стекла обедняется $\mathrm{B_2O_3}$, рефракция которой меньше рефракции $\mathrm{GeO_2}$, и это в свою очередь дает дополнительный вклад в увеличении R_{κ} .

На рис. 2 представлены зависимости R_{κ} от у борогерманатных стекол, содержащих CaO и разные количества B_2O_3 . Как видим, спад R_{κ} в зависимости от у растет с увеличением содержания B_2O_3 в кар-касе стекла. Вероятная причина такого явления может заключаться в том, что с увеличением в каркасе стекла B_2O_3 уменьшается доля шестикоординированного германия при введении ионогенного окисла.

Известно, что по мере накопления в каркасе стекла заряженных группировок $[BO_{\eta_a}]^{-1}$ и $[GeO_{\eta_a}]^{-2}$ увеличивается взаимное отталкивание между ними. Естественно предположить, что более эффективное отталкивание будет происходить между октаэдрами $[GeO_{\eta_a}]^{-2}$ вследствие наличия на нем двойного заряда. В связи с этим ослабление спада R_{κ} с уменьшением содержания $B_{2}O_{3}$, по-видимому, определяется возрастанием роли взаимного отталкивания между заряженными полиэдрами при увеличении доли шестикоординированного германия в каркасе стекла.

Это явление проиллюстрировано на рис. 3, где представлена зависимость R_{κ} от содержания стеклообразного окисла при постоянном содержании RO (BaO, CaO) = 30 мол. %. В этих системах содержание ноногенного окисла постоянно, изменяется лишь состав каркаса. Из рисунка видно, что зависимость R_{κ} от содержания стеклообразного окисла распадается на два участка, разделенные изгибом при GeO_2 = 35 мол. 0 0 или соотношении $\text{GeO}_{2}/\text{B}_{2}\text{O}_{3}$ = 1. Видно также, что участок, расположенный в области, относительно богатой GeO_{2} ($\text{GeO}_{2} > 35$

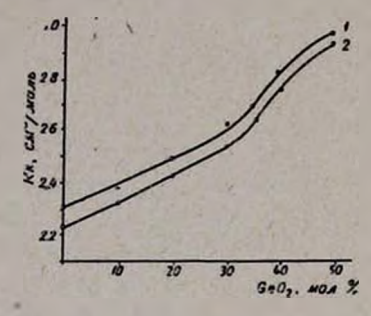


Рис. 3. Зависимость R_{κ} от содержания GeO_2 при постоянной концентрации модификатора в тройных борогерманатных системах:

1 — 30BaO·xGeO₂·(70 — x) B₂O₃. 2 — 30CaO·xGeO₂ (70 — x) B₂O₃.

мол. $^{0}/_{0}$), отличается большим углом наклона в отличие от участка, расположенного в области, где $\mathrm{GeO_{2}}{<}35$ мол. $^{0}/_{0}$. Такой ход кривой указывает на то, что во всей области состава происходит изменение структуры каркаса стекла, а при $\mathrm{GeO_{2}}{>}35$ мол. $^{0}/_{0}$, вероятно, увеличивается скорость накопления октаэдров германия, что и приводит к повышению угла наклона кривой R_{κ} от содержания $\mathrm{GeO_{2}}$.

ՈՉ ՀԻՄՆԱՅԻՆ ԲՈՐՈԳԵՐՄԱՆԱՏԱՅԻՆ ԱՊԱԿԻՆԵՐԻ ԿՄԱԽՔԻ ՌԵՖՐԱԿՑԻԱՆ ԵՎ ԿԱՌՈՒՅՑԸ

4. A. RUMUASUL L 4. U. HOUSULSUL

Վերլուծված է RO—B₂O₃—GeO₂ (RO—CaO, SrO, BaO) Տամակարգի ապակիների կմախքի ռեֆրակցիայի կախումը բաղադրությունից, որից ել-նելով ենթադրված է, որ ապակիներում RO-ի բաղադրության ավելացումը մինչև 25 մոլ.% բերում է բորի և գերմանիումի կոորդինացիոն թվերի աճ-մանը, իսկ հետագա ավելացումը՝ B—O—B և Ge—O—Ge թթվածնային կամրջակների ճեղքմանը։

THE REFRACTION AND STRUCTURE OF NONALKALINE BOROGERMANATE GLASS FRAMEWORK

V. G. JAVADIAN and K. A. KOSTANIAN

The refraction dependence of RO-B₂O₃—GeO₂ (where RO stands for CaO, SrO and BaO) glass system framework upon composition has been investigated. It was assumed that an increase in the RO concen-

tration in these glasses up to 25 mol. % brings to an increase in the coordination numbers of boron and germanium atoms, while a further increase leads to the cleavage of oxygen bridges in B-O-B and Ge-O-Ge.

ЛИТЕРАТУРА

- 1. В. Г. Джавадян, К. А. Костанян, Физ. и хим. стекла, 3, 73 (1977).
- 2. К. А. Костанян, В. Г. Джавадян, Физ. и хим. стекла, 3, 529 (1977).
- В. Г. Джавадян, Тез. док. IV Всес. совещ. «Электрические свойства и строение стеклообразных систем», Ереван, 1977, стр. 64.
- 4. А. М. Ефимов, Е. К. Мазурина, Физ. и хим. стеила, 3, 37 (1977).
- 5. K. C. Евстропьев, ЖФХ, 20, 457 (1946).
- 6. К. С. Евстропьев, ЖФХ, 20, 605 (1946).
- 7. K. H. San, H. W. Safford, A. Silverman, J. Amer. Ceram. Soc., 23. 343 (1940).
- 3. C. C. Бацанов, ЖСХ, 8, 376 (1967).
- 9. В. В. Тарасов, Новые вопросы фязики стекла, Госстройиздат, М., 1959.

XXXI, № 11, 1978

УДК 54-128.4+541.183

ИОНООБМЕННАЯ ЕМКОСТЬ СИНТЕТИЧЕСКОГО СИЛИКАГЕЛЯ ПО ИОНАМ Na и K

К. С. АБАДЖЯН, Ш. С. ХАЧКАВАНКЦЯН, Н. Р. ВАСИЛЯН и А. Е. ШАМАМЯН

Институт общей и неорганической химпи АН Армянской ССР, Ереван

Поступило 15 VI 1977

Изучен нонообмен катионов Na и K в щелочной среде на вморфном силикагеле, имеющем удельную поверхность 428 м²/г по криптону.

Показано, что в результате замещения водородов гидроксильных групп силикагеля катионами Na и K из раствора Na_2CO_3 или K_2CO_3 изменяются мольные соотношения CO_3

Установлено, что ионообменная емкость силикагеля, осажденного из раствора девятиводного метасиликата натрия путем карбонизиции углекислым газом, по нонам. Na составляет 0,63 мг-экв Na/г SiO₂.

Рис. 2, табл. 2, библ. ссылок 6.

Для определения ионообменной емкости силикагеля по катионам Na и K получен силикагель по способу [1], имеющий удельную поверхность по криптону 428 м²/г [2].

Свежеприготовленный силикагель с влажностью 32,4% и чистотой по иону Na $7\cdot10^{-4}$ % в количестве 20 г перемешивался с растворами Na₂CO₃ и K₂CO₃ разной концентрации при соотношении $\mathcal{K}/T=3$. Суспензия взбалтывалась в герметично закрытом полиэтиленовом сосуде в термостате при 50° в течение 8-10 мин. (достаточная продолжительность для достижения равновесия по реакции (1).

После опыта суспензия фильтровалась. В фильтрате определялись Na_2O (или K_2O при добавлении K_2CO_3) и мольные соотношения $\frac{CO_3}{R_2O}$

Обозначая мольное соотношение $\frac{CO_3}{R_2O}$ в жидкой фазе суспензии в начальный момент реакции — K_0 , а после равновесия — K (независимо от объема жидкости), получим

$$\frac{\text{CO}_2}{\text{R}_0\text{O}} = K_0 = 1$$

поскольку

$$CO_3 = R_2O = y$$
 и $K = \frac{CO_2'}{R_2O'}$

Принимая, что в ионообменном осадке (\equiv Si-ONa) физическая адсорбция CO_2 (в слабом растворе R_2CO_3) равна нулю, т. е.

$$CO_2' = CO_2 = y$$
 и $R_2O' = y - \frac{x}{2}$

получим

$$K = \frac{y}{y - \frac{x}{2}} \tag{2}$$

где K — мольное соотношение $\frac{CO_2}{R_2O}$ в фильтрате; x — количество RHCO₃, образующегося в суспензии после равновесия, z-экв (x эквивалентно ионообменному количеству Na и K); y — количество R_2CO_3 , добавляемого в суспензию, моли.

По формуле (2) при y = x, K = 2, т. е. при добавлении количеств Nа или K, эквивалентных гидроксильным группам силикагеля, мольное соотношение $\frac{CO_{\bullet}}{R_{\bullet}O}$ в фильтрате должно равняться 2 (и при y < x), при остальных же условиях, т. е. y > x, K принимает значение

$$1 < K < 2$$
.

Для определения величины х, преобразуя формулу (2), получаем

$$y = \frac{x \cdot K}{2(K-1)} \tag{2}$$

Согласно уравнению (3), зависимость у от $\frac{K}{2(K-1)}$ должна иметь вид прямой линий с наклоном x, т. к. ионообменная емкость—постоянная величина.

В табл. 1 приведены результаты опытов ионообмена Na и K на силикагеле.

Как видно из табл. 1, при добавлении к силикагелю (13,5 г) Na_2CO_3 (K_2CO_3) до $8,84\cdot 10^{-3}$ молей K остается постоянным и соотношение $\frac{K}{2(K-1)}$ равно 1.

При добавлении Na₂CO₃ (K₂CO₃) в количестве больше гидроксильных групп силикагеля опытные данные не совмещаются с прямой

линией (tg $\alpha = x$ рис. 1), что указывает на наличие адсорбции Na₂CO₃ (K₂CO₃) на осадке (\equiv Si \equiv ONa)_x.

Таблица 1

ция Na ₂ CO ₃ Na ₂ O (K ₂ CO ₂) в суспенз	Количество	Мольные сооти в фили	n ₂ O	Значения <u>К</u> 2 (K-1) для фильтрата		
	в суспензии у·10 ² , моли	Na ₃ CO ₃ — —NaHCO ₃ — —H ₂ O	K ₃ CO ₃ — —KHCO ₃ — —H ₃ O	Na ₃ CO ₃ — —NaHCO ₃ — —H ₃ O	K,CO,— —KHCO, —H,O	
	40.04	1.01	1,81	1,12	1,12	
0,36	12,24	1,81	1,91	1,075	1,05	
0,34	11.56	1,87	1,92	1,05	1,04	
0,32	10,88	1,90		1,05	1.04	
0,30	10,20	1,91	1.93		•	
0,28	9.52	- 1,93	1,95	1,04	1,02	
0,26	8,84	2,00	2,00	1,00	1,00	
0,24	8,16	2,00	2,09	1,00	1,00	
0,20	6,80	2,00	2,60	1,00	1,00	

Если принять в качестве эквивалентного количества к гидроксильным группам силикагеля предельное значение $x=8,84\cdot 10^{-3}$ г-экв $\left(\text{при }\frac{K}{2\left(K-1\right)}=1\right)$, то ионообменная емкость силикагеля $\left(X_{m}\right)$ по Na или K будет определяться по формуле $\left(4\right)$

$$X_m = \frac{X}{m} \tag{4}$$

гле X_m — ионообменная емкость силикагеля, 2-экв Na⁺ или K /2·SiO m — вес сухого кремнезема, 2.

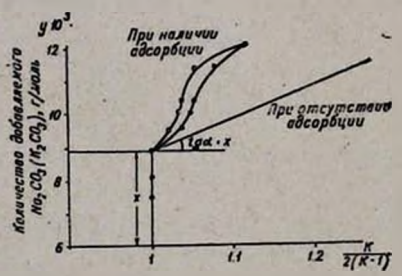


Рис. 1. Зависимость количества добавляемого Na_2CO_3 и K_2CO_3 от $\frac{K}{2(K-1)}$ О— ионообмен K^+ на силикателе, \bullet — понообмен Na^+ на силикателе.

Подставляя значения $X=8.84\cdot 10^{-8}$ г-экв и m=13.5 г в формулу (4), получаем ионообменную емкость силикагеля по Na и K, равную $0.65\cdot 10^{-8}$ г-экв Na или $\text{K/z}\cdot \text{SiO}_2$.

Для определения ионообменной емкости силикагеля, образующегося при карбонизации раствора девятиводного метасиликата натрия [3] по реакции

$$Na_2SiO_3 + H_2O + CO_2 \rightarrow (\equiv Si - ONa) + Na_2CO_3 + NaHCO_3 + H_2O$$
 раствор

свежеполученный осадок, полученный на Опытном заводе ИОНХ, подвергался взмучиванию водой при соотношении V/Ж = 2.2 и 50°.

При изищентрации раствора девятиводного метасиликата натрия 2.1 г-моль/л, температуре 55—60° и степени карбонизации 110—115% осаждается гелеобразный продукт—полимер ортокремниевой кислоты, водороды гидроксильных групп которого замещаются нонами Na в процессе осаждения по реакции (1). Полимер натриевого силикагеля отделяется от раствора Na₂CO₃ фильтрацией. Получается влажный осадок, в маточнике которого содержится Na₂CO₃.

В табл. 2 приведены результаты опытов.

Таблица 2

Число после- довательных промывок	Состав	осадка,	Влага, •/•		ация соды нике, ⁰ / ₈	Состав в пересчете вещест	на сухое
VIIICAO UNA HORALEADH INDOMESOK INA HORALEADH INDOMESOK INA HORALEADH IN	/•	прантыло	расчетная	Na ₃ CO ₃	Na+		
исх.	11,20	0,810	45,5	19,75	19,75	20,50	1,48
1	5,75	0,825	44,5	11,42	6,16	10,70	1,47
2	3,42	0,830	44,0	7,21	1,93	6,10	1,47
3	3,07	0,855	42,0	6,80	0,61	5,30	1,49
4	2,95	.0.835	40,5	6,80	0,19	4.95	1,42
5	2,82	0,840	41,0	6,45	0,06	4,79	1,43
6	2,70	0,860	41,5	6,10	0,019	4,61	1.46

Состав влажного осадка определяется ацидиметрическим спосо-бом [4].

В табл. 2 не приведено стопроцентное содержание SiO_2 в осадке '($Na_2CO_3 + Na^+ + B$ лага).

Для определения Na⁺ и Na₂CO₃ во влажном осадке навеска в количестве 1,5—
2,5 г перемешивалась с 50 мл дистиллированной воды. Суспензия нагревалась до 80°, а после отстаивания титровалась 0,1 и соляной кислотой в присутствии фенолфталенна и метилового оранжевого.

Как видно из табл. 2, концентрация соды в маточнике осадка не соответствует расчетной концентрации соды при последовательной промывке, что указывает на наличие адсорбции Na₂CO₃ на поверхности осадка (≡Si—ONa) [5].

Ионообменная емкость силикагеля по Na⁺ постоянная (рис. 2) и составляет $\sim 1,45^{\circ}/_{o}$, что эквивалентно $0,63\cdot 10^{-3}$ г-экв Na/г·SiO₂.

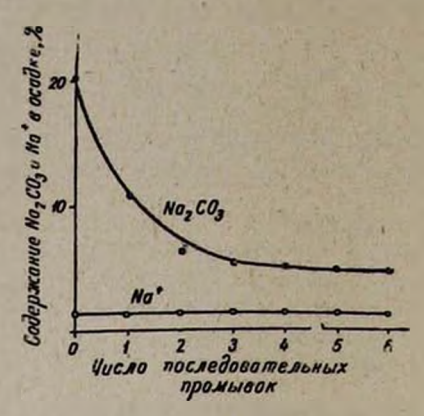


Рис. 2. Зависимость содержания Na₂CO₃ и Na⁺ в осадке от числа последовательных промывок.

Уменьшение концентрации соды при последовательной промывке рассчитывается по формуле [6]

$$C_1 = \frac{C_0}{1+d} \tag{6}$$

где C_0 — концентрация соды в маточнике на предыдущей стадин, $^0/_0$; C_1 — концентрация соды в маточнике после фильтрации, $^0/_0$; d — отношение количества воды, подаваемой на взмучивание, к количеству воды в осадке, d=2,2.

ՍԻՆԹԵՏԻԿ ՍԻԼԻԿԱՀՈՂԻ ԻՈՆԱՓՈԽԱՆԱԿՄԱՆ ՈՒՆԱԿՈՒԹՅՈՒՆԸ ԸՍՏ Na, K ԻՈՆՆԵՐԻ

Կ. Ս. ԱԲԱԶՅԱՆ, Շ. Ս. ԽԱՉԿԱՎԱՆՔՅԱՆ, Ն. Ռ. ՎԱՍԻԼՅԱՆ և Ա. Ե. ՇԱՄԱՄՅԱՆ

Ուսումնասիրված է հիմնային միջավայրում ամորֆ սիլիկահողի (տեսակարար մակերեսը 428 մ²/գ ըստ կրիպտոնի) իոնափոխանակման ունակու-Քյունը ըստ Na և K կատիոնների։

 $g_{nr,g}$ է արված, որ սիլիկահողի հիդրօքսիլ խմբերի ջրածնի տեղակալումը Na, K կատիոններով Na_2CO_3 , կամ K_2CO_3 աղերի լուծույ $g_{nr,g}$ քերում է $\frac{CO_3}{R_0O}$ մոլյար հարաբերու $g_{nr,g}$ փոփոխու $g_{nr,g}$

Ցույց է տրված նաև, որ իննը բյուրեղաջուր պարունակող նատրիումի մենասիլիկատի լուծույնի կարբոնիզացումից ստացված սիլիկահողի իոնափոխանակման ունակունյունը ըստ Na իոնի կազմում է 0,63 4 իոն Na գ․ՏiO₂

ION EXCHANGE CAPACITY OF SYNTHETIC SILICA GEL ACCORDING TO SODIUM AND POTASSIUM IONS

K. S. ABAJIAN, Sh. S. KHACHKAVANKTSIAN, N. R. VASSILIAN and A. Ye. SHAMAMIAN

The ion exchange capacities of sodium and potassium cations in an alkaline medium on amorphons silica gel with a specific surface of 428 m^2/g , with respect to krypton have been studied. It has been shown that hydrogen substitution of hydroxyl groups in silica gel by sodium and potassium cations from sodium and potassium carbonates brings to a change in the CO_2/R_2O molar ratio. The ion exchange capacity of silica gel obtained by carbonization from sodium metasilicate solutions containing nine molecular of water by sodium ions was found to be 0.630 mg $Na^+/g \cdot SiO_2$.

ЛИТЕРАТУРА

- 1. М. Г. Манвелян, К. С. Абаджян, В. О. Микаелян, А. Б. Налбандян, Арм. хим. ж., 24, 1069 (1971).
- 2. Э. Б. Оганесян, К. С. Абаджян, К. Б. Оганесян, Р. А. Абрамян, Ш. С. Хачкаванкцян, Арм. хим. ж., 29, 1019 (1976).
- 3. М. Г. Манвелян. К. С. Абаджян, А. М. Оганян, Ш. С. Хачкаванкцян, Авт. свид. № 381603, 1973.
- 4. Е. В. Алексеевский, Р. К. Гольц, А. П. Мусакин, Количественный анализ, Л., 1955.
- 5. М. Г. Манвелян, Э. Б. Оганесян, К. Б. Оганесян, М. С. Гаспарян, Арм. хнм. ж., 27, 458 (1974).
- 6. В. А. Жужиков, Фильтрование, Изд. «Химия», М., 1971.

XXXI, № 11, 1978

ОРГАНИЧЕСКАЯ ХИМИЯ

УДК 541.63+547.435+543.42

ИЗУЧЕНИЕ ОТНОСИТЕЛЬНОЙ КОНФИГУРАЦИИ ДИАСТЕРЕОИЗОМЕРНЫХ 3-МЕТИЛ-4N-ДИАЛКИЛ-АМИНО-2-БУТАНОЛОВ

А. П. ЕНГОЯН. Н . Л. ЛУКЬЯНЕНКО, Л. В. ХАЖАКЯН, С. А. МІНАСЯН, В. М. НАЗАРЯН и Э. А. МАРКАРЯН

> Институт тонкой органической химии им. А. Л. Миджояна АН Армянской ССР, Ереван

> > Поступило 22 II 1978

Изучена относительная конфигурация ряда аминоспиртов. На основании данных ПМР и ИК спектроскопии показано, что эритро-форма имеет исключительно *транс*-конфигурацию, а трео-форма находится в виде смеси двух *гош*-изомеров тВ и тС со значительным преобладанием тВ.

Рис. 2, библ. ссылок 2.

Выявление связи между физиологической активностью органических соединений и геометрией их молекул является одним из актуальных вопросов биологии и медицины. В связи с этим весьма важным представляется изучение строения как новых биологически активных соединений, так и существующих лекарственных препаратов [1], молекулы которых имеют два асимметричных атома углерода и, следовательно, могут находиться в различных пространственных формах. Для выявления основных факторов, влияющих на пространственное строение молекул таких соединений, нами предпринято изучение относительной конфигурации диастереоизомерных 3-метил-4N-диалкиламино-2-бутанолов (I и II), являющихся исходными продуктами в синтезе соответствующих физиологически активных аминоэфиров. Ранее был описан направленный синтез этих аминоспиртов и их хроматографическое разделение на днастереоизомеры [2].

CH₃CH CHCH₂N(R)₂ | | OH CH₃

I. R=CH₃ II. R=C₂H₅

В спектре ПМР выделенного при хроматографировании первого изомера соединения I (Ia) метиновый протон 2H проявляется при 3,4 м. д. в виде мультиплета, обусловленного взаимодействием с 1-метильной

группой и протоном 3H. Расшифровка этого мультиплета с применением метода двойного резонанса (облучение проводилось на частоте 1СН₃ группы) приводит к следующим значениям констант спин-спинового

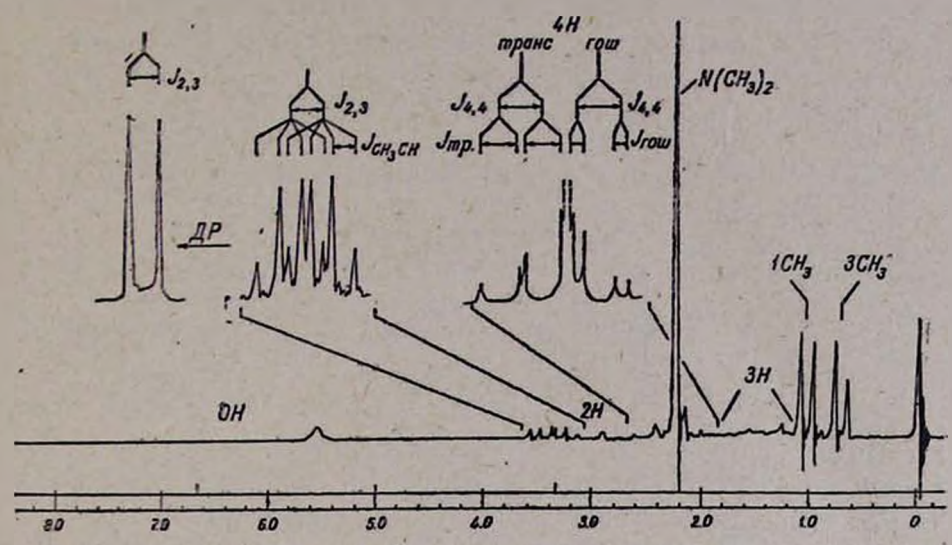


Рис. 1. Спектр ПМР соединения Іа, снятый в ССІ4.

взаимодействия (КССВ): $J_{1,2}=6.0$ гц и $J_{2,3}=8.2$ гц (рис. 1). Величина $J_{2,3}=8.2$ гц указывает на *транс*-расположение этих протонов, что возможно только при реализации структур эА и тА.

Резонансные поглощения протонов 4-метиловой группы наблюдаются в области 2.1-2.4 м. д., причем характер расшепления этих сигналов соответствует АВ-части спиновой системы АВХ (рис. 1). Из анализа этой системы следует, что геминальная КССВ $J_{4,4}=12.2$ гц, а вицинальные КССВ с протоном 3H равны 10.6 и 3.4 гц. что согласуется соответственно с транс- и гош-расположением протонов 4-метиленовой группы по отношению к 3H.

Наблюдаемая магнитная неэквивалентность протонов 4-СН₂ группы. возможна лишь в случае заторможенного вращения вокруг связи.

 C_3 — C_4 . Причиной этого может быть стабилизация одного из возможных поворотных изомеров за счет образования внутримолекулярной водородной связи.

Действительно, в ИК спектрах соєдинения Іа наблюдается одна полоса поглощения группы ОН при 3220 см⁻¹, положение которой не изменяется при разбавлении от 0.6 до 0.025 молярной концентрации. Приведенные данные свидетельствуют о том, что в молекулах этого соединения имеет место образование внутримолекулярной водородной связи типа ОН····N. Такая связь может осуществиться лишь в молекулах эритро-А изомера (эА) с образованием шестичленного цикла.

Аналогичные спектральные измерения были проведены также и в случае соединения IIa. Параметры ПМР и ИК спектров IIa практически не отличаются от соответствующих величин в спектрах соединения Іа. Единственное затруднение в интерпретации спектров ПМР заключалось в наложении сигналов метиленовых протонов N-этильных групп и одного из протонов 4-СН2 группы, имеющего гош-ориентацию по отношению к ЗН. При этом протоны СН2 группы N-этилов проявляли магнитную неэквивалентность, что более осложняло наблюдаемую картину. Эти затруднения удалось преодолеть при применении сдвигающего реактива Eu (ДРМ) 3. В растворы соединений Ia и IIa в одинаковом соотношении с аминоспиртами добавлялся Ец (ДРМ) з и далее проводилось сравнение спектров ПМР соединений Ia и IIa. Поскольку в присутствии сдвигающего реактива неэквивалентность протонов 4-метиленовой группы и СНо групп N-этилов сохраняется, можно предполагать, что в процессе комплексообразования внутримолекулярная водородная связь не разрывается, и молекулы аминоспиртов Ia и IIa сохраняют свои конфигурации. Полученные спектральные параметры Іа и ІІа практически совпадают, что указывает на одинаковое строение этих соединений.

Таким образом, из приведенных данных можно заключить, что IIа так же, как и Iа находится в форме эритро-А (схема). Стабильность этой формы по сравнению с эВ и эС обусловлена как наименьшим числом гош-взаимодействий заместителей при С2, С3 и С4 углеродных атомах, так и образованием прочной внутримолекулярной водородной связи.

В спектрах ПМР выделенных при хроматографировании вторых компонентов (Іб и ІІб), которые, очевидно, являются трео-формами аминоспиртов, мультиплет протона 2H наблюдается при 3,67 м. д. (рис. 2). При проведении двойного резонанса с облучением на частоте 1-метильной группы этот мультиплет превращается в два дублета с КССВ 3,3 и 3,8 гц. Такая картина указывает на наличие в растворе смеси двух кон-

формеров, в молскулах которых протоны 2Н и 3Н имеют гош-расположение по отношению друг к другу.

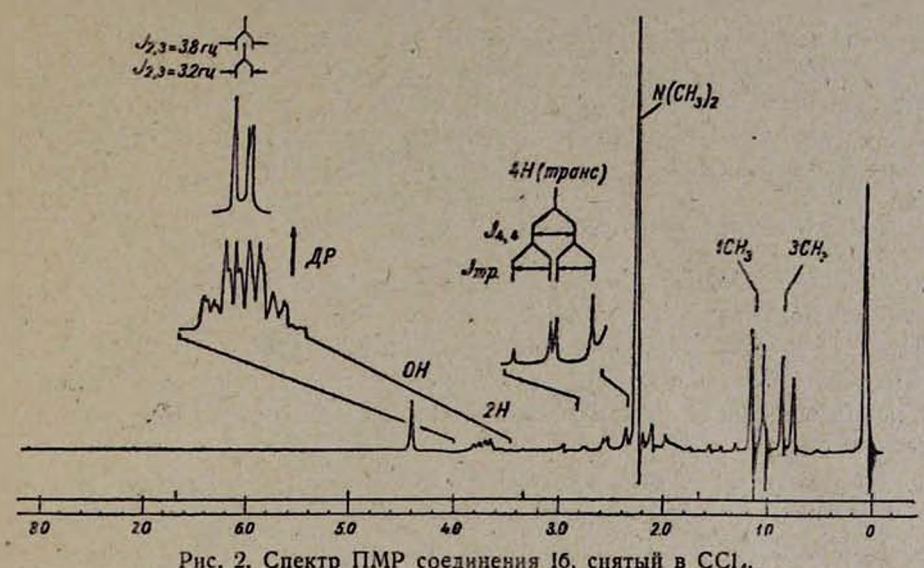


Рис. 2. Спектр ПМР соединения 16, снятый в ССІ4.

В ПМР спектрах соединений Іб и ІІб один из протонов 4-метиленовой группы проявляется при 2,4 м. д. в виде мультиплета, расшифровка которого, кроме геминальной константы $J_{\rm ren} = 12,4$ ги, дает значение вицинальной КССВ Јз.4 = 10,6 гц (рис. 3), указывающей на транс-ориентацию этого протона по отношению к ЗН. Сигнал другого протона 4-метиленовой группы, хотя и не поддаєтся расшифровке из-за его наложения с сигналами ЗН и магнитно неэквивалентных протонов метиленовой группы N-этила, однако должен иметь характерные для гош-протона КССВ. Вместе с тем, поскольку интегральная интенсивность сигнала транс-3Н протона несколько меньше единицы, можно допустить наличие небольшого количества такого изомера, в котором оба протона 4-метиленовой группы расположены гош по отношению к 3Н.

В ИК спектрах соединений 16 и 116 наблюдаются одна малоинтенсивная полоса поглощения свободной группы ОН при 3620 и интенсивная полоса при 3270—3300 с плечом при 3400—3420 см-1, относящаяся к связанным группам ОН. При разбавлении полоса свободной ОН груплы сохраняется, а интенсивность плеча при 3400—3420 см-1 понижается. Эти данные говорят о том, что в молекулах аминоспиртов 16 и 116 имеет место образование прочных внутримолекулярных водородных связей, а в небольшой части молекул этих соединений такая связь отсутствует.

На основании приведенных данных можно сказать, что трео-форма исследуемых аминоспиртов является смесью двух гош-изомеров (тВ и тС), стабилизированных внутримолекулярной водородной (рис. 2), причем в тВ протоны 4-метыленовой группы расположены транс и гош по отношению к ЗН, а в тС оба этих протона имеют гош-ориентацию. Поскольку в тВ число гош-взаимодействий заместителей связи C_3 — C_4 меньше, чем в тС, форма трео-В является преобладающей. Уменьшение концентрации приводит к переходу формы тС в тВ.

Как уже указывалось, по данным ИК спектров, в растворах соединений 16 и 116 присутствует небольшое количество трес-формы, в молекулах которой внутримолекулярная водородная связь отсутствует. Однако поскольку количество этой формы крайне мало, определение ее конфигурации с помощью спектроскопии ПМР оказалось невозможным.

Экспериментальная часть

Спектры ПМР сняты на спектрометре Т-60 фирмы «Varian», при этом использовались 0,5 M концентрации образцов в растворе CCl_4 или $CDCl_3$. При добавках сдвигающего реактива исследуемое вещество и $Eu(\mathcal{L}PM)_3$ брались в соотношении 10:1,5:1 и 3:1. В качестве стандарта использовался тетраметилсилан. Точность определения КССВ составляет $\pm 0,2$ $\epsilon \mu$.

ИК спектры снимались на спектрофотометре UR-20 в области $2800-3700\ cm^{-1}$ с призмой из LiF. Концентрации исследуемых образцов составляли 0.6; 0,3; 0,15; 0,075 и 0,025 М.

ԴԻԱՍՏԵՐԵՈՒԶՈՄԵՐ 3_ՄԵԹԻԼ_4N_ԴԻԱԼԿԻԼԱՄԻՆՈ_2_ԲՈՒՏԱՆՈԼՆԵՐԻ ՀԱՐԱԲԵՐԱԿԱՆ ԿՈՆՖԻԳՈՒՐԱՑԻԱՅԻ ՈՒՍՈՒՄՆԱՍԻՐՈՒԹՅՈՒՆԸ

Ա. Ֆ. ԵՆԳՈՑԱՆ, Ն. Լ. ԼՈՒԿՅԱՆԵՆԿՈ, Լ. Վ. ԽԱԺԱԿՅԱՆ, Մ. Ա. ՄԻՆԱՍՅԱՆ, Վ. Մ. ՆԱԶԱՐՅԱՆ և Է. Ա. ՄԱՐԳԱՐՅԱՆ

Ուսումնասիրված է մի շարք ամինասպիրտների հարաբերական կոնֆիգուրացիան, ԿՄՌ և ԻԿ սպեկտրոսկոպիայի տվյալների հիման վրա ցույց է տրված, որ էրիտրո-ձևը ունի բացառապես առանս-կոնֆիգուրացիա, իսկ տրեո-ձևը բաղկացած է երկու գոչ-իզոմերների խառնուրդից (տB և տC) տB-ի զգալի առավելությամբ։

INVESTIGATION OF THE RELATIVE CONFIGURATIONS OF 3-METHYL-4N-DIALKYLAMINO-2-BUTANOLS

A. P. YENGOYAN, N. L. LOUKIANENKO, L. V. KHAZHAKIAN, S. A. MINASSIAN, V. M. NAZARIAN and E. A. MARKARIAN

The relative configurations of some aminoalcohols have been studied. According to PMR and IR data the erythro-form was shown to have exceptionally a *trans*-configuration while the threo-form represented a mixture of the two gauche-isomers (tB and tC) with tB predominating significantly.

ЛИТЕРАТУРА

1. М. Д. Машковский, Лекарственные средства, том I, М., 1967.

^{.2.} Э. А. Маркарян, С. А. Минасян, В. М. Назирян, С. В. Восканян, Арм. XIIM. Ж., 31, 847 (1978).

<u> 2 Ц 3 Ч Ц 4 Ц 5 Р Г Р Ц 4 Ц 5 Ц Г И Ц 4 Р Р</u> АРМЯНСКИЙ ХИМИЧЕСКИЙ ЖУРНАЛ

XXXI, № 11, 1978

УДК 542.921+547.33.34+547.435

ИССЛЕДОВАНИЯ В ОБЛАСТИ АМИНОВ И АММОНИЕВЫХ СОЕДИНЕНИЙ

СХІ. ПОВЕДЕНИЕ АММОНИЕВЫХ СОЛЕЙ, СОДЕРЖАЩИХ ЗАМЕЩЕННУЮ КАРБАЛКОКСИМЕТИЛЬНУЮ ГРУППУ, В РЕАКЦИЯХ СТИВЕНСОВСКОЙ ПЕРЕГРУППИРОВКИ И В-ОТЩЕПЛЕНИЯ

С. Г. КОЧАРЯН, В. В. ГРИГОРЯН и А. Т. БАБАЯН

Институт органической химпи АН Армянской ССР, Ереван

Поступило 5 VII 1978

Показано, что соли аммония, содержащие наряду с в т-непредельной группой способную к в-отщеплению 1-карбалкокси-3-бутенильную группу, под действием алкоголята натрия в эфирной среде в основном подвергаются стивенсовской перегруппировке с образованием аминоэфиров с разветвленной структурой. На примере соли I установлено, что в спиртовой среде в основном имеет место реакция отщепления.

Табл. 1, библ. ссылок 3.

Согласно литературным данным, аммониевые соли, содержащие группы, способные к β-отщеплению, под действием щелочных агентов в основном подвергаются гофмановскому расщеплению с образованием олефина и третичного амина. Реакция направляется в сторону перегруппировки лишь в том случае, когда β-отщепление затруднено [1].

Настоящая работа посвящена изучению поведения аммониевых солей I—VI в условиях стивенсовской перегруппировки (табл.).

Предполагалось, что менее полярные и апротонные растворители должны способствовать направлению а. Поэтому взаимодействие солей I— VI с алкоголятом было проведено в эфире, а в случае соли I для сравнения также и в спирте.

Армянский химический журнал, XXXI, 11-3

Исходная соль, №	ГІродукты 1 (СН ₃)₃N—Са	CH3CH=CH3 CH3CH=CH3	н	%	Т. кип., °С/.и <i>м</i>	11 ^D 20		лдено, ^е ,			слено, '		ИК спектр, см ⁻¹
Исхо	x	Y	№	Выход,	*		С	н	N	С	Н	N	
I	Н	П	la	74**	83—85/3	1,4660	66,73	10,02	7,32	66,96	9,72	7,10	920, 1645, 1735, 3085
II	Н	CH ₃	Ila	70	73—74/4	1,4688	67,89	9,86	6,54	68,19	10,03	6,62	920, 1645, 1730, 3090
111	CH₃	Н	Illa	62	88—89/3	1,4740	68,28	10,26	6,75	68,19	10,03	6,62	920, 1650, 1735, 3090
IV	C _e H ₅	Н	ĮVa	59	132—135/1	1,5320	74,99	8,99	5,33	74,68	8,49	5,12	925, 1005, 1650, 1735, 3090
V*	(H CH _a	Va*	45	145—146/3	1,4850	71,03	9,89	5,72	70,83	9,78	5,90	920, 1645, 1735, 3085
VI	(CH ₃) ₂ NC	C=C=CH ₂ CH ₂ CH=CH ₂ CCH ₃	Vla	61	7981/7	1,4910	68,77	8,93	6,49	68,85	9,16	6,69	920, 1645, 1735, 1970, 3090

^{*} У азота пентаметиленовая группа.
** Выход в спиртовой среде 16%.

Как видно из данных таблицы, под действием эфирной суспензии метилата натрия главным направлением реакции является стивенсовская перегруппировка (путь а), приводящая к образованию труднодоступных аминоэфиров с разветвленной структурой с хорошими выходами. Продуктов расщепления получается лишь 8—16%.

Из таблицы видно также, что на выход продукта перегруппировки заметное влияние оказываєт природа алкильных групп у азота (соли I и V).

Следует отметить, что при перегонке аминоэфир IVa частично подвергается термической изомеризации с образованием соединения IVб. Выделить IVa в практически чистом виде удается при очень быстрой перегонке небольшими порциями на предварительно нагретой масляной бане. Для получения чистого IVб продукт перегруппировки IVa предварительно нагревается 2 часа при 175—180°, затем перегоняется.

$$(CH_3)_2NC-CH_1CH=CH_2$$

$$(CH_3)_2NC-CH_1(C_6H_5)CH=CH_2$$

$$COOCH_3$$

$$(CH_3)_2NC-CH_2CH=CH_2$$

$$COOCH_3$$

$$COOCH_3$$

$$IVa$$

$$IV6$$

Перегруппировка соли VI, содержащей в качестве мигрирующей 2бутинильную группу, сопровождается изомеризацией этой группы с образованием аминоэфира VIa с алленовой группировкой.

$$(CH_3)_3N \xrightarrow{C} CH_2C \equiv CCH_3$$

$$CH_3CH = CH_3$$

$$CHCH_2CH = CH_3$$

$$CH_3)_3NC - CH_3CH = CH_3$$

$$COOCH_3$$

$$VI$$

$$VI$$

$$VIa$$

Строение продуктов перегруппировки (Ia—VIa) доказано методами ИК и ПМР спектроскопии, а чистота проверена ГЖХ.

Как и следовало ожидать, при переходе от эфирной среды к спиртовой выход продуктов расщепления резко увеличивается, а перегруппировки падает. Так, на примере соли І показано, что при проведении реакции в метаноле (28—30°) получается всего лишь 16% продукта стивенсовской перегруппировки. Наряду с этим получается сложная смесь неаминных продуктов расщепления—метиловый эфир 2,4-пентадиеновой кислоты VII и продукты присоединения метилового спирта к последнему, которым, согласно данным ГЖХ, ПМР, ИКС и элементного анализа, приписываются структуры VIII—X.

$$I \xrightarrow{\overline{OCH_3}} CH_2 = CHCH = CHC \xrightarrow{O} + Ia$$

$$VII \qquad (15^{\circ}/_{\circ})$$

$$CH_3OCH_2CH = CHCH_2C \xrightarrow{O} OCH_3$$

$$VIII$$

$$CH_3OCH_2CH = CHCOOCH_3 \xrightarrow{CH_3OH} CH_3OCH_2CHCH_2COOCH_3$$

$$IX \qquad X \qquad OCH_3$$

В ИК спектре смеси соединений VIII—Х имеются ярко выраженное поглощение в области 1660 и слабо выраженное в области 1635 c жарактерные двойным связям соединений VIII и IX, соответственно. Эти данные указывают на то, что содержание эфира IX в смеси невелико.

В спектре ПМР смеси вышеуказанных соединений (VIII—X) интегральная интенсивность сигналов от протонов у двойной связи получается гораздо меньше, чем это соответствует ненасыщенным эфирам VIII и IX.

Исходя из данных ПМР спектроскопии и элементного анализа можно сделать вывод, что в смеси продуктов присоединения основную часть составляет продукт X. Последний может образоваться как непосредственно из продукта 1,2-присоединения (IX), так и из продукта 1,4-присоединения (VIII) через IX. Не исключается, что оба продукта IX и X образуются из VIII, т. к. эфиры с β,γ-кратной связью под действием основных агентов легко изомеризуются в α,β-ненасыщенные аналоги [2].

Строение соединений VIII—X подтверждено также результатами расщепления иодистого триметил (1-карбметокси)-3-бутениламмония (XI) под действием метнлата натрия. При этом получаются те же неаминные продукты расщепления, что и в случае соли I.

Показано, что VIII—X образуются* и при взаимодействии метилового эфира 2,4-пентадиеновой кислоты (VII) с метилатом патрия в условиях перегруппировки.

Экспериментальная часть

Для снятия спектров использовались ИК спектрометры UR-20 и UR-10, ПМР спектрометр «Perkin-Elmer R-12В» (ПМР, 60 мгц). Химические сдвиги приведены в миллионных долях от внешнего эталона ТМС. ГЖХ соединений проводилась на приборе «Хром-31» с катаромет-

^{*} Показано качественно по ГЖХ.

ром (колонка-—апиезон 5%, твин 10% на целите, скорость Не 60— 80 ма/мин, l=1,2 м, d=6 мм).

Общее описание. К 0,03—0,05 моля соли в 30—40 мл эфира добавлялось двойное мольное количество метилата натрия*. Реакционная колба время от времени встряхивалась и охлаждалась водой. После окончания экзотермической реакции смесь нагревалась 15—20 мин. при 30—35°, затем добавлялась вода. Верхний эфирный слой отделялся, нижний экстрагировался эфиром. Соединенные эфирные вытяжки высушивались над сульфатом магния. Перегонкой выделялись продукты реакции (табл.).

Продукты расщепления—диалкилаллил- и диметил (2-бутинил) амины, идентифицировались по ГЖХ сравнением с известными образцами (8—16%). Образование соответствующих неаминных продуктов установлено на примере солей I, V и VI, приводящих к метиловому эфиру 2,4-пентадиеновой кислоты (3—5% в смеси по ГЖХ).

Перегруппировка бромистого диметилаллил (1-карбметокси-4-фенил-3-бутенил) аммония (IV). а). Опыт проведен аналогично общему описанию. Продукт перегруппировки, полученный из 3 г (0,008 моля) соли IV и 0,016 моля метилата натрия, быстро перегонялся на предварительно нагретой масляной бане ($I60^\circ$). Получено 1,3 г (IV9, 3-фенил-4-диметиламино-4-карбметокси-1,6-гептадиена (IV1, т. кнп. IV1, 132—IV1, IV2,32 с IV3, IV3, IV3, IV4, IV4, IV5, IV5, IV6, IV6, IV7, IV7, IV8, IV9, IV

б) Опыт проведен аналогично общему описанию с той лишь разницей, что после оттонки эфира остаток нагревался 2 часа при 175— 180°, затем перегонялся. Из 15 г (0,042 моля) соли IV и 0,085 моля метилата натрия получено 5,4 г (47°/0) 1-фенил-4-диметаламино-4-карбметокси-1,6-гептадиена (IVб), т. кип. 153—155°/1 мм, n_D^{20} 1,5370. Найдено °/0: С 75,02; Н 8,82; N 5,41. С₂₇H₂₃NO₂. Вычислено °/0: С 74,68; Н 8,49; N 5,12. ИК спектр, ν , c_M^{-1} : 925, 1005, 1600, 1640, 1650, 1735, 3040, 3070, 3090. Спектр ПМР, δ , м. д.: ~2,2—3,8 м (4H, CH₂), 2,50 с [N(CH₃)₂], 7,71 с (ОСН₃), ~4,8—5,5 м (СН₂=); 5,4—6,5 м (3H, CH= и CH=CH), ~7,2—7,5 м (С₆H₃).

Взаимодействие бромистого диметилаллил (1-карбметокси-3-бутенил) аммония (1) с метилатом натрия в метиловом спирте. К 10,6 г (0,038 моля) соли I добавлялось 0,08 моля метилата натрия в 15 мл метанола. После окончания экзотермической реакции смесь в течение часа оставлялась при комнатной температуре, затем добавлялись эфир и вода по 100 и 10 мл, соответственно. Эфирный экстракт подкислялся, отделялся верхний слой и высушивался над сульфатом магния. Перегонкой из колбы с дефлегматором (20 см) получено: 1) 1,5 г (35,2%) метилового эфира 2,4-пентадиеновой кислоты (VII), т. кип. 76—77°/64 мм, про 1,4820. Найдено %: С 64,42; Н 7,34. С6 Н8О2. Вычислено %: С 64,28;

Для начала реакции иногда добавляются 2—3 капли метанола.

Н 7,14. ИК спектр, v, cм $^{-1}$: 1603, 1645, 1730 [3]. Спектр ПМР, δ , м. д.: 3,23c(3H,OCH₃), 4,9—7,0 м (5H, CH=CH—CH=CH₂). 2) 0,9 s смеси метиловых эфиров 5-метокси-3-пентеновой (VIII), 5-метокси-2-пентеновой (IX) и 3,5-диметоксипентановой (X) кислот, перегнавшейся при 90—93°/14 mм. Найдено %: С 56,24; Н 8,13. С $_7$ Н $_12$ О $_3$. Вычислено %: С 58,33; Н 8,33 (для VIII и IX). С $_8$ Н $_{16}$ О $_4$. Вычислено %: С 54,54; Н 9,09 (для X). ИК спектр, v, cм $^{-1}$: 1660 (дизамещенная двойная связь), 1635 (сопр. дизамещенная двойная связь), 1725—1735 (сложноэфирная группировка). В спектре ПМР интегральная интенсивность протонов у двойной связи δ сн=сн 5,5—7,0 м. д.) в соединениях VIII и IX при сравнении с протонами метоксигруппы (в карбметоксиметильной группировке) соответствует 0,7 протона вместо двух.

Реакционный остаток обрабатывался ненасыщенным раствором гидроокиси калия (0—5°) и экстрагировался эфиром. Перегонкой полу-

чено 1,2 г (15%) Іа, т. кип. 88—90°/5 мм, n_D^{20} 1,4662 (табл.).

В эфирном отгоне титрованием обнаружено 0,0224 моля (58,9%) диметилаллиламина (идентифицирован по ГЖХ сравнением с известным образцом).

Взаимодействие иодистого триметил (1-карбметокси-3-бутенил) амжония (XI) с метилатом натрия. Смесь 9 г (0,03 моля) соли XI и 0,045 моля полутвердого* метилата натрия в 20 мл эфира нагревалась в течение 3 час. при 33—35° в колбе с обратным холодильником, соединенным с поглотителем, содержащим титрованный раствор соляной кислоты. По окончании нагревания к смеси добавлялось 5 мл воды. Смесь хорошо встряхивалась, эфирный слой отделялся, высушивался над сульфатом магния и перегонялся. Получено 1,8 г (53%) метилового эфира 2,4-пентадиеновой кислоты (VII), т. кип. 76—77°/65 мм, по 1,4810 и 0,8 г смеси эфиров VIII—X, перегнавшейся при 88—92°/14 мм. Найдено %: С 56,64; Н 8,38. С7H₁₂O₃. Вычислено %: С 58,33; Н 8,33 (для VIII и IX). Вычислено %: С 54,54; Н 9,09 (для X). ИК спектр, v; см-1: 1600, 1635, 1725—1735.

Соединения VII—X по ГЖХ, идентифицировались сравнением с образцами, полученными из предыдущего опыта.

Согласно данным ГЖХ до перегонки процентное соотношение продуктов VII— X^* в смеси составляет 75 : 7 : 18, соответственно.

В результате реакции по титрации установлено образование 0,0227 моля (75,6%) триметиламина, т. пл. пикрата 215°.

Няже приводятся спектры ПМР (δ , м. д.) соединений Ia, IIIa, VIa (табл.). Ia: 1,95 с [N(CH₃)₂], ~2,0—2,3 м (4H, CH₂), 3,03 с (ОСН₃), ~4,5—5,0 м (4H, CH₂=), ~5,1—5,9 м (2H, CH=). IIIa: 0,93 и 1,03 два д (СН₃С, $J \simeq 2$ Hz), 2,22 с [N(CH₃)₂], ~2,75 м (CH), 3,54 и 3,60 два с (ОСН₃), ~4,8 м (4H, CH₂=), 5,8 м (2H, CH=), VIa: 5,1—7,7 м (CH₂C=), 2,1—2,6 м (CH₂), 2,26 с [N(CH₃)₂], 3,50 с (ОСН₃), ~4,5—4,7 м (CH₂=C=), ~4,7—5,2 м (CH₂=), 5,5—5,2 м (CH=).

[•] Метанол отогнан не полностью.

^{**} На хроматограмме VIII и IX не разделяются.

ՀԵՏԱԶՈՏՈՒԹՅՈՒՆՆԵՐ ԱՄԻՆՆԵՐԻ ԵՎ ԱՄՈՆԻՈՒՄԱՅԻՆ ՄԻԱՑՈՒԹՅՈՒՆՆԵՐԻ ԲՆԱԳԱՎԱՌՈՒՄ

CXL. ՏԵՂԱԿԱԼՎԱԾ ԿԱՐԲԱԼԿՕՔՍԻՄԵԹԻԼ ԽՈՒՄԲ ՊԱՐՈՒՆԱԿՈՂ ԱՄՈՆԻՈՒՄԱՅԻՆ ԱՂԵՐԻ ՎԱՐՔԸ ՍՏԻՎԵՆՍՅԱՆ ՎԵՐԱԽՄԲԱՎՈՐՄԱՆ ԵՎ 3-ՊՈԿՄԱՆ ՌԵԱԿՏԻԱՆԵՐՈՒՄ

U. S. PAQUESUS, J. J. SEPSAFSUS L U. P. PUPUSUS

Ցույց է տրվնլ, որ β,γ-չ⁄ագեցած խմբի հետ մեկտեղ β-պոկման ընդունակ 1-կարբալօքսի-3-բուտենիլ խումբ պարունակող ամոնիումային աղերը նատրիումի մեթիլատի աղդեցությամբ եթերային միջավայրում !հիմնականում ենթարկվում են ստիվենսյան վերախմբավորման՝ առաջացնելով ճյուղավորված կառուցվածքով ամինոեթերներ։ 1 աղի օրինակի վրա հաստատվել է, որ սպիրտային միջավայրում հիմնականում տեղի ունի պոկման ռեակցիա։

INVESTIGATIONS IN THE FIELD OF AMINES AND AMMONIUN COMPOUNDS

CXL. BEHAVIOUR OF AMMONIUM SALTS CONTAINING SUBSTITUTED CARBALKOXYMETHYL GROUPS IN THE STEVENS REARRANGEMENT AND \$-ELIMINATION REACTIONS

S. T. KOCHARIAN, V. V. GRIGORIAN and A. T. BABAYAN

It has been shown that ammonium salts, containing a β,γ -unsaturated group together with a 1-carbalkoxy-3-butenyl group capable of β -elimination, undergo mainly a Stevens rearrangement with the formation of branched aminoethers under the action of etherial sodium methoxide. It has been established that primarily an elimination reaction occurs in an alcoholic medium.

ЛИТЕРАТУРА

- 1. G. C. Jones, Ch. R. Hauser, J. Org. Chem., 27, 806 (1962).
- 2. Химия алкенов, под ред. С. Патай, ИЛ, Л., 1969, стр. 234.
- 3. A. Adlerova, Coli. Czech., 25, 226 (1869).

Z Ц З Ч Ц Ч Ц Ъ Р Г Р Ц Ч Ц Ъ Ц Г Г Ц Ч Р Р АРМЯНСКИЙ ХИМИЧЕСКИЙ ЖУРНАЛ

XXXI, № 11, 1978

УДК 547.413.2+547.33.+547.315.1

РЕАКЦИИ НЕПРЕДЕЛЬНЫХ СОЕДИНЕНИИ

LII. НЕКОТОРЫЕ ОСОБЕННОСТИ РЕАКЦИИ ЗАМЕЩЕНИЯ ВИНИЛПРОПАРГИЛЬНЫХ СОЕДИНЕНИЯ

Г. Г. ХУДОЯН, М. Г. ВОСКАНЯН и Ш. О. БАДАНЯН Институт органической химии АН Армянской ССР, Ереван Поступило 16 II 1978

Реакционная способность бромвинилпропаргильных хлоридов VIII сильно падает под влиянием электроположительного метильного заместителя при винильной группировке несмотря на наличие в молекуле противоположие направленного мезомерного эффекта брома.

Табл. 2, библ. ссылок 13.

Всестороннее изучение нуклеофильного замещения галогена аминами в винилацетиленовых галогенидах дало возможность предсказать направление замещения в зависимости от влияния различных заместителей как у α-углеродного атома, так и у не связанной непосредственно с реакционным центром винильной группировки. Так, электроположительные метильные группы в зависимости от их местонахождения и количества либо способствуют (при а-углероде и конечном углеродном атоме винильной группы), либо препятствуют (при двух заместителях у конечного углеродного атома или обоих углеродов винильной группы) протеканию аномального замещения. Более того, в последних случаях несмотря на большое расстояние между заместителями и реакционным центром предотвращается и нормальное замещение. Аналогично ведет себя и одна метильная группа при α-углеродном атоме винильной группировки, между тем отрицательный галоген в этом положении не только облегчает замещение, но и направляет целиком реакцию в сторону кумуленообразования. Наблюдаемые явления были объяснены внутримолекулярным полярным влиянием заместителей, передающимся посредством индукции или коньюгации вдоль ненасыщенной цепи [1-7].

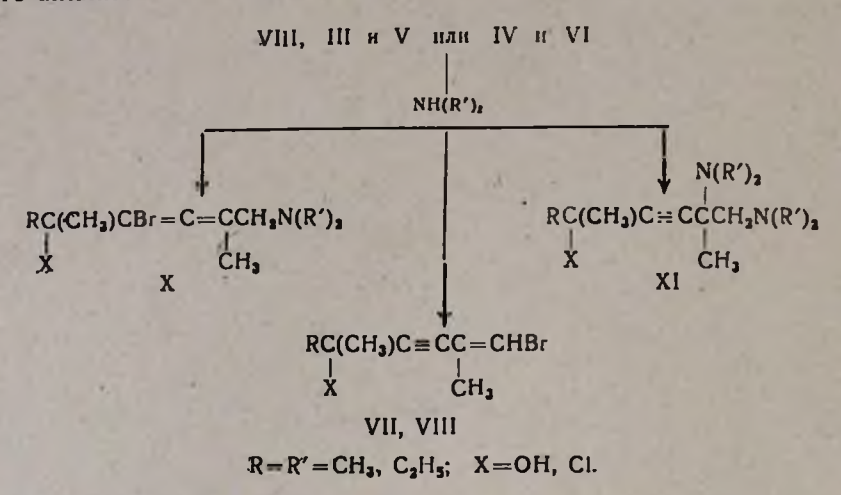
В продолжение этих работ представляло определенный интерес проследить в реакциях с амином поведение таких ениновых галогенидов, у которых одна из метильных групп при винильной группировке заменена на электроотрицательный галоген. В качестве объекта исследований были выбраны бромизопропенилацетиленовые хлориды VIII. Рассмотрение литературных данных [8, 9] показало, что одним из удобных путей синтеза соединений VIII является метод, основанный на взаимодей-

ствии изопропенилацетиленовых спиртов I и галогенидов II, в результате бромирования которых образуется смесь дибромацетиленов III, IV и дибромалленов V, VI приблизительно в соотношении (1,5—2):1, по данным ГЖХ. Для отнесения хроматографических пиков смесь продуктов III, V была изомеризована в присутствии галогенидов меди в алленовый дибромид V.

Далее оказалось, что в присутствии спиртовой щелочи дегидробромируются только ацетиленовые бромиды III и IV с образованием бромизопропенилацетиленовых соединений VII и VIII. Последние были синтезированы также конденсацией бромизопропенилацетилена IX [10] с ацетоном по реакции Фаворского с последующим замещением гидроксила на хлор.

Исследования показали, что изопропенилацетиленовые хлориды VIII не взаимодействуют с аминами ни при комнатной температуре, ни при нагревании до 50—60°. Реакция не протекает также при применении медных солей, которые являются хорошими катализаторами замещения галогена аминами в алленовых и пропаргильных галогенидах [11—13]. Дибромацетиленовые спирты III и хлориды IV при взаимодействии с аминами подвергаются дегидробромированию с образованием бромизопропенилацетиленовых спиртов VII и галогенидов VIII. В аналогичных ус-

ловиях дибромалленовые спирты V (X=OH) и хлориды VI (X=CI) с аминами образуют смесь алленовых аминов X и ацетиленовых диаминов XI ($R=R'=CH_3$, C_2H_5). Для отнесения хроматографических пиков (ГЖХ) мы исходили из сопоставления данных ИК спектров и элементного анализа.



Таким образом, появление электроотрицательного галогена у конечного углеродного атома винильной группировки в изопропенилпропаргильных хлоридах не приводит к существенному изменению реакционной способности пропаргильного галогена с аминами.

Экспериментальная часть

ИК спектры сняты на приборе «ИКС-14А» и «UR-10» в кювете толщиной 0,03 мм. Хроматографические исследования проведены на приборе «Хром-4» с катарометром, колонкой с хезосорбом Aw (0,250—0,360) с 15% апиезона L и 6,5% твина, скорость газа-носителя (гелия) 40— 60 мл/мин. Спектры ПМР написаны на спектрометре «Регкіп—ЕІтег R-12В» (60 мгц) с ГМФС в качестве внешнего эталона.

Бромирование диалкилизопропенилэтинилкарбинолов. а) К смеси 37,2 г (0,3 моля) диметилизопропенилэтинилкарбинола I ($R=CH_3$) и 100 мл сухого хлороформа при энергичном перемешивании в течение 45 мин. при— $25\div$ —30° по каплям прибавлялось 30 г (0,1875 моля) брома в 30 мл сухого хлороформа.

Перемешивание продолжалось еще 1 час. После отгонки хлороформа и непрореагировавшего исходного карбинола, остаток перегнан в вакууме. Получено 50 г (93,8%) смеси дибромидов, состоящей, по данным ГЖХ, из 71% 2,5-диметил-2-окси-5,6-дибром-3-гексина III ($R=CH_3$), 29% 2,5-диметил-2-окси-3,6-дибром-3,4-гексадиена V ($R=CH_3$); т. кип. смеси 95—100°/3 мм, n_D^{20} -1,5360. Найдено %: С 33,39; Н 4,31; Вг 56,00. $C_8H_{12}OBr_2$. Вычислено %: С 33,45; Н 4,23; Вг 56,33. ИК спектр, c_M -1; 2230 (C=C), 1970 (C=C=C), 3300—3500 (OH). 6) Аналогично из 41,4 г

(0,3 моля) метилэтилизопропенилэтинилкарбинола I ($R=C_2H_5$) в 130 мл хлороформа и 30 г (0,1875 моля) брома получено 36,4 г (84%) смеси дибромидов: состав по ГЖХ: 66% 3,6-диметил-3-окси-6,7-дибром-4-гептина III ($R=C_2H_5$), 34% 3,6-диметил-3-окси-4,7-дибром-4,5-гептадиена V ($R=C_2H_5$); т. кип. смеси 103—108°/1 мм, n_D^{20} 1,5390. Найдено %: C 36,12; Н 4,56; Вг 53,20. С9 H_{14} ОВг₂. Вычислено %: С 36,24; Н 4,70; Вг 53,68. ИК спектр, см⁻¹: 2220 (С=С), 1965 (С=С=С), 3350—3500 (ОН).

Бромирование диалкилизопропенилэтинилхлоридов. а) К смеси 46,6 г (0,327 моля) диметилизопропенилэтинилхлорметана II (R=CH₃) и 150 мл сухого хлороформа в аналогичных условиях прибавлялось 26,16 г (0,1635 моля) брома. После удаления хлороформа и непрореагировавшего исходного хлорида получено 41,25 г (83%) смеси ацетиленовых и алленовых дибромидов; состав по ГЖХ: 60% 2,5-диметил-2-хлор--5,6-дибром-3-гексина IV (R=CH₃), 40% 2,5-диметил-2-хлор-3,6-дибром-3,4-гексадиена VI ($R=CH_3$), т. кип. смесн $65-70^\circ/1$ мм, π_D^{20} 1,5318. Найдено %: С 31,21; Н 3,44; Вг 52,51. СвН₁₁СВг2. Вычислено %: С 31,07; Н 3,63; Вг 52,89. ИК спектр, см-1: 2240 (С=О), 1964 (С=С=С). б) Из метилэтилизопропенилэтинилхлорметана II (R= 42 г (0,2556 моля) C_2H_5), 100 мл сухого хлороформа и 24 г (0,15 моля) брома получено 38 г (80%) смеси дибромидов, состоящей, по ГЖХ, из 66% 3,6-диметил-3-хлор-6,7-дибром-4-гептина IV (R=C₂H₅), 34% 3,6-диметил-3-хлор-4,7дибром-4,5-гептадиена VI (R=C₂H₅); т. кнп. смеси 83-88°/1 мм, 1,5242. Найдено %: С 33,85; Н 4,07; Вг 50,35. С₉Н₁₃СlВг₂. Вычислено %: C 34,12; H 4,12; Br 50,55. ИК спектр, cm^{-1} : 2250 (C=C), 1970 (C= C=C).

Дегидробромирование смеси бромидов III, V и IV, VI. К смеси 50 мл абс. метилового спирта и 7,5 г едкого кали при энергичном перемешивании в течение получаса при комнатной температуре по каплям прибавлялось 0,1 моля смеси дибромидов III, V, а также IV, VI. Перемешивание продолжалось еще 2 часа. Затем после удаления метанола прибавлялось 50 мл воды и смесь экстрагировалась эфиром. Эфирный экстракт высушивался над хлористым кальцием. После отгонки эфира остаток перегонялся в вакууме. Выходы и некоторые физико-химические константы полученных соединений (чистые по ГЖХ) приведены в табл. 1. Высшая фракция представляет собой смесь исходных алленовых дибромидов с бромизопропенилацетиленовыми соединениями (по ГЖХ).

2,5-Диметил-2-окси-6-бром-4-гексен-3-ин. К эфирному раствору 3-метил-1-бромвинилэтинилмагнийбромида, полученного из 2,24 г (0,1 моля) магния, 10,9 г (0,1 моля) бромистого этила и 12 г (0,083 моля) 3-метил-бромвинилацетилена [10], при —10° добавлено 7,5 г (0,126 моля) ацетона. После перемешивания при комнатной температуре реакционная смесь оставлена на ночь, затем разложена насыщенным раствором хлористого аммония при—10°. Продукт экстрагирован эфиром, высушен над сульфатом магния и после отгонки эфира остаток перегнан в вакууме. Получено 7,8 г (46,5%) 2,5-диметил-2-окси-6-бром-5-гексен-3-ина VII

(R=CH₃) с т. кип. 74—76°/2 мм. n_D^{20} 1,5110, d_4^{20} 1,2935. Найдено %: С 47,15; Н 5,34; Вг 39,26. С₈Н₁₁ОВг. Вычислено %: С 47,29; Н 5,42; Вг 39,40. ИК спектр, см⁻¹: 2214 (С=С), 3072 (С=СНВг), 3300—3400 (ОН), 1600 (С=Ссопр.). Спектр ПМР, δ , м. д.: 1.3 с (СН₃) $_2$ С; 1.8—2,0 д (С=ССН $_3$ цис- и транс-), J=1,5 гц; 6.25 и 6.45 кв (С=СН цис- и транс-), J=1,5 гц.

Бромизопропенилацетиленовые соединения VII и VIII

Таблицо 1

3.6	Бромизопропенилацетиленовые соединения ут и ути														
Соедине	R	Выхон, 0/0*	Т. кнп., °С/мм	п ²⁹	d420	пайдено С,	BIAVIIC- 2/0	наплено Н.	вычис-	пайдено	вычис-				
VIII	CH ₃ CH ₃ C ₃ H ₅	69 65 71	7576/1 8789/11 7577/2	1,5130 1,5090 1,5075	1,2961 1,2642 1,2664	43,11	43,34	5,37 4,46 4,95	4,51	39,09 36,23 34,28	36,11				

[•] Рассчитан на смесь дибромидов III, V и IV, VI.

Таблица 2 Алленовые амины X, ацетиленовые диамины XI, бромизопропенилацетиленовые соединения VII и VIII

	-	X	ди-	голуч.	В	ых	о д,	°/o	Т. кнп., °С/мм	HHE A	ержа- минов си, ⁰ / ₀ ГЖХ)	ИКС смеси
R	R'	Α	Кол-во с неходи.	Кол-во п	**X	**IX	VII***	VIII***	(смесн аминов)	х	xı	аминов, с.к ⁻¹
СН3	СН	ОН	7,1	3,3	64	19	68	-	9395/3	78	22	1970, 2250 3350—3450
CH,	C ₂ H ₅	ОН	12,0	3,7	49	45	73	-	78—88/2	53	47	1971, 2240 3300—3350
CH,	C,H,	CI	15,0	4,5	52	25	-	61	83-87/2	68	32	1980, 2230
C,H,	CaHs	CI	9,5	1,5	30	18	-	92	95-100/2	63	37	1960, 2220

^{*} Состав см. в экспериментальной части.

2,5-Диметил-2-хлор-6-бром-5-гексен-3-ин. К смесн 13 г (0,064 моля) 2,5-диметил-2-окси-6-бром-5-гексен-3-ина VII (R=CH₃) и 1 г пиридина при комнатной температуре в течение часа по каплям прибавлялось 8 г (0,067 моля) хлористого тионила. Перемешивание продолжалось при комнатной температуре 3 часа и еще полчаса при 60—70°. Затем реакционная смесь была вылита на лед, экстрагирована эфиром, высушена

[•] Рассчитаны на содержание в смеси алленовых дибромидов.

Рассчитаны на содержание в смеси ацетиленовых дибромидов, физикохимические константы приведены в табл. 1.

над сернокислым магнием. После удаления эфира остаток перегнан в вакууме. Получено 7,5 г (53%) 2,5-диметил-2-хлор-6-бром-5-гексен-3-ина VIII ($R=CH_3$), т. кип. $86-88^\circ/12$ мм, n_D^{20} 1,5090, d_4^{-0} 1.2628. Найдено %: C 43,20; H 4.50; CI 16,03. $C_8H_{10}CIBr$. Вычислено %: C 43,34; H 4.51; CI 15,95. ИК спектр, cm^{-1} : 2230 (C=C), 3089 (C=CHBr); 1595 (C=C) сопряж.).

Изомеризация 2,5-диметил-2-окси-5,6-дибром-3-гексина в 2,5-диметил-2-окси-3,6-дибром-3,4-гексадиен. Смесь 28,4 г (0,1 моля) 2,5-диметил-2-окси-5,6-дибром-3-гексина III ($R=CH_3$) (71%)*, 2,5-диметил-2-окси-3,6-дибром-3,4-гексадиена V ($R=CH_3$) (29%)*, 0,1 г порошкообразной меди, 3 г монобромида меди, 3 г аммоний бромида, 1 мл бромистоводородной кислоты и 5 мл воды перемешивалась при комнатной температуре 3 часа. Затем смесь экстрагировалась эфиром и была высушена над сульфатом магния. После удаления эфира получено 24 г 2,5-диметил-2-окси-3,6-дибром-3,4-гексадиена V ($R=CH_3$) (чистота по ГЖХ 95%) с т. кип. 106—109/3 мм, n_D^{20} 1,5610, n_D^{20} 1,6219. Найдено %: С 29,86; Н 3.8; Вг 57,25. n_D^{20} Вычислено n_D^{20} 1,6219. Найдено %: С 29,86; Н 3.8; Вг 57,25. n_D^{20} 1,970 (n_D^{20} 1,5500 (OH). Спектр ПМР, n_D^{20} 1,38 с [n_D^{20} 1,92 с (n_D^{20} 1,95 с (n_D^{20} 1

Взаимодействие VIII, смеси III, V, и IV, VI с вторичными аминами, Смесь 0,02—0,03 моля непредельных галогенидов, 10 мл эфира и 0,08—0,15 моля дналкиламина в запаянной ампуле при комнатной температуре оставлена на 6 дней. После соответствующей обработки из аминной фракции выделена смесь ацетиленовых и алленовых аминов (табл. 2), а из нейтральной фракции—бромизопропенилпропаргильные соединения VII и VIII, физико-химические константы которых приведены в табл. 1.

ՉՀԱԳԵՑԱԾ ՄԻԱՑՈՒԹՅՈՒՆՆԵՐԻ ՌԵԱԿՑԻԱՆԵՐ

LII. ՎԱՆԻԼՊՐՈ**Վ**ԱՐԳԻԼԱՅԻՆ ՄԻԱՑՈՒԹՅՈՒՆՆԵՐԻ ՏԵՂԱԿԱԼՄԱՆ ՌԵԱԿՑԻԱՆԵՐԻ ՈՐՈՇ ԱՌԱՆՉՆԱՀԱՏԿՈՒԹՅՈՒՆՆԵՐԻ ՄԱՍԻՆ

Գ. Գ. ԽՈՒԴՈՑԱՆ, Մ. Գ. ՈՍԿԱՆՑԱՆ և Շ. Հ. ԲԱԴԱՆՅԱՆ

Ցույց է տրվել, որ իզոպրոպենիլպրոպարգիլային հալոգենիդներում վինիլ խմբի ծայրի ածխածնի ատոմի մոտ էլեկտրաբացասական հալոգենի առկայությունը չի թերում ամինների հետ պրոպարգիլային հալոգենի ռեակցիոնունակության փոփոխության։

[•] Соотношение по ГЖХ,

REACTIONS OF UNSATURATED COMPOUNDS

LII. ABOUT THE SPECIFICITIES OF SUBSTITUTION REACTIONS IN VINYLPROPARGYLIC COMPOUNDS

G. G. KHUDOYAN, M. G. VOSKANIAN and Sh. H. BADANIAN

It has been shown that no change in the reactivity of propargy! halides occured on reacting with amines when an electronegative halogen atom was present at the terminal carbon atom in the vinyl group.

ЛИТЕРАТУРА

- 1. С. А. Вартанян, Ш. О. Баданян, А. В. Мушегян, Изв. АН Арм. ССР, XH, 16, 547 (1963), 17, 505 (1964).
- 2. С. А. Вартанян, Ш. О. Баданян, А. В. Мушегян, Изв. АН Арм. ССР, XH, 19, 865 (1966).
- 3. С. А. Вартанян, М. Р. Бархударян, Ш. О. Баданян, Арм. хим. ж., 20, 819 (1967).
- 4. С. А. Вартанян, М. Р. Бархударян, Ш. О. Баданян, ЖОрХ, 3, 1967 (1967).
- 5. С. А. Вартанян, Ш. О. Баданян, Э. А. Арутюнян. Э. А. Абгарян, Арм. хим. ж., 22, 998 (1969).
- 6. Ш. О. Баданян, М. Г. Восканян, Г. Г. Худоян, Арм. хим. ж., 23, 804 (1970).
- 7. Ш. О. Баданян, С. А. Вартанян, М. Р. Бархударян, А. А. Геворкян, Арм. хим. ж., 24, 232 (1971).
- 8. А. А. Петров, Усп. хим., 39, 1049 (1960).
- 9. С. А. Вартанян, Усп. хим., 31, 1137 (1962).
- 10. А. А. Петров, Ю. И. Порфирьева, ДАН СССР, 89, 873 (1958).
- 11. Н. М. Морлян, А. Г. Мурадян, Л. О. Есаян, Ш. О. Баданян, ЖОрХ, 10, 1122 (1974); А. Г. Мурадян, Н. М. Морлян, С. М. Габриелян, Ш. О. Баданян, Арм. хим. ж., 28, 75 (1975); Н. М. Морлян, А. Г. Мурадян, Ш. О. Баданян, Арм. хим. ж., 28, 633 (1975).
- 12. G. F. Hennion, S. Hanzel, J. Am. Chem. Soc., 82, 4908 (1960).
- 13. М. Г. Восканян, Ж. А. Чобанян, А. А. Налбандян, Ш. О. Баданян, Арм. хнм. ж., 29, 156, 430 (1976); Ш. О. Баданян, Ж. А. Чобанян, Г. Г. Худоян, М. Г. Восканян, Арм. хнм. ж., 28, 467 (1975).

XXXI, № 11, 1978

УДК 547.435

НОВЫЙ СИНТЕЗ 3-МЕТИЛ-4N-ДИМЕТИЛ-И 3-МЕТИЛ-4N-ДИ-ЭТИЛАМИНО-2-БУТАНОЛОВ И ИХ РАЗДЕЛЕНИЕ НА ДИАСТЕРЕОИЗОМЕРЫ

Э. А. МАРКАРЯН. С. А. МИНАСЯН. В. М. НАЗАРЯН п С. В. ВОСКАНЯН

Институт тонкой органической химии им. А. Л. Миджояна АН Армянской ССР Ерепан

Поступило 9 XI 1977

Осуществлен синтез отдельных компонентов исходного аминоспирта некоторых физиологически активных веществ—3-метил-4N-диэтиламино-2-бутанола (II) и IN-диэтиламино-3-пентанола (III), а также диметильный аналог II (I). Препаративным хроматографированием I и II разделены на диастереоизомеры.

Библ. ссылок 6.

Ранее было показано, что 3-метил-4N-диэтиламино-2-бутанол, используемый для синтеза физиологически активных веществ [1], является смесью изомеров I и III [2].

HOCH—CHCH₂NR₂ HOCHCH₂CH₂N(C₂H₅)₂

$$CH_3$$
 CH₃ C_2H_5

I, II III

I. R=CH₂; II. R=C₂H₅.

мествлен синтез аминоспиртов I—III в

Нами осуществлен синтез аминоспиртов I—III в отдельности с последующим препаративным разделением диастереоизомеров I и II для изучения их конформации, что представляет большой интерес для изучения зависимости биологической активности от геометрии молекулы.

При хроматографировании смеси аминоспиртов II и III на тонком слое окиси алюминия II степени активности в системе A были выявлены три пятна с $R_{\rm f}$ 0,7; $R_{\rm f}$ 0,56 и $R_{\rm f}$ 0,36.

Синтезировав аминоспирт III восстановлением 1N-диэтиламино-3пентанона [5] амальгамой натрия, мы установили, что он идентичен компоненту с $R_f = 0,36$.

Другой компонент—3-метил-4N-диэтиламино-2-бутанол (II), являющийся исходным продуктом активного начала ганглерона [2], и его N-диметильный аналог нами получены восстановлением алюмогидридом лития (АГЛ) амидов метилацетоуксусной кислоты IV и V [6].

Метильный аналог I синтезирован специально для облегчения в дальнейшем дифференциации отдельных сигналов ПМР.

Осуществлено также ступенчатое гидрирование V: боргидридом натрия восстановлена кетонная группа с выделением амида оксимасляной кислоты (VI), который затем восстановлен АГЛ до аминоспирта II.

IV. $R=CH_3$; V. $R=C_2H_5$

Восстановление амидов АГЛ одинаково успешно протекает как в эфирном, так и в бензольном растворах. На ТСХ для I в системе А R_{t_1} 0,43; R_{t_2} 0,27, в системе Б R_{t_3} 0,32; R_{t_4} 0,21. Для II в системе А R_{t_4} 0,7; R_{t_4} 0,56, в системе Б R_{t_4} 0,47; R_{t_4} 0,33.

Препаративное разделение диастереоизомеров осуществлено на колонке с окисью алюминия с использованием тех же систем А и Б.

При разделении в системе A в ИК спектрах изомеров 16 (R, 0,27) и Пб (R, 0,56) обнаруживается поглощение карбонильной группы, что обусловлено образованием диацетонового спирта на колонке. Чистые диастереоизомеры удается получить элюированием системой Б.

В ИК спектре до разделения обнаружены поглощения гидроксильной группы с максимумами в областях 3250 и 3430 см⁻¹. ИК спектры разделенных диастереоизомеров, помимо идентичности поглощений в других областях, выявляют также существенные различия. В ИК спектре II6 преобладает поглощение с максимумом в области 3250, а у другого изомера IIа—в области 3430 см⁻¹.

В масс-спектрах IIа и IIб максимальными являются пики молекулярных ионов, что говорит о значительной устойчивости молекул под действием электронного удара. В то же время в интенсивностях пиков отдельных фрагментов наблюдаются различия, что согласуется с [4].

Экспериментальная часть

ИК спектры регистрированы на спектрофотометре UR-20 в вазелиновом масле. Масс-спектры сняты на приборе МХ-1303. Для хроматографии на колонке (30×1,5 см) и в тонком слое использовали окись алюминия II степени активности. Элюирование осуществляли в системах А (бензол—ацетон, 4:1) и Б (бензол—тетрагидрофуран, 4:1).

1 N-Диэтиламино-3-пентанол (III). К 15 г (0,095 моля) 1 N-диэтиламино-3-пентанона приливают 100 мл 50% уксусной кислоты и при: перемешивании добавляют 600 г 2% амальгамы натрия. По окончании: реакции содержимое колбы переносят в делительную воронку, насыщают раствор едким кали, экстрагируют нагревшуюся смесь бензолом. Бензольные вытяжки сушат над безводным сернокислым натрием, отгоняют растворитель, продукт перегоняют в вакууме. Получено 11,8 г (77,6%) III, т. кип. 137—9°/50—60 мм. п²⁶ 1,4370. ТСХ, система A, R, 0,36. Найдено %: С 67,70; Н 13,18; N 8,70. С₃Н₂1NO. Вычислено %: С 67,87: Н 13,29; N 8,79.

N-Диметиламид метилацетоуксусной кислоты (IV). В стеклянную трубку или металлический автоклав помещают смесь $20\ e$ ($0,139\$ моля) метилацетоуксусного эфира и $24,75\ e$ ($0,55\$ моля) сжиженного при -15° диметиламина. Трубку запанвают и нагревают на масляной бане в течение $8-10\$ час. при $150-160^\circ$. По охлаждении осадок отфильтровывают, промывают абс. эфиром и фильтрат перегоняют в вакууме. Получено $7,6\ e$ (38,3%) IV, т. кип. $82-84^\circ/1\$ мм, $n_D^{20}\$ 1,4712. TCX, система A, R_f 0,43. Найдено %: C 58,47; H 9,25; N 9,71. $C_7H_{13}NO_2$. Вычислено %: C 58,72; H 9,15: N 9,77.

N-Диэтиламид метилацетоуксусной кислоты (*V*). Аналогично нз 20 г (0,139 моля) метилацетоуксусного эфира и 40,6 г (0,55 моля) диэтиламина получено 19 г (80%) V, т. кип. 92—93°/1 мм, $\rm n_D^{20}$ 1,4552. TCX, система A, $\rm R_f$ 0,55. Найдено %: C 63,33; H 10,19; N 8,50. C₉H₁₇NO₂. Вычислено %: C 63,13; H 10,00, N 8,18.

N-Диэтиламид 2-метил-3-оксимасляной кислоты (VI). (VI). (VI) (VII) (VII)

3-Метил-4N-диметиламино-2-бутанол (1). К 4,0 г (0,105 мэля) АГЛ в 150 мл абс. эфира или абс. бензола при перемешивании медленно при-капывают раствор 4,3 г (0,03 моля) N-диметиламида метилацетоуксусной кислоты. Реакционную смесь нагревают на водяной бане в течение 6 час. Образовавшийся комплекс разлагают при 2—5° 40% раствором гидроокиси натрия, отфильтровывают, осадок промывают эфиром и фильтрат сушат над безводным сернокислым натрием. Получено 2,5 г (63,4%) І, т. кип. 78—80°/40 мм, пр 1,4365. ТСХ, система Б, R_{f_1} 0,35; R_{f_2} 0,20.

При препаративном разделении на колонке $(30 \times 1,5 \text{ см})$ в системе Б из 0,3 г I получено 0,1 г Ia $(R_1, 0,35)$ и 0,16 г Iб $(R_2, 0,20)$. Армянский химический журнал, ХХХІ, 11—4

3-Метил-4-N-диэтиламино-2-бутанол (II). а) Аналогично из 4,8 г (0,028 моля) N-диэтиламида метилацетоуксусной кислоты и 4,0 г (0,105 моля) АГЛ получено 3,8 г (85,2%) II. т. кип. 112—113°/40 мл. Π_D^{20} 1,4390, Π_D^{20} 0,8513. TCX, система A, R, 0,7; Π_D^{20} 0,56; система Б, R, 0,47; Π_D^{20} 0,33. Найдено %: C 68,10; H 13,32; N 8,91. Π_D^{20} 0,850. Вычислено %: C 67,87; H 13,29; N 8,79.

При препаративном разделении на колонке (30×1,5 см) в системе

Б из 0,3 г II получено 0,11 г IIa (R, 0,47) и 0,18 г II6 (R, 0,33).

6) Аналогичным способом из 10 г (0,058 моля) N-диэтиламида 2-метил-3-оксимасляной кислоты (VI) и 3 г (0,079 моля) АГЛ получено 5,5 г (60,3%) II. ТСХ, система A, $R_{\rm f_1}$ 0,7; $R_{\rm f_2}$ 0,56; система Б, $R_{\rm f_3}$ 0,47 $R_{\rm f_2}$ 0,33.

3_ՄԵԹԻԼ_4_N_ԴԻՄԵԹԻԼ_ ԵՎ 3_ՄԵԹԻԼ_4_N_'ԻԻԷԹԻԼԱՄԻՆՈ_2_ ՔՈՒՏԱՆՈԼՆԵՐԻ ՆՈՐ ՍԻՆԹԵԶԸ ԵՎ ՆՐԱՆՑ ՔԱԺԱՆՈՒՄԸ ԴԻԱՍՏԵՐԵՈՒԶՈՄԵՐՆԵՐԻ

Է. Ա. ՄԱՐԳԱՐՅԱՆ, Ս. Ա. ՄԻՆԱՍՑԱՆ, Վ. Մ. ՆԱԶԱՐՅԱՆ և Մ. Վ. ՈՍԿԱՆՑԱՆ

Մեթիլացետոքացախաթթվի ամիդների վերականգնումից ստացված են 3-մեթիլ-4-N-դիմեթիլ- և 3-մեթիլ-4-N-դիկթիլամինո-2-բուտանոլներ։ Ցույց է տրված, որ այս դեպքում ստացվում են մաքուր ամինոսպիրտներ։ Իրականացված է նաև նրանց բաժանումը դիաստերեռիզոմերների։

A NEW SYNTHESIS OF 3-METHYL-4-N-DIMETHYLAMINO-2-BUTANOL, 3-METHYL-4-N-DIETHYLAMINO-2-BUTANOL AND THEIR SEPARATION INTO DIASTEREOISOMERS

E. A. MARKARIAN, S. A. MINASSIAN, V. M. NAZARIAN and S. V. VOSKANIAN

The title compounds have been obtained by the reduction of methylacetoacetamides. It has been shown by chromatographical analysis that in this case pure aminoalcohols were obtained.

Further their separation into diastereoisomers has been realized.

ЛИТЕРАТУРА

- 1. Ганглерон и опыт его клинического применения, Изд. АН Арм. ССР, Ереван, 1959. 2. Э. А. Маркарян, М. Т. Григорян, Р. А. Алексанян, Э. М. Оганесян, Арм. хим. ж., 25, 268 (1972).
- 3. О. Л. Миджоян, Г. А. Геворкян, Арм. хим. ж., 22, 743 (1969).
- 4. Ц Е. Агадженян, Р. Т. Григорян, Е. Б. Григорян, Арм. хим. ж., 24, 213 (1971).

5. M. Akhtar, B. C. Weedon, J. Chem. Soc., 1959, 4058.

6. Э. А. Маркарян, М. Т. Григорян, В. М. Назарян, Авт. свид СССР № 522175, Бюля. изобр. № 27 (1976).

XXXI, № 11, 1978

УДК: 54.291+632.938

химия пестицидов

РЕАКЦИИ ГАЛОГЕННИТРИЛОВ С сими-ТРИАЗИНИЛДИТИОКАРБАЗИНАТАМИ.

В. В. ДОВЛАТЯН и Р. А. ГЕВОРКЯН

Армянский сельскохозяйственный институт, Ереван Поступило 5 X 1977

Описан синтез S-метил-N-симм-триазинилдитнокарбазинатов и изучено их взаимодействие с йодцианом и хлорацетонитрилом. Показано, что при этом образуются тиодиазолил- и тиадиазинил-симм-триазины.

Табл. 3, библ. ссылок 3.

Легкость, с которой ацетил-N-калийгидразино-симм-триазины под действием галогеннитрилов образуют оксадиазолил- или оксадиазинил-симм-триазины [1, 2], дала возможность изучить эту реакцию на примере S-метил-N-калий-симм-триазинилдитиокарбазинатов, полученных последующей схеме:

Учитывая, что замена атома хлора в симм-триазинах на метилтиогруппу зачастую приводит к усилению избирательности их гербицидного действия, представлялось интересным получить 2-метилтиопроизводные в качестве исходных дитиокарбазинатов.

Было установлено, что полученные таким образом S-метил-N-[2-хлор (метилтно) -4-алкил (диалкил) амино-симм-триазинил-6] дитиокарбазинаты в виде калиевых солей с йодцианом и хлорацетонитрилом образуют не ациклические S-циан- и S-цианметилпроизводные, соответственно, а продукты их внутримолекулярной циклизации.

Наличие экзоциклической импногруппы в синтезированных соединениях подтверждено, получением гидрохлоридов и превращением последних в воде в соответствующие оксопроизводные.

Экспериментальная часть

ИК спектры соединений сняты в вазелиновом масле на UR-10. ТСХ проводилась на окиси алюминия II степени активности: проявитель— 2% AgNO₃+0.4% бромфеноловый синий, просматривалась в УФ системе (ацетон-гексан, 4:1).

Метиловые эфиры β-[2-хлор-6-алкил (диалкил) ажино-симм-триазинил-4] дитиокарбазиновых кислот. А. К смеси 0,01 моля 2,4-дихлор-6-алкил (диалкил) амино-симм-триазина, 0,005 моля углекислого калия в 4 мл воды и 7 мл дноксана при 0° прикапывают 0,01 моля метилового эфира дитиокарбазиновой кислоты в 10—15 мл диоксана. Смесь перемешивают полчаса при 0°, 3 часа при комнатной температуре, затем оставляют на ночь. Приливают 100 мл воды, выделившийся осадок отсасывают и перекристаллизовывают из смеси спирт-вода (1:2).

Б. К 0,01 моля калиевых солей β-[2-хлор-4-алкил (дналкил) аминотриазинил-6] дитнокарбазиновых кислот [3] в 25 мл ацетона при 0° прикапывают 0,011 моля йодистого метила. Смесь перемешивают 1 час при комнатной температуре, затем при 30—40° до полного растворения осадка (3—5 часа). Приливают 25—30 мл воды. Выпавший осадок отсасывают и перекристаллизовывают из 50% этанола.

Метиловые эфиры-β-[2-метилтио-6-алкиламино-симм-триазинил-4]дитиокарбазиновой кислоты. А. К 0,01 моля 2-метилтио-4-хлор-6-алкиламино-симм-триазина в 10 мл диоксана прибавляют 0,005 моля углекислого калия в 4 мл воды. При перемешивании порциями прибавляют
0,01 моля метилового эфира дитиокарбазиновой кислоты. Смесь нагревают при 65—76° 5 час. После охлаждения приливают 20 мл воды и осадок отсасывают.

Б. 0,76 г (0,01 моля) тиомочевины растворяют в 10 мл абс. ацетона и добавляют 0,01 моля метилового эфира β-[2-хлор-6-алкил(диалкил)-амино-симм-триазинил-4]дитиокарбазиновой кислоты. Смесь нагревают на водяной бане 3 часа, перегоняют ацетон и добавляют 1,2 г (0,02 моля) 2% водного раствора едкого кали. При перемешивании нагревают на водяной бане 2 часа. Охлаждают до комнатной температуры и при-капывают 2,6 г (0,02 моля) диметилсульфата. Смесь кипятят 2 часа и по охлаждении приливают 50 мл воды. Образовавшиеся кристаллы отсасывают (табл. 1).

2-Хлор (метилтио) -4-алкил (диалкил) амино-6-[2'-имино-5'-метилтио- $\Delta^{4.5}$ -1',3'-тиадиазолил-3']-симм-триазин. В колбу с мешалкой, охлаждаемую смесью льда с водой, приливают 10—15 мл ацетона, 0,11 моля едкого кали и 0,01 моля метилового эфира β-[2-хлор (метилтно) -6-алкил-(диалкил) амино-симм-триазинил-4] дитиокарбазиновой кислоты. Смесь перемешивают 1 час, отгоняют ацетон, приливают 10—15 мл воды и при 0--5° добавляют 0,01 моля йодциана. Выделившийся осадок отсасывают, промывают водой. ИК спектр, см-1: 1670 (С=N экз.), 1580 (С=N сопр.), 1609 (С=N пят. цикла) (табл. 2).

Таблица Г

S-Метил-N-симм-триазинилдитиокарбазинат

		1 12	-	*		На	ійдено,	•/•	Выч	ислено	o, º/.
R	K'	х	Т. разл., °С	Выход,	R _f	N	CI	s	N	Cı	S
н	СН	CI	103—105	70	0,94	32,00	13,05	23,92	31,70	13,42	24, 10
CH ₂	CH ₃	CI	135—137	70	0,85	30,10	13,20	23,50	29,90	12,70	22,90
Н	C,H,	CI	120-122	86	0,97	30,00	13,00	23,45	29,90	12,70	22,90
C ₂ H ₅	C ₂ H ₅	CI	121-123	90	0,97	28,80	11,50	21,80	28,32	11,80	21,58
Н	изо-С,Н,	CI	133—134	69	0,47	27,40	11,32	21,87	27,60	12, 13	21,81
н	C ₂ H ₅	SCH ₃	78 -80	75	0,45	28,40	-	33,33	28,90	_	33, 10
Н	изо-С ₃ Н ₇	SCH ₃	101-102	60	0,52	28,00	_	32,00	27,60	-	31,60
CH ₃	CH ₃	SCH ₃	144-145	80	0,72	29,20	_	33,10	29,00	_	32,60
							1	1			

Таблица 2 2-Хлор(метилтно)-4-алкил(дналкил)амино-6-{2'-имино-5'-метилтно-

 $-\Delta^{4,5}$ -1',3',4'-тиадиазолил-3']-симм-триазин

R	R'	x	Т. разл.,	л, °/о	 	Ha	йдено,	°/o	Выч	ислен	· º/•
	, ,	^	Т. разл., гож д		Rf	N	Cı	S	N	CI	S
Н	СН	CI	195—196	83	0,87	34,00	11,70	21,00	33,80	12,20	22,10
CH ₃	CH ₃	CI	85—87	80	0,92	32,00	12,00	19,80	32,30	12,09	21,08
Н	C ₂ H ₅	CI	149—151	70	0,76	32,50	12,12	21.50	32,30	12,09	21,08
C ₂ H ₅	C ₂ H ₅	Cı	175—176	70	0,90	30,00	10,90	18,64	29,30	10,60	19,10
Н	<i>изо</i> -С ₃ Н,	CI	166—168	70	0,71	31,00	11,70	19,80	30,80	11,10	20.10
Н	C ₂ H ₅	SCH ₃	128—130	65	0,95	31,50	-	31,00	31,10		30,50

Таблица 3 2-Хлор(метилтно)-4-алкил(диалкил)амино-6-[2'-имино-6'-метилтно- $\Delta^{5,6}$ -1'.4'.5'-тиадиазинил-4']-сими-триазин

R	R'	x	л, %	Т. разл.,	D	На	ійдено,	°/ ₀	Выч	ислен), */o
	ı î	^	Выход,	°C		N	C1	S	N	CI	S
Н	СНа	CI	70	168—170	0,95	32,40	12,00	22,22	32,29	11,70	21,80
CH _a	CH ₃	CI	72	157—158			11,33				
Н	C ₂ H ₅	CI	70	123125			11,03		31,10		20,20
C ₂ H ₅	C ₂ H ₅	CI	80	114-116	0,85	30,30	10,95	18,80	30,10	10,24	18,50
Н	изо-С ₃ Н ₂	CI	75	99—101	0,95	29,00	10,94	18,03	29,50	10,70	19.10
Н	C ₂ H ₅	SCH ₃	85	69—70	0,90	30,00	1	29,00	29,80		29,50
Н	изо-C ₃ H ₇	SCH ₃	80	88—90	0,92	28,85	_	28,35	28.50	_	28,18

2-Хлор(метилтио)-4-алкил(диалкил)амино-6-[2'-имино-6'-метилтио- Δ^{5A} -1',4',5'-тиадиазинил-4']-симм-триазин. Получают аналогично предыдущему, только взамен йодциана добавляют 0,01 моля хлорацетонитрила. Осадок отфильтровывают. ИК спектр, c-u-1: 1670 (C=N экз.), 1580 (C=N conp.), 1609 (C=N шест. цикл) (табл. 3).

Гидрохлориды тиадиазолил- и тиадиазинил-симм-триазинов. 0,01 моля вышеуказанных тнадиазолов и тиадиазинов растворяют в 20 мл ацетона и добавляют эфирный раствор хлористого водорода, затем отфильтровывают выпавшие кристаллы. Промывают абс. эфиром.

Гидролиз гидрохлоридов тиадиазолил- и тиадиазинил-симм-триазинов. 0,001 моля гидрохлорида 2-хлор-4-изопропиламино-6-[2'-имино-5'-метилтио- $\Delta^{4.5}$ - 1',3',4'-тиадиазолил-3']-симм-триазина растворяют в 6 мл воды и оставляют при комнатной температуре 5—6 час. Выпавший осадок отфильтровывают и промывают водой. Получают 2-хлор-4-изопропиламино-6-[2'-оксо-5'-метилтио- $\Delta^{4.5}$ - 1',3',4'-тиадиазолил-3']-симм-триазин с т. разл. 270—272°. Найдено %: N 25,8; Cl 16,85. $C_{10}H_{11}S_2N_6ClO$. Вычислено %: N 25,4; Cl 17,3. ИК спектр, cm^{-1} : 1620 (C=O).

2-Хлор-4-диметиламино-6[2'-оксо-6'-метилтио- $\Delta^{5,6}$ - 1',4',5'-тиадиазинил-4']-симм-триазин получен аналогично. Т. разл. 290—292°. Найдено %: N 27,00; CI 10,75. C₉H₁₁N₆Cl₂O. Вычислено %: N 26,3; CI 11,1.

ՊԵՍՏԻՑԻԴՆԵՐԻ ՍԻՆԹԵՉ

ՀԱԼՈԳԵՆՆԻՏՐԻԼՆԵՐԻ ՌԵԱԿՑԻԱՆ ՍԻՄ-ՑՐԻԱԶԻՆԻԼԴԻՑԻՈԿԱՐԲԱԶԻՆԱՑՆԵՐԻ ՀԵՏ

d. d. Andlupsub & n. u. Abdarasub

Նկարագրված է Տ-մեթիլ⊣N-սիմ-տրիազինիլդիտիոկարբազինատների սինթեզը և ուսումնասիրված է նրանց փոխազդեցությունը յոդցիանի և քլորացետոնիտրիլի Հետ։

Ցույց է տրված, որ առաջանում են տիադիազոլիլ-և տիադիազինիլ-սիմ⊸ արիագիններ։

SYNTHESIS OF PESTICIDES

REACTIONS OF HALONITRILES WITH ESTERS OF s-TRIAZINYL-DITHIOCARBAZIC ACID

V. V. DOVLATIAN and R. A. GUEVORKIAN

Synthesis of the S-methyl ester of N-s-triazinyldithlocarbazic acid and its interaction with iodine cyanide and chloracetonitrile has been described. It has been shown that thiodiazolyl and thiodiazinyl-s-triazines are formed.

ЛИТЕРАТУРА

- 1. В. В. Довлатян, Р. А. Геворкян, Авт. свид. 521276, Бюлл: нзобр. № 26, 1976 г.
- 2. В. В. Довлатян, Р. А. Геворкян, Авт. свид. 526143, Бюлл. изобр. № 16, 1977 г.
- 3. В. В. Довлатян, Н. Х. Хачатрян, Арм. хим. ж., 24, 174 (1971).

XXXI. № 11. 1978

УДК 547.759.3

производные индола

LXI. 3-АЛКИЛ-III-МЕТОКСИ-I2c-МЕТИЛ-I,2,3,4,6,7,8,12c-ОКТАГИДРОИНДОЛО (3,2-а) ХИНОЛИЗИНЫ

Р. К. ШАХАТУНИ, Ф. Р. ШИРОЯН и Д. З. ПАРТЕВ

Ипститут тонкой органической химии им. А. Л. Миджояна АН Армянской ССР, Ереван

Поступило 17 I 1978

С целью изучения биологических свойств синтезирован ряд тетрациклических оснований октагидропидоло (3,2-а) хинолизинового строения. Табл. 3. библ. ссылок 6.

В литературе имеются данные относительно биологических свойств различных производных тетрагидро-у-карболинов [1, 2]. в то время как их тетрациклические аналоги—октагидроиндоло(3,2-а) хинолизины, мало известны, а их биологические свойства почти не изучены.

Это обстоятельство побудило нас синтезировать замещенные в положении 3 12с-метил-11-метокси-1,2,3,4,6,7,8,12с-октагидроиндоло(3,2а)хинолизины общей формулы I.

Исходными веществами служили 5-метоксиизотриптамин [3] и 2-оксо-3-алкил-6-метил-2,3-дигидропираны [4,5].

Изотриптамиды (II), а также лактамы (III) получались по известной прописи [6]. Последние восстанавливались в конечные основания алюмогидридом лития в тетратидрофуране.

Строение изотриптамидов, лактамов и оснований подтверждалось аналитическими и спектральными данными.

Изучено влияние гидрохлоридов полученных оснований на температуру и поведение бслых мышей и крыс. Препараты вызывают пони-

жение температуры, угнетение двигательной активности, а также слабый экзофтальм, повышение тактильной чувствительности и возбуждение.

Экспериментальная часть

ИК спектры спимались на спектрографе «UR-10», ПМР спектры—на радноспектрометре «Т-60» (рабочая частота 60 мгц, б—шкала), ТСХ проводилась на Al₂O₃ II степени активности.

5-Метоксиизотриптамиды α -алкил- γ -ацетилмасляных кислот (II). Раствор 3.5 г (0.018 моля) 5-метоксиизотриптамина, 0.018 моля эноллактона в 100 мл сухого бензола кипятился в течение часа. После удаления около половины бензола выделялось маслообразное вещество, которое кристаллизовывалось растиранием в эфире. Из бензольного раствора путем разбавления 5-кратным количеством петролейного эфира выделялась другая часть продукта конденсации, которая также кристаллизовывалась растиранием в эфире. Цветная реакция Эрлиха положительная. ИК спектр, ν , c_M -1: 1705 (C=O кетон), 11655 (C=O амиди.), 1030 (CH₃O), 3280 (NH); ПМР спектр (CDCl₃, TMC), δ , м. д.: 3,8 (3H, CH₃O), 8,1 (1H, NH), 2 (3H, CH₃CO), 6,2 (β -протон индольного ядра). Выходы и константы изотриптамидов (11) приведены в табл. 1.

Таблица I*
5-Метоксиизотриптамиды α-алкил-γ-ацетилмасляных кислот (II)

	100		Hai	ідено.	°/•	Выч	исленс	, °/.	R	4
R =	Выхол,	Т. _{пл.} , °С	С	Н	N	С	Н	N	хлороформ+ +ацетон+ +спирт, 10:1:0,25	бензол+ +спирт 10:1
14	72	140—142	68,08	6,91	8,96	67,55	7,28	9,24	0,32	0,57
CH ₃	77	112—114	68,37	7,04	8,78	68,35	7,59	8,86	0,37	0,58
C ₂ H ₅	49	124127	69,17	7,55	8,31	69,09	7,88	8,48	0,40	0,57
C ₃ H ₇	46	104106	69,86	8,09	7,97	69,77	8,14	8,14	0,47	0,56
C ₄ H _e	53	80—83	70,12	8,70	7,65	70,39	8,38	7,82	0,52.	0,61
					- 0		0			

3-Алкил-11-метокси-12с-метил-4-оксо-1,2,3,4,6,7,8,12с-октагидроиндо-ло(3,2-а)хинолизины (III). Раствор 0,015 моля изотриптамида (II) в 220 мл метанола, содержащего 4 мл конц. соляной кислоты, кипятился 4 часа, после чего отгонялось больше половины растворителя и остаток сливался в ледяную воду. Выпавшие кристаллы отфильтровывались, промывались водой и высушивались. Цветная реакция Эрлиха отрицательная. В ПМР спектре отсутствует сигнал β-водородного атома индольного ядра. ИК спектр, v, см-1: 1620 (С=О амидн.), 1030 (СН₃О), 3290 (NH). ПМР спектр (СDCI₃, ТМС), δ, м. д.: 1,8(3H, CH₃C), 3,9(3H, CH₃O), 8 (1H, NH). Выходы и константы лактамов III сведены в табл. 2.

Таблица 2 3-Алкил-11-метокси 12с-метил-1,2,3,4,6,7,8,12с-октагидроиндоло(3,2-а)хинолизины (III)

- '	*		Hai	лено.	1/0	Вычн	слено	0/0	R			
R=	Выход,	Т. пл., °С	С	Н	N	С	Н	N	хлороформ+ + апетон+ +спирт, 10:1:0,25	бензол+ +спирт. 10:1		
Н	63	187	71,83	7.04	9,86	71,73	6,66	10,03	0,45	0.61		
CH ₃	90	208-210	72,30	7,62	9.77	72,48	7,38	9,39	0,39	0,61		
C ₂ H ₅	31	198-200	73,40	7,56	8,74	73,08	7,69	8,97	0,44	0,60		
C ₃ H ₇	81	142-145	73,98	8,02	8,24	73,62	7,98	8,59	0,50	0,62		
C4H,	94	161-162	73,95	8,12	8,30	74,12	8,24	8,24	0,59	0,64		

3-Алкил-11-метокси-12с-метил-1,2,3,4,6,7,3,12с-октагидроиндоло-(3,2-а)хинолизины (1). К раствору 2,1 г (0,056 моля) алюмогидрида лития в 80 мл сухого эфира прибавлялось 0,009 моля тетрациклического лактама (III) в 100 мл сухого тетрагидрофурана. Смесь кипятилась 16-20 час., затем разлагалась прибавлением 10% раствора едкого натра. Эфирно-тетрагидрофурановый раствор высушивался над едким кали, затем большая часть растворителей отгонялась и с помощью эфирного раствора хлористого водорода осаждался гидрохлорид основания. Свободное основание получалось обработкой водного раствора гидрохлорида щелочью и очищалось пропусканием его эфирного раствора через колонку с окисью алюминия. При ТСХ для всех соединений за исключением основания с R=Н обнаружены два пятна разной интенсивности со значением R., отличными от R. исходного лактама, что свидетельствует о наличии диастереомерных рацематов. ИК спектр, у, см-1: 1030 (СН,О), 3400 (NH); ПМР спектр (СДСІ3, ІМС), д. м. д.: 3,8 (3H, CH3O), 7,8 (1H, NH), 1,4 (3H, CH₃C). Выходы и константы оснований и их гидрохлоридов сведены в табл. 3.

ԴԵՐԱՆՑՅԱԼՆԵՐ

LXI. $S-U_{4}+U_{-1}1-U_{5}+O_{4}U_{5}-12_{c}-U_{5}+U_{-1},2,3,4,8,7,8,12_{c} 0_{4}SU_{2}+0_{5}U_{5}+U_{5}+U_{5}U_{5}+$

Հ. Կ. ՇԱՀԽԱԲՈՒՆԻ, Ֆ. Ռ. ՇԻՐՈՅԱՆ և Դ. Ձ. ՊԱՐԹԵՎ

Կենսաբանական հատկություններն ուսումնասիրելու նպատակով սինթեղված են մի շարք օկտահիդրոինդոլո(3,2—a)քինոլիզիններ, որոնք տեղակալված են 3 դիրքում և արոմատիկ օղակում պարունակում են մեխօքսի խումը։

Таблица 3

3-Алкил-11-метокси-12с-метил-1,2,3,4,6,7.8,12с-октагидроиндодо(3.2-а) минолизины (I)

			Ha	йдено, ^о	10	Выч	ислено,	0/8	Гид	рохлорид		R	
! <=	Выход, 0/6	Т, пл., °C	С	Н	N	С	Н	N	т. пл., °С	С1,	BEHUIC-	хлороформ — + ацетон + спирт, 10 : 1 : 0,25	бензол- - - - спирт 10 г 1
H -	74	223 - 224	75,02	7,69	10,90	75,56	8,15	10,37	255—260	11,15	11,58	0,16	0,35
CHa	71	143-145	76,20	8,05	9,67	76,06	8,45	9,86	194196	11,28	11,07	0,14/0,25	0,31/0,39
C ₂ H ₅	75	116118	76,09	8,32	9,61	76,51	8,72	9,40	200-203	10,30	10,61	0.1/0,22	0,37/0,5
3H7	77	83-85	76,50	9,01	8,67	76,92	8,97	8,97	195 197	10,56	10,19	0,18/0,31	0,45/0,5
H,	56	7074	77,19	9,35	8,20	77,30	9,20	8,59	185 - 187	10,01	9,79	0,27/0,4	0,53/0,5

INDOLE DERIVATIVES

LXI. 3-ALKYL-11-METHOXY-12c-METHYL-1,2,3,4,6.7,8,12c-OCTAHYDRO-!NDOLO(3,2-a)QU!NOLIZINES

H. K. SHAHATUNY, F. R. SHIROYAN and D. Z. PARTEV

The title compounds have been synthesized with the purpose of studying their biological properties.

ЛИТЕРАТУРА

- 1. Д. А. Харкевич, Фарм. н токс., 20, 6 (1957).
- 2. Д. А. Харкевич, Клин. мед., 35, 45 (1957).
- 3. Bhai, Siddappa, J. Chem. Soc. (c), 1971, 178.
- 4. А. Л. Миджоян, Г. Т. Татевосян, С. Н. Экмеджян, Изв. АН Арм. ССР, 12, 291 (1957).
- 5. Ф. Р. Широян, Л. В. Хажакян, А. Р. Мкртчян, А. Г. Терзян, Г. Т. Татевосян, Арм. хим. ж., 20, 64 (1967)
- 6. E. Winterfeldt, Chem. Ber., 97, 2463 (1964).

XXXI. № 11, 1978

УДК 542.91+547.435

АМИНОКИСЛОТЫ И ПЕПТИДЫ

XIV. СИНТЕЗ И ПРОТИВООПУХОЛЕВАЯ АКТИВНОСТЬ ТРИПЕПТИДОВ И ИХ АНАЛОГОВ, СОДЕРЖАЩИХ ДВЕ МОЛЕКУЛЫ САРКОЛИЗИНА

Ц. Е. АГАДЖАНЯН, А. Д. АРУТЮНЯН, Р. А. МОВСЕСЯН, А. А. ЧАЧОЯН п Р. Е. МУРАДЯН

> Ниститут тонкой органической химии им. А. Л. Миджояна АН Армянской ССР, Ереван Поступило 18 IV 1978

Синтезированы трипептиды, содержащие на N- и С-концах остатки сарколизниа с различными расстояниями между ними, а также их аналоги, в которых изменено направление одной из амидных связей. Приводятся результаты изучения их противоопухолевой активности.

Табл. 2, библ. ссылок 3.

В продолжение исследований [1, 2] по установлению связи между строением и противоопухолевой активностью в ряду олигопептидов, содержащих бис (β-хлорэтил) аминогруппу, в настоящем сообщении нами приводится синтез трипептидов, содержащих на N- и С-концах остатки сарколизина на различном расстоянии друг от друга. Синтез осуществлен по схеме

$$C_{e}H_{3}CH_{2}OCONH(CH_{3})_{n}COOH + NH_{2}CHCOOC_{2}H_{3} \longrightarrow CH_{2}-N(CH_{2}CH_{3}CI)_{3}$$

$$\longrightarrow C_{e}H_{3}CH_{2}OCONH(CH_{3})_{n}COHNCHCOOC_{2}H_{3} \longrightarrow N(CH_{2}CH_{2}CI)_{2}$$

$$\longrightarrow HBr \cdot NH_{2}(CH_{3})_{n}CONHCHCOOC_{2}H_{3}$$

$$CH_{3}-N(CH_{2}CH_{2}CI)_{3}$$

$$CH_{3}-N(CH_{2}CH_{2}CI)_{3}$$

$$CH_{2}-N(CH_{3}CH_{3}CI)_{2}$$

$$\longrightarrow CH_{3}CONHCHCOOH + II \longrightarrow CHCOOC_{2}H_{3}$$

$$CH_{2}-N(CH_{3}CH_{2}CI)_{2}CH_{2}-N(CH_{3}CH_{3}CI)_{2}$$

$$CH_{2}-N(CH_{3}CH_{2}CI)_{2}CH_{2}-N(CH_{3}CH_{3}CI)_{2}$$

Синтезированы также некоторые аналоги вышеуказанных трипептидов конденсацией алкилендиамина с двумя молями ацетилсарколизина

т. е. аналоги, в которых изменено направление одной из амидных связей.

Конденсацию во всех случаях проводили методом смешанных ангидридов с помощью метилового эфира хлоругольной кислоты. Карбобензоксигруппу удаляли действием насыщенного раствора сухого НВг в ледяной уксусной кислоте. Чистоту синтезированных веществ проверяли тонкослойной хроматографией. ИК спектры подтверждают их строение.

Противоопухолевую активность трипептидов, их аналогов (табл. 2) и сарколизина (взятого нами в качестве контроля) определяли на саркоме 45, карциносаркоме Уокера 256 крыс и саркоме 180 мышей по методике [3]. Для получения сравнимых результатов испытуемые вещества изучали в одинаковых режимах, т. е. крыс лечили с использованием дозы 2,5, а мышей—1,5 мг/кг. Трипептиды (III) на всех трех штаммах оказались неактивными. Из производных алкилендиамина (II) аналог с n=2 на саркомах 45 и 180 проявил умеренную активность, а с n=3—неактивен. Последний на карциносаркоме Уокера 256 проявил высшую, чем аналог с n=2, но равную с сарколизином противоопухолевую активность (96% торможения роста опухоли).

Экспериментальная часть

ТСХ проверяли на окиси алюминия в системе бензол—спирт, 15:1 (A) или *н*-пропанол—вода, 7:3 (Б), на силуфоле в системе n-пропанол—вода, 7:3 (В). Проявление—парами йода.

Гидробромид этиловсго эфира N-аминоацилсарколизина (II). К раствору 0,01 моля карбобензоксиаминокислоты в 20 мл ДМФА прибавляют эквимольное количество триэтиламина в 5 мл ДМФА, охлаждают до—2° и при перемешивании прибавляют раствор эквимольного количества метилового эфира хлоругольной кислоты в 5 мл ДМФА. После получасового перемешивания при той же температуре прибавляют раствор смеси эквимольных количеств гидрохлорида этилового эфира сарколизина и триэтиламина в 25 мл ДМФА. Перемешивают 2 часа при—2° и оставляют при комнатной температуре до утра, фильтруют, растворитель упаривают в вакууме. Остаток растворяют в хлороформе, хлороформный раствор промывают водой, 10% раствором соды, водой и сушат над сульфатом натрия. После отгонки растворителя остаток сушат в вакууме над пятнокисью фосфора. Получают I в виде хроматографически чистых, некристаллизующихся густых масел (приведены п, выфически чистых)

код, $R_{\rm f}(A)$ —2. 53, 0.61; 3.70, 0.82; 5.54, 0.54). К I прибавляют насыщенный раствор НВг в ледяной уксусной кислоте (10 мл на 1 г вещества) и оставляют при комнатной температуре 1 час. К полученному раствору приливают 200 мл абс. эфира, через 3 часа фильтруют выпавший осадок, промывают его несколько раз абс. эфиром и сушат в вакууме над КОН (табл. 1).

Таблица / Гидробромиды этпловых эфпров N-аминоацилсарколнзина (II)

п	Выход,	т. _{пл.,} °С	R _f (5)	Найдено Вг , %	Вычислено Вг ⁻ , °/ _a
2	73	120—121	0,36	17,01	16,49
3	70	124-125	0.31	16,60	16,03
5	6 5	130-131	0,30	15,39	15,18

Этиловый эфир N-ацетилсарколизиламиноацилсарколизина (111). К раствору 0,01 моля N-ацетилсарколизина в 20 мл ДМФА прибавляют эквимольное количество триэтиламина в 5 мл ДМФА, охлаждают до 0° и при перемешивании добавляют эквимольное количество метилового эфира хлоругольной кислоты в 5 мл ДМФА. Продолжая охлаждение и перемешивание через полчаса прибавляют эквимольные количества П и триэтиламина в 25 мл ДМФА и оставляют до следующего дня при комнатной температуре. После фильтрования растворитель удаляют в вакууме, остаток растворяют в хлороформе. Хлороформный раствор промывают водой, 10% раствором соды, водой и сущат над сульфатом натрия. После удаления хлороформа остаток сущат в вакууме над пятиокисью фосфора, перекристаллизовывают из этанола (табл. 2). ИК спектр, у. см-1: 3440, 3350 (NH амидн.), 1730 (СО сл. эф.), 1660 (Со амидн.), 1610 (С=С аром.), 1525 (Н-амидн.).

Трипептиды и их аналоги

Таблица 2

ııııe-	п	η, 0/υ	Т. пл.,	D		Напа	но, %,	100	В	ычисл	ено, %	
Соедине-	400	Выход,	*C	Rf	С	Н	N	CI	С	Н	N	CI
ш	2	80	50-52	0,71 (A)	54,47	6,00	9,57	19,38	54,62	6,14	9,56	19.37
1.5	3	75	85—87	0,68 (A)	54,50	6,02	9,41	18,66	54,61		11	19.00
	5	60	90 -91	0,64 (A)	54,95	7,06	9,43	18.10	55,74	6,58	9,20	13,64
IV	2	80	70-71	0,92 (B)	53,79	6,21	12,10	19.71	53,48	6,13	11,69	19,77
	3	50	105-106	0,90 (B)	54.73	6,88	11,20	18,73	54,09	6,27	11,34	19,39

Алкилендиамид N-ацетилсарколизина (IV). К охлажденному до—2° раствору смесн 0,01 моля N-ацетилсарколизина и 0,01 моля триэтилами-

на в 30 мл хлороформа при перемешивании прибавляют 0,01 моля метилового эфира хлоругольной кислоты в 5 мл ДМФА. Через полчаса добавляют 0,005 моля диамина и 0,01 моля триэтиламина в 20 мл хлороформа. Продолжают перемешивание при той же температуре еще 2 часа и оставляют при комнатной температуре до утра. После фильтрования большую часть растворителя упаривают в вакууме, остаток выливают в воду. Выпавший осадок фильтруют, промывают водой, 10% раствором соды, водой, сушат над пятиокисью фосфора, перекристаллизовывают из этанола (табл. 2). ИК спектр, v, см⁻¹: 3400 (NH амидн.), 1660 (СО амидн.), 1610 (С=С аром.), 1520 (Н амидн).

ԱՄԻՆԱԹԹՈՒՆԵՐ ԵՎ ՊԵՊՏԻԴՆԵՐ

XIV. 2 ՄՈԼԵԿՈՒԼ ՍԱՐԿՈԼԵԶԻՆ ՊԱՐՈՒՆԱԿՈՂ ՊԵՊՏԻԴՆԵՐԻ ԵՎ ՆՐԱՆՑ ԱՆԱԼՈԳՆԵՐԻ ՍԻՆԹԵԶԸ ԵՎ ՀԱԿԱՈՒՌՈՒՑՔԱՑԻՆ ԱԿՏԻՎՈՒԹՑՈՒՆԸ

8. Ե. ԱՂԱՋԱՆՅԱՆ, Ա. Դ. ՀԱՐՈՒԹՅՈՒՆՑԱՆ, Ռ. Ա. ՄՈՎՍԵՍՑԱՆ, Ա. Ա. ՉԱՉՈՏԱՆ և Ռ. Ե. ՄՈՒՐԱԴՑԱՆ

Հակաուռուցքային ակտիվության ուսումնասիրության նպատակով սինթեղված են արիպեպտիդներ, որոնք N-և C-ծայրերում պարունակում են սարկոլիդինի մնացորդներ տարբեր հեռավորությամբ, ինչպես նաև անոլոգ միացություններ՝ ստացված դիամինների և 2 մոլեկուլ ացետիլսարկոլիզինի փոխազդեցությամբ։

AMINO ACIDS AND PEPTIDES

XIV. SYNTHESIS AND ANTITUMOUR ACTIVITY OF TRIPEPTIDES AND THEIR ANALOGUES HAVING TWO SARCOLYSINE MOLECULES

Ts. Ye. AGHAJANIAN, A. D. HAROUTYUNIAN, R. A. MOVSESSIAN, A. A. CHACHOYAN and R. Ye. MURADIAN

A number of tripeptides, bearing sarcolysine residues at their N- and C-terminals at various distances between them, have been synthesized.

Similary, analogous compounds were prepared by the interaction of diamines and two molecules of acetylsarcolysine.

The antitumour activity of the synthesized compounds has been investigated.

ЛИТЕРАТУРА

- 1. Ц. Е. Агаджанян, А. Д. Арутюнян, Б. Т. Гарибджанян, А. А. Чачоян, Арм. хим. ж., 29, 879 (1976).
- Ц. Е. Агаджанян, А. Д. Арутюнян, Б. Т. Гарибджанян, А. А. Чачоян, Арм. хим. ж., 30, 776 (1977).
- 3. В. А. Чернов, Методы экспериментальной химнотерапии, М., 1971, стр. 357.

Армянский химический журнал, XXXI, 11-5

2 U 8 4 U 4 U V 8 Р Г Р U 4 U V U U U 4 Р Г АРМЯНСКИЯ ХИМИЧЕСКИЯ ЖУРНАЛ

XXXI, № 11, 1978

КРАТКИЕ СООБЩЕНИЯ

УДК. 547.37+547.594

ЦИКЛОАЛКИЛИРОВАНИЕ МАЛОНОВОГО И АЦЕТОУКСУСНОГО ЭФИРОВ И АЦЕТИЛАЦЕТОНА С ОКИСЬЮ МЕЗИТИЛА В ПРИСУТСТВИИ УГЛЕКИСЛОГО КАЛИЯ

Н. М. МОРЛЯН, Д. С. ХАЧАТРЯН и Ш. О. БАДАНЯН Институт органической химии АН Армянской ССР, Ереван Ереванский завод химических реактивов

Поступило 6 V 1978

Реакции нуклеофильного присоединения к активированным кратным связям, приводящие к образованию новой углерод-углеродной связи, имеют весьма важное препаративное значение [1—6]. Среди огромного разнообразия продуктов, получаемых по этим реакциям, определенный интерес представляют циклические кетоны—димедон, изофорон и ацетилциклогексенон, широко используемые не только в лабораторных синтезах, но и при построении молекул физиологически активных соединений, в том числе стероидов [7, 8]. Однако имеющиеся в литературе сведения показывают, что известные методы синтеза указанных соединений не обеспечивают удовлетворительных выходов [9—14]. Несомненно, любые попытки найти доступные методы их синтеза представляют определенный интерес. В связи с этим нами исследована реакция циклоконденсации окиси мезитила с некоторыми С-Н кислотами.

Оказалось, что для нуклеофильного присоединения к активированным кратным связям псевдокислот, содержащих подвижный метиленовый компонент ($P^{K_u} < 20$), необязательно применение сильных оснований [1,3], а достаточно внесения в реакционную смесь каталитического количества углекислого калия. Так, окись мезитила в указанных условиях гладко реагирует как с ацетоуксусным, так и с малоновым эфирами с образованием промежуточных 1,5-дикарбонильных соединений, подвергающихся в момент образования внутримолекулярной сложноэфирной конденсации в изофорон IV и димедон VI, соответственно. При этом не только повышаются выходы дикетонов и сильно сокращается продолжительность реакции, но и предотвращаются побочные процессы. Интересно, что при желании можно выделить и эфиры циклических кетокислот II, III и V.

В аналогичных условиях к окиси мезитила присоединяется и ацетилацетон, получаемый же при этом трикетон VII посредством внутримолекулярной альдольной конденсации превращается в 6-ацетил-3,5,5-триметил-2-циклогексенон VIII.

Строение синтезированных соединений подтверждено сравнением с известными образцами, а также с помощью ИК и ПМР спектров.

Экспериментальная часть

ИК спектры записаны на приборе UR-20, спектры ПМР—на приборе «Perkin-Elmer» с рабочей частотой 60 мгц, без растворителя, внутренний эталон—ТМС, температура 34°. Во всех опытах применялись свежеперегнанные исходные соединения и безводный углекислый калий. Индивидуальность продуктов контролировалась ГЖХ на приборе «Хром-3» с катарометром. подвижная фаза—хроматон с 5% SE-30 (длина колонки 2 м), газ-носитель—гелий (10 л/час), температура колонки 140—180°

Изофорон. Смесь 67,5 г (0,5 моля) ацетоуксусного эфира и 50 г (0,5 моля) окиси мезитила в присутствии 6 г углекислого калия кипятилась на масляной бане 3 часа. Затем добавлялось 100 мл воды, смесь кипятилась еще час и перегонкой (при 85—87°) удалялся тройной азеотроп—вода, окись мезитила и ацетоуксусный эфир. К оставшейся в колбе массе добавлялось 150 мл воды, верхний маслянистый слой отделялся, высушивался над сульфатом магния и перегонялся в вакууме. Получено 45 г (65,0%) изофорона IV, т. кип. 68—70°/3 мл, п²⁰ 1,4780, d²⁰ 0,9290 [9].

Карбэтоксиизофорон. Смесь 67,5 г (0,5 моля) ацетоуксусного эфира и 50 г (0,5 моля) окиси мезитила в присутствии 6 г углекислого калия кипятилась на масляной бане 3 часа. Затем обрабатывалась 5% раствором соляной кислоты, экстрагировалась эфиром и высушивалась над сульфатом магния. Получено 21 г (30,5%) изофорона, т. кип. 68—70°/3 мм, n_D^{20} 1,4780, и 38 г (36%) смеси 3,5,5-триметил-6- и -4-карбэтокси-2-циклогексенонов II, III (1:2 по ГЖХ), т. перегонки 128—130°/5 мм, n_D^{20} 1,4775, d_A^{20} 1,0161. По лит. данным, т. перегонки смеси 77—78°/0,2 мм,

d20 1,47711 [15].

Димедон. Смесь 80 г (0,5 моля) диэтилового эфира малоновой кислоты и 51 г (0,52 моля) окиси мезитила в присутствии 18 г углекислого калия нагревалась при 125—130° 5 час. К реакционной смеси добавлялось 63 г едкого кали в 300 мл воды и 300 мл этилового спирта. Смесь кипятилась еще 4 часа. Реакционная масса в горячем виде нейтрализовалась разбавленной (1:2) соляной кислотой. После отгонки спирта остаток кипятился в присутствии 10 г активированного угля и образовавшиеся кристаллы отделялись фильтрованием. Получено 55,3 г (79%) димедона, т. пл. 148—149° [11—13].

4-Карбэтоксидимедон. Смесь 80 г (0,5 моля) диэтилового эфира малоновой кислоты и 51 г (0,52 моля) окиси мезитила в присутствии 18 г углекислого калия нагревалась 5 час. при 125—130°. После отделения углекислого калия и отгонки исходных веществ оставшееся красное густое масло кристаллизовалось осаждением из бензольного раствора петролейным эфиром. Получено 100 г (94,4%) 4-карбэтоксидимедона с т. пл. 74,5—76° [10—13].

6-Ацетил-3,5,5-триметил-2-циклогексенон. Смесь 50 г (0,5 моля) ацетилацетона и 50 г (0,5 моля) окиси мезитила в присутствии 6 г углекислого калия нагревалась при 130—135° 6 час. После обработки 5% раствором соляной кислоты до кислой реакции смесь экстрагировалась эфиром, высушивалась над сернокислым магнием и после отгонки эфира перегонялась в вакууме. Получено 36 г (40%) 6-ацетил-3,5,5-триметил-2-циклогексенона, т. кип. 88—89°/2 мм, n_D^{20} 1,4950, d_D^{20} 1,0057 [14]. ИК спектр, c_M^{-1} : 1717 (карбонильн. группа в ацетиле). 1670 (карбонильн. группа в цикле), 1640 (кратная связь в цикле). ПМР спектр, δ , м. д.: 0,90 с (3H, CH₃—C, a), 1,0 с (3H, CH₃—C, b), 1,80 с (3H, CH₃—C, c), 2,0 с (3H, CH₃CO-, d), 2,15 с (2H, -CH₂-, e), 3,34 (1H, COCHCO, f), 5,7) с (1H, =CH, g).

ЛИТЕРАТУРА

- 1. E. A. Bergmann, D. Ginsburg, R. Papo, J. Org. Reaction, 10, 179 (1959).
- 2. A. T. Nielsen, W. J. Houlthan, Org. Reaction, 16, 329 (1968).
- 3. J. W. Ralls, Chem. Rev., 50, 329 (1959).
- 4. R. Hause, Modern Synthetic Reactions, W. A. Benjamin, I, N.-Y., 1965.
- 5. С. Патой, Ц. Раппопорт, Химия алкенов, Изд. «Химия», 1960, стр. 260.
- 6. А. Н. Несменнов, М. И. Рыбинская, Л. В. Рыбин, Усп. хим., 37, 1089 (1967).
- 7. А. С. Онищенко, Диеновый синтез, Изд. АН СССР, М., 1969.
- 8. Н. Н. Мельников, Химия и технология пестицидов, Изд. «Химия», М., 1974.
- 9. E. Knovenagel, G. Fisher, Ann., 297, 185 (1897).
- 10. D. Vorlander, Ann., 294, 253 (1897).
- 11. D. Vorlander, Ber., 32, 245 (1899).
- 12. H. Stobbe, Ber., 34, 1955 (1901).
- 13. W. Steiner, Helv. Chem. Acta, 35, 1752 (1952).
- 14. J. Schreber, F. Meiser, Ber., 48, 261 (1915).
- 15. J. D. Surmatis, A. Walser, J. Glbas, R. Thomen, J. Org. Chem., 35, 1053 (1970).

XXXI, № 11. 1978

УДК 547.551.1+547.31

АЛКИЛИРОВАНИЕ АРОМАТИЧЕСКИХ АМИНОВ НЕПРЕДЕЛЬНЫМИ СОЕДИНЕНИЯМИ

А. Ц. МАЛХАСЯН, Ж. Л. ДЖАНДЖУЛЯН и Г. Т. МАРТИРОСЯН Ереванский государственный медицинский институт Поступило 20 IV 1978

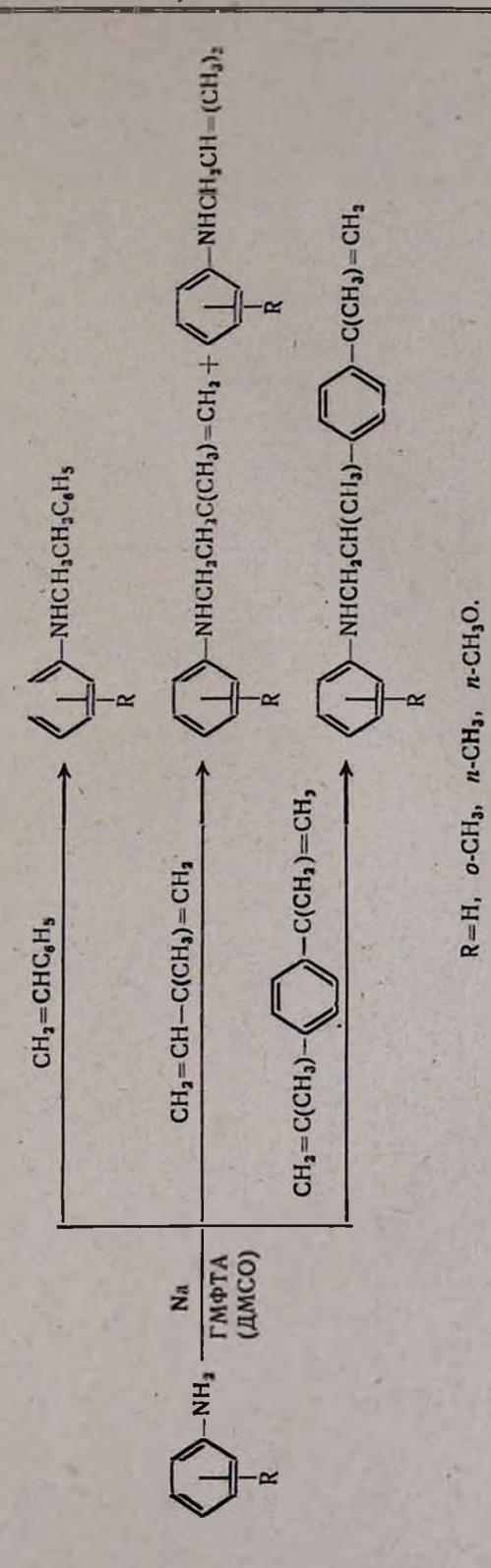
Катализируемое натрием N-алкилирование первичных и вторичных алифатических аминов стиролом, бутадиеном и их производными протекает гладко [1—3]. Аналогичная реакция в случае алифатоароматических вторичных аминов не происходит даже в жестких условиях. В случае же ароматических первичных аминов N-алкилирование стиролом удается осуществить лишь при 120—140°, причем выходы арил (β-фенилэтил) аминов низкие [4]. Учитывая влияние апротонных диполярных растворителей на алкилирование сильных СН- и NH-кислот [5,6], можно было ожидать, что применение этих растворителей позволит осуществить алкилирование ароматических аминов в более мягких условиях и, что очень важно, получить продукты алкилирования с высокими выходами.

С этой целью нами изучено катализируемое натрием алкилирование анилина, *п*-анизидина, *о*- и *п*-толуидина эквимольным количеством стирола в гексаметилфосфортриамиде (ГМФТА) и диметилсульфоксиде (ДМСО). Как видно из данных таблицы, действительно, при этом выходы продуктов алкилирования значительно повышаются, причем ГМФТА оказывает большее влияние на реакцию, чем ДМСО. Так, при проведении реакции без растворителя (при 130°) выход алкилированного продукта составляет 28, а в ДМСО и ГМФТА (при 85°)—57 и 92%, соответственно. Более того, применение ГМФТА позволило на примере *п*анизидина впервые осуществить алкилирование ароматических аминов менее электрофильным агентом—изопреном. Данные ИК спектроскопин

продукта реакции (v, см-1: 880, 1647 (-C=CH₂) и 1670 (-CH=C)

указывают на то, что в процессе имеют место как 1,4-, так и 1,2-присоединения. Интересно отметить, что попытки осуществить дальнейшее алкилирование полученных вторичных аминов стиролом не увенчались успехом.

Применение в этой реакции каталитических количеств макроциклического полиэфира—дибензо (18) крауна-6, обладающего способностью образовывать устойчивые комплексы с катионами щелочных металлов [7], позволило увеличить выход алкилированных продуктов на 12%.



Амины	Непре- дельное соеди- нение	Раство- ритель	Темпе- ратура взаимо- действия, °С	Время взанмодей- ствня, час	Выход, •/•	Т. кнп., °С/мм	п <mark>20</mark>	d ₄ ²⁰	MR _D		Найдено, %			Вычислено, %		
									найдено	вычис-	С	Н	N	С	н	N
Апилии	Стирол	_ ДМСО ГМФТА	130 85 85	3 2 2	28 ^a) 57 ⁶) 92 ⁶)											-
п-Толундин	Стирол	— ГМФТА	115—130 85	5 2	37 ^{a)} 88 ⁶⁾					177				275	430	
о-Толундин	Стирол	- АТФМП	125—140 85	6 2	39ª) 89 ⁶)		TE	5			- 74					1
N-β-фенил- этиланилин	Стирол	гмфта	85	5	-			-	7		3	7				1
<i>п</i> -Анизидин	Изопрен	ДМСО ГМФТА ГМФТА	35	5	21 34 46*)	114—115/2	1,5499	1,0173	59,79	59,16	75,29	8,81	7,51	75,18	8,90	7,34
Анилин	<i>п-</i> ДИБ	— ГМФТА ГМФТА ГМФТА ДМСО	85 85 85 120 85 85	5 3 5 3 3	- 38 44 39 13 ^{r)}	162—163/1	1,6011	1,0366	82,95	82,89	85,95	8,30	5,74	86,05	8,37	5,5
<i>п</i> -Анизидин	п-ДПБ	ГМФТА ДМСО	85	5	49 29	186187/14)	-	3	-	-	81,91	8,30	4,89	81,14	8,19	4,9
<i>п</i> -Анизи дни	м-ДИБ	ГМФТА	85	5	39	183—184/1 ^{A)}	-	-	-		80,91	8,24	4,99	81,14	8,19	4,9

а) Данные р аботы [4]. 6) Продукт реакции идентифицировали с помощью ГЖХ с заведомым образцом, полученным по [1]. в) Опыт с поли эфиром дибензо-(18)-краун-6. г) Опыт с трет-бутилатом калия. д) Вязкое вещество.

Изучено также взаимодействие анилина и *п*-анизидина с м- и *п*диизопропенилбензолами (ДИБ). Показано, что при этом образуются
продукты моноалкилирования, причем применение менее основного катализатора—трет-бутилата калия, снижает выход продукта реакции.

Из данных таблицы следует, что м- ДИБ уступает по электрофильности своему п-изомеру [8].

Экспериментальная часть

Смесь 0.1 моля амина, 0.1 моля непредельного соединения, 0.1 г натрия или 0.2 г трет-бутилата калия, 0.1 г неозона «Д» в 10 мл растворителя перемешивали 2—5 час. при 35—120° (табл.). Перегонкой в вакууме выделены продукты реакции.

Индивидуальность полученных продуктов доказана при помощи ГЖХ, которую проводили на хроматографе ЛХМ-8МД (газ-носитель— гелий, скорость 40—50 мл/мин, неподвижная фаза ПДЭГС 10% на хроматоне Н. размер колонки 2000×3 мм, температура 180—280°). ИК спектросмопию проводили на приборе ИКС-22.

Дибензо-[18]-краун-6 получили по [9].

ЛИТЕРАТУРА

- 1. Г. Т. Мартиросян, Э. А. Григорян, А. Т. Бабаян, Арм. хим. ж., 18, 161 (1965).
- 2. Г. Т. Мартиросян, А. Ц. Казарян, Э. А. Григорян, А. Т. Бабаян, ЖОрХ, в, 446 (1970).
- 3. Г. Т. Мартиросян, Э. А. Григорян, А. Т. Бабаян, Арм. хим. ж., 20, 420 (1967).
- 4. Г. Т. Мартиросян, Э. А. Григорян, Е. А. Сарумян, Арм. хим. ж., 27, 229 (1974).
- 5. А. Ц. Малхасян, Ж. Л. Джанджулян, Ш. А. Маркарян, А. П. Енгоян, Г. Т. Мартиросян. Арм. хим. ж., 30, 680 (1977).
- 6. А. Ц. Малхасян, Г. Г. Сукиасян, С. Г. Матинян, Г. Т. Мартиросян, Ары. хим. ж., 29, 458 (1976).
- 7. А. Л. Курц, С. М. Сакембаева, И. П. Белецкая, О. А. Реутов, ДАН СССР, 210, 144 (1973).
- 8. Л. В. Асратян, Э. А. Григорян, А. Ц. Малхасян, Г. Т. Мартиросян, Арм. хим. ж., 26, 551 (1975).
- 9. C. J. Pedersen, J. Am. Chem. Soc., 89, 7017 (1957).

XXXI, № 11, 1978

ПИСЬМА В РЕДАКЦИЮ

УДК 547.38+547.594

ЦИКЛОАЛКИЛИРОВАНИЕ «.β-НЕПРЕДЕЛЬНЫХ β'-АЛКОКСИ-ЭТИЛКЕТОНОВ С АЦЕТОУКСУСНЫМ ЭФИРОМ

Известно, что дивинилкетоны в присутствии оснований конденсируются с соединениями, содержащими подвижный водород, по терминальной винильной группе с образованием производных алкенкарбоновых кислот [1]. Аналогичным образом алкилируются и α,β-непредельные β'-алкоксикетоны: реакция опять-таки протекает по потенциальной винильной группе [2].

Нами обнаружено, что β,β-диметилвинил-β'-метоксиэтилкетон (I) в присутствии углекислого калия циклоалкилируется ацетоуксусным эфиром с образованием производного циклогексенона (V). Строение полученного продукта доказано ПМР и ИК спектрами, а также превращением его в 5,5-диметил-3-винил-2-циклогексенон (VI) путем нагревания в присутствии каталитического количества *п*-толуолсульфокислоты и сравнением последнего (по ГЖХ) с известным образцом [3].

$$\begin{array}{c} CH_{3} \\ CH_{3$$

5,5-Диметил-3-(2'-метоксиэтил)-2-циклогексен-1-он (V). Смесь 35,5 г (0,25 моля) І [4], 32,5 г (0,25 моля) ацетоуксусного эфира и 2 г сухого углекислого калия нагревалась при 130° в течение 3 час. Затем смесь обработана 5% раствором соляной кислоты, экстрагирована эфиром, высушена над сернокислым магнием. Получено 15 г (33%) V, т. кип. 102°/3 мм, d₄²⁰ 0,9724, n₂²⁰ 0,4890. MR_D 54,01, выч. 52,51. ИК спектр, v, см-1: 1670 (С=О), 1630 (-CH=C), 1120 (С—О—СН₃). ПМР спектр, д, м. д.: 1,00 с [6H, (CH₃)₂C, g], 2,10 с (2H, CH₂, e), 2,23 с (2H, CH₂, f), 2,40 т (2H, CH₂, c), 3,25 с (3H, OCH₃, a), 3,50 т (2H, CH₂, b), 5,75 с (1H, =CH, d). Найдено %: С 72,92; Н 10,01. С₁₁Н₁₈О₂. Вычислено %: С 72,53; Н 9,90.

5,5-Диметил-3-винил-2-циклогексен-1-он (VI). 10 г V нагревалось в присутствии 0,01 г n-толуолсульфокислоты при 100° в течение часа под уменьшенным давлением (40—50 мм рт. ст.). Получено 5 г (60%) VI, т. кип. $81-82^\circ/3$ мм, d_4^{20} 0,98(0, n_D^{20} 1,5230, MR_D 46,75, выч. 45,58. ИК спектр, ν , c_M^{-1} : 1680 (C=O), 3100, 1595, 990, 910 (-C=CH₂), 1630 (-CH=C в цикле). ПМР спектр, $\hat{\epsilon}$, м. д.: 1,06 с [6H, (CH₃)₃C, g], 2,16 с (2H, CH₂, e), 2,31 с (2H, CH₂, f), 5,39 д (1H, =CH₂, a), 5,79 (1H, =CH₃, b), 5,83 с (1H, =CH, d), 6,50 кв (1H, =CH, c). Найдено % С 79,78; Н 9,88. $C_{10}H_{14}O$. Вычислено % С 80,00; Н 9,33. По лит. данным, т. кип. $83^\circ/4$ мм, n_D^{20} 1,5220 [3].

ИК спектры сняты на спектрофотометре UR-20, спектры ПМР (в CDCl₃)—на спектрометре «Perkin-Elmer», внутренний эталон ТМС. Индивидуальность продуктов контролировалась ГЖХ на приборе «Цвет-104» с катарометром, подвижная фаза—хроматон с 15% апнезона (длина колонки 2 м). Расход газа-носителя (гелий) 10 л/час, температура колонки 140—170°.

Аналогичным образом с ацетоуксусным эфиром реагируют и другие α,β-непредельные кетоны.

ЛИТЕРАТУРА

1. И. Н. Назаров, Л. Н. Терехова, Изв. АН СССР, ОХН, 1946, 201.

2. С. А. Вартанян, Ш. Л. Шахбатян, Изв. АН АрмССР, ОХН, 14, 43 (1961).

H. J. Loth, E. Langer, Archiv. Pharm., 301, 707 (1968).

4. *И. Н. Назаров, В. М. Романов,* Изв. АН СССР, ОХН, 1940, 453.

Н. М. МОРЛЯН, Д. С. ХАЧАТРЯН, Ш. О. БАДАНЯН

Поступило 18 X 1978

XXXI, № 11, 1978

УДК 247.333'4+247.388+547.772

ОБРАЗОВАНИЕ ПРОИЗВОДНЫХ ПИРАЗОЛИНА ПРИ ВЗАИМОДЕЙСТВИИ ГИДРАЗИНА С СОЛЯМИ ТРИАЛКИЛПРОПАРГИЛ- И 3-ВИНИЛПРОПАРГИЛ-АММОНИЯ

В работе Опитца [1] отмечается легкость отщепления пропаргильной группы при взаимодействии бромпропаргилата изобутенилпиперидина с 2,4-динитрофенилгидразином. Однако в статье ничего не сказано о судьбе отщепившейся группы. На основании наших исследований по взаимодействию солей триалкил (3-винилпропаргил) аммония с аминами [2], приводящему к образованию продукта присоединения, можно было предположить, что первоначально образовавшийся продукт присоединения 2,4-динитрофенилгидразина к пропаргильной группе подвергается дальнейшим превращениям, приводящим к отщеплению третичного амина с образованием пиразолина согласно схеме

$$R_3$$
NCH₃C=CH + H₃NNHR \longrightarrow R_3 NCH₃NH \longrightarrow R_3 N + CH₃N + CH₃N

В случае аналогичной реакции гидразина с триалкил (3-винилпропар-гил) аммонием следовало ожидать образования винилпиразолина

$$R_{3}NCH_{3}C \equiv CCH = CH_{2} + H_{2}NN + H \longrightarrow R_{3}NCH_{3}CH = C = CHCH_{2} - NHN + H \longrightarrow R_{3}N + CH_{2} = CHC - CH_{3}$$

$$N = CH_{2}$$

$$N = CH_{2}$$

Экспериментальная проверка оправдала наши ожидания*. Реакция солей триалкил (3-винилпропаргил) аммония с гидразингидратом происходит очень бурно с саморазогреванием и приводит к отщеплению третичного амина (50—60%) и образованию винилпиразолина (20—25%). Менее энергично происходит реакция в случае триалкилпропаргиламмониевых солей. Выходы триалкиламина опять высокие (60—65%), а основного продукта—пиразолина, очень низки. Изучение этих реакций продолжается. Состав и строение продуктов реакции доказаны данными

Эта реакция нами осуществлена еще в 1972 г. (годовой отчет ниститута за 1972 г.).

элементного анализа, ИКС, а также соответствием их физико-химических характеристик с литературными.

ЛИТЕРАТУРА

1. G. Opitz. Ann., 650, 122 (1961). 2. А. Т. Бабаян, С. Т. Кочирян, О. А. Ахинян, ЖОрХ, 9, 678 (1973).

> А. Т. БАБАЯН, С. Т. КОЧАРЯН, С. М. ОГАНДЖАНЯН

Институт органической химин АН Армянской ССР, Ереван

Поступило 17 Х. 1978

XXXI, № 11, 1978

УДК 547.32+547.31

АМБИФУНКЦИОНАЛЬНЫЕ АЛЛИЛПРОПАРГИЛЬНЫЕ ГАЛОГЕНИДЫ В РЕАКЦИИ С АМИНАМИ

Нами обнаружено, что направление реакции аллилпропаргильных галогенидов I с вторичными аминами кардинально зависит от реагента. Так, если конкуренция между альтернативными реакционными центрами различной природы (SP³-гибридизованный углерод, связанный с галогеном, и аллильный водород) при атаке диметиламина решается в пользу нуклеофильного замещения с образованием аминов алленового строения [1], то диэтиламин и пиперидин избирательно ориентируются на аллильный водород, приводя к продукту 1,4-дегидрогалогенирования—винилбутатриену III.

Строение III доказано данными УФ, ИК, ПМР спектров и изомеризацией в диенин IV. Последний синтезирован также непосредственно из диметилаллилпропаргилкарбинилхлорида I дегидрогалогенированием при помощи едкого кали. Чистота синтезированных соединений определена по ГЖХ. Прибор ЛХМ-8МД, I модели, колонка 2м×3мм, насадка 5% SE-30 на хроматоне N-AW (0,20—0,25). Газ-носитель—гелий (60 мл/мин).

6-Метил-1,3,4,5-гептатетраен. 9,05 г (0,05 моля) бромида I перемешивали с 12.7 г (0,15 моля) пиперидина и смесь выдерживали при 0—5° 2 дня, после чего образовавшуюся кристаллическую массу тщательно промыли эфиром. Эфирный экстракт промыли разбавленной соляной кислотой, водой, высушили над хлористым кальцием и перегнали. Получено 3,44 г (87,0%) III, т. кип. 39—40°/12 мм, про 1,5485. ИК

спектр, $c.м^{-1}$: 1655, 2060, 2860, 2920, 2940, 2995 $\bigcirc \overline{C} = C = C = CH$ [2-4], 910, 960, 990, 1600, 3020, 3100 (CH=CH₂). Спектр ПМР, δ , м. д.: 1,91 м (6H), 5-6,5 м (4H). Прибор "Perkin-Elmer R-12B", 60 Mzu, внешний эталон ТМС.

В аналогичных условиях из I (X=Cl) получен III с выходом 51,10%.

6-Метил-1,5-гептадиен-3-ин. а) 1,59 г (0.015 моля) II прилили к 0,3 г трет-бутилата калия в 10 мл диметилсульфоксида, после чего смесь стояла при комнатной температуре в течение 24 час. Получили 0.8 г (50,31%) IV, т. кип. $34-35^{\circ}/13$ мм, n_D° 1,5175, d_4° 0,8063. Найдено 0/0: С 89,75; Н 9,60. С₈Н₁₀. Вычислено 0/0: С 90,56; Н 9,43. ИК спектр, cm^{-1} : 2190 (С \equiv С), 915, 960, 980, 1610, 1645, 3010, 3040, 3100 (С \equiv СН, СН \equiv СН \equiv СН \equiv УФ спектр, ℓ мм: 205 (г 7600), 268 (г 7000). ПМР спектр, ℓ , м. д.: 1,7 м (3H), 1,8 (3H), 5,1—6,1 м (4H).

б) 5 г (0,035 моля) хлорида, 1,7 г едкого кали и 20 мл ДМФА нагревали 10 час. при 60—65°. После обычной обработки выделено 2,0 г

(53.76%) диена IV, т. кип. 36—37°/13 мм, п20 1,5175.

ЛИТЕРАТУРА

1. Ф. С. Киноян, С. А. Вартанян, С. К. Пиренян, Арм. хим. ж., 24, 871 (1971).

2. W. M. Schubert, T. H. Liddicoet, W. N. Lanke, J. Am. Chem. Soc., 74, 569 (1952); 76. 1929 (1954).

3. P. P. Montijn, R. Brandsma, J. F. Arens, Rec. trav. chim., 86, 129 (1967).

4. В. Т. Алексанян, А. В. Мушегян, Ш. О. Баданян, Изв. АН Арм. ССР, 19, 650 (1966).

. О. БАДАНЯН, Ф. С. КИНОЯН, Г. Р. МХИТАРЯН, А. П. ХРИМЯН

Институт органической химин АН Армянской ССР, Ереван

Поступило 26 X 1978

<u> 2 Ц 3 Ч Ц Ч Ц Б Г Р Р Р Ц Ч Ц Б Ц Г Г Ц Ч Р Р</u> АРМЯНСКИЯ ХИМИЧЕСКИЯ ЖУРНАЛ

XXXI, № 11, 1978

ХРОНИКА

АРЦРУН АБРАМОВИЧ АБРАМЯН

Скоропостижно скончался видный специалист в области аналитической химии, член КПСС с 1945 г., заведующий лабораторией органического анализа ИОХ АН Арм. ССР, доктор химических наук, профессор Арцрун Абрамович Абрамян.



А. А. Абрамян родился в 1909 г. в Турции в селе Арджеш в семье рабочего. Окончив в 1927 г. Ереванскую среднюю школу им. Х. Абовяна, он поступил на химико-технологический факультет Ереванского политехнического института, по окончании которого получил специальность инженера-технолога. Трудовую деятельность начал на Ереванском заводе «Хромпик».

В 1943 г. А А. Абрамян защитил кандидатскую диссертацию, а в 1971—докторскую. В 1974 г. ему было присуждено звание профессора. Более 30 лет А. А. Абрамян занимался научно-педагогической деятельностью в сельскохозяйственном, политехническом и медицинском институтах, а также в Ереванском государственном университете. В 1941—1958 гг. он руководил кафедрой общей химии в Ереванском сельско-хозяйственном институте. С 1958 г. до конца своей жизни работал в Институте органической химии АН Арм. ССР заведующим лабораторией

органического анализа. Здесь А. А. Абрамяном была проведена большая плодотворная научно-исследовательская работа. Им впервые было предложено использование в органическом микро- и полумикроанализе эффективного окислителя—перманганата калия и продуктов его термического распада, и разработаны методики отдельного и совместного определения углерода, водорода, азота, галогенов, серы и других элементов в органических соединениях. Весьма важным в области органического анализа явилась разработка новой методики определения галогенов с использованием в качестве поглотителя галогенов и их соединений—сурьмы и висмута. Интересна и оригинальна методика определения углерода и водорода с мгновенным сожжением навески вещества в атмосфере кислорода. Многие из разработанных методик нашли применение в аналитических лабораториях Еревана и других городов Советского Союза, а также за рубежом.

А. А. Абрамян является автором свыше 80 научных статей. Им написано несколько монографиий. Особое внимание заслуживает монография «Совместное количественное микроопределение элементов в органических соединениях». А. А. Абрамян поддерживал тесные научные связи с учеными как Советского Союза, так и зарубежных стран.

Большой вклад внес А. А. Абрамян в дело подготовки научных кадров. Под его руководством защищены 4 кандидатские диссертации и 2 подтотовлены к защите. За плодотворную научно-педаготическую работу он был награжден медалями и орденами СССР.

У А. А. Абрамяна был большой навык общественной работы. Он был бессменным председателем месткома Института органической химин АН Арм. ССР, одновременно выполняя обязанности заместителя председателя объединенного комитета профсоюза АН Арм. ССР.

А. А. Абрамян воплощал образ ученого, успешно сочетающего плодотворную научно-педагогическую работу с активной общественной деятельностью. Память об А. А. Абрамяне как видном ученом-педагоге, чутком руководителе, душевном товарище навсегда останется в наших сердцах.